

UNIVERSIDADE FEDERAL DE SANTA CATARINA  
PROGRAMA DE PÓS-GRADUAÇÃO EM ENGENHARIA ELÉTRICA

MOTOR MONOFÁSICO DE INDUÇÃO A CAPACITOR,  
SOB FREQUÊNCIA VARIÁVEL

TESE SUBMETIDA À UNIVERSIDADE FEDERAL DE SANTA CATARINA PARA  
OBTENÇÃO DO GRAU DE MESTRE EM ENGENHARIA

ANTONIO DE PADUA FINAZZI

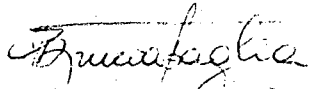
FLORIANÓPOLIS, NOVEMBRO 1983

MOTOR MONOFÁSICO DE INDUÇÃO A CAPACITOR,  
SOB FREQUÊNCIA VARIÁVEL

ANTONIO DE PADUA FINAZZI

ESTA DISSERTAÇÃO FOI JULGADA PARA A OBTENÇÃO DO TÍTULO DE MESTRE  
EM ENGENHARIA, ESPECIALIDADE ENGENHARIA ELÉTRICA E APROVADA  
EM SUA FORMA FINAL PELO CURSO DE PÓS-GRADUAÇÃO

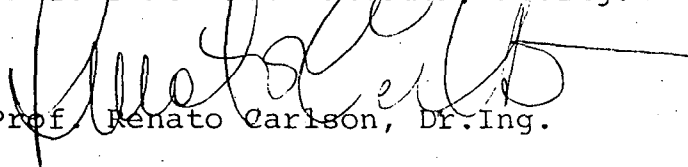
  
Prof. Ivo Barbi, Dr. Ing.  
Orientador

  
Prof. Augusto Humberto Bruciapaglia, Dr. Ing.  
Coordenador do Curso de Pós-Graduação  
em Engenharia Elétrica

BANCA EXAMINADORA

  
Prof. Ivo Barbi, Dr. Ing.

  
Prof. Simon Tov Bahbouth, Dr. Ing.

  
Prof. Renato Carlson, Dr. Ing.

À minha esposa,  
meus parentes e  
meus amigos.

## A G R A D E C I M E N T O S

Ao Professor Ivo Barbi, pela dedicação, competência e espírito de trabalho, virtudes de um orientador exemplar.

Aos professores Simon Tov Bahbouth e Renato Carlson, pelos valiosos conhecimentos transmitidos.

Aos meus colegas, amigos e professores que contribuíram para a realização deste trabalho, em especial aos colégas José Renes Pinheiro e José Antonio Lambert.

Aos colegas da Universidade Federal de Mato Grosso, pelo apoio prestado.

À Universidade Federal de Santa Catarina e ao programa CAPES - PICD, pelo apoio financeiro.

À minha esposa Angela, pela agradável companhia e dedicação.

## R E S U M O

Este trabalho trata do estudo da partida do motor monofásico de indução com capacitor, alimentado com tensão e frequência variável.

São estabelecidos modelos para situações transitória e de regime permanente.

É analisada a influência do capacitor durante a partida, estabelecendo-se critérios de dimensionamento do mesmo.

São estabelecidas relações entre a tensão e a frequência rotórica, que mantêm o fluxo constante.

Os resultados teóricos são comparados experimentalmente, com o emprego de um protótipo de laboratório de 1/2 H.P.

## A B S T R A C T

This work is concerned with the starting of a single phase induction motor with capacitor, fed with variable voltage and frequency.

Models are established for transient and steady state behavior.

The influence of the capacitor during the motor start is analyzed, and criteria are established to compute its value.

Relations between voltage and rotor frequency are established to maintain constant flux.

The theoretical results are compared experimentally with a laboratory prototype of 1/2 H.P..

## S I M B O L O G I A

- a - relação de espiras entre os enrolamentos auxiliar e principal ( $N_a/N_p$ ).
- C - capacitor auxiliar de partida.
- d - eixo direto (índice).
- E - tensão contínua.
- $f_a$  - freqüência de alimentação.
- $f_r$  - freqüência do rotor.
- $i_a, I_a$  - correntes instantânea e fasorial (valor eficaz) do enrolamento auxiliar.
- $I_{acc}, I'_{acc}$  - correntes do enrolamento auxiliar para o ensaio "a curto-circuito", na energização do enrolamento principal e na energização do enrolamento auxiliar, respectivamente (valor eficaz).
- $I_{ao}, I'_{ao}$  - correntes do enrolamento auxiliar para o ensaio "a vazio", na energização do enrolamento principal e na energização do enrolamento auxiliar, respectivamente (valor eficaz).
- $i_d, I_d$  - correntes instantânea e fasorial (valor eficaz) do rotor, em eixo direto.
- \*  
 $I_d$  - conjugado do fasor  $I_d$ .
- $I_{dcc}, I'_{dcc}$  - correntes do rotor em eixo direto para o ensaio "a curto-circuito", na energização do enrolamento principal e na energização do enrolamento auxiliar, respectivamente (valor eficaz).

- $I_{do}, I'_{do}$  - correntes do rotor em eixo direto para o ensaio "a va zio", na energização do enrolamento principal e na ener gização do enrolamento auxiliar, respectivamente (valor eficaz).
- $i_p, I_p$  - correntes instantânea e fasorial (valor eficaz) do en rolamento principal.
- $I_{pcc}, I'_{pcc}$  - correntes do enrolamento principal para o ensaio "a cur to-circuito", na energização do enrolamento principal e na energização do enrolamento auxiliar, respectivamen te (valor eficaz).
- $I_{po}, I'_{po}$  - correntes do enrolamento principal para o ensaio "a va zio", na energização do enrolamento principal e na ener gização do enrolamento auxiliar, respectivamente (valor eficaz).
- $i_q, I_q$  - correntes instantânea e fasorial (valor eficaz) do ro tor, em quadratura.
- $I_q^*$  - conjugado do fasor  $I_q$ .
- $I_{qcc}, I'_{qcc}$  - correntes do rotor em quadratura para o ensaio "a curto- circuito", na energização do enrolamento principal e na energização do enrolamento auxiliar, respectivamente (va lor eficaz).
- $I_{qo}, I'_{qo}$  - correntes do rotor em quadratura para o ensaio "a va zio", na energização do enrolamento principal e na ener gização do enrolamento auxiliar, respectivamente (valor eficaz).
- $i_r, I_{rd}$  - correntes instantâneas e fasorial (valor eficaz) do ro tor, em eixo direto.
- $I_{rd}^*$  - conjugado do fasor  $I_{rd}$ .

- $i_r^q, I_{rq}$  - correntes instantânea e fasorial (valor eficaz) do rotor, em quadratura.
- $I_{rq}^*$  - conjugado do fasor  $I_{rq}$ .
- $i_{r1}, i_{r2}$  - correntes instantâneas dos enrolamentos 1 e 2 do rotor.
- $i_s, I_s$  - correntes instantânea e fasorial (valor eficaz) total do estator ( $i_s = i_a + i_p$ ).
- $i_{s1}, I_{s1}$  - correntes instantânea e fasorial (valor eficaz) do enrolamento número 1 do estator.
- $i_{s2}, I_{s2}$  - correntes instantânea e fasorial (valor eficaz) do enrolamento número 2 do estator.
- $i_s^d, i_s^q$  - correntes instantâneas dos enrolamentos do estator, em eixo direto e em quadratura, respectivamente.
- $L_a$  - indutância cíclica do enrolamento auxiliar.
- $L_p$  - indutância cíclica do enrolamento principal.
- $L_r$  - indutância cíclica do rotor.
- $L_{s1}, L_{s2}$  - indutâncias cíclicas dos enrolamentos 1 e 2 do estator.
- $M_1$  - indutância mútua máxima entre o enrolamento número 1 do estator e o rotor.
- $M_2$  - indutância mútua máxima entre o enrolamento número 2 do estator e o rotor.
- $M_a$  - indutância mútua máxima entre o enrolamento auxiliar e o rotor.
- $M_p$  - indutância mútua máxima entre o enrolamento principal e o rotor.

- $n$  ou  $N_{pp}$  - número de par de polos.
- $N_a, N_p$  - número de espiras dos enrolamentos auxiliar e principal, respectivamente.
- $p$  - símbolo de derivada.
- $p^{-1}$  - símbolo de integral.
- $P_{cc}, P'_{cc}$  - potência ativa para o ensaio "a curto-circuito", na energização do enrolamento principal e na energização do enrolamento auxiliar, respectivamente.
- $q$  - eixo em quadratura (índice).
- $Q_r$  - relação entre a reatância cíclica e a resistência do rotor ( $X_r/R_r$ ).
- $r$  - rotor (índice).
- $R_a$  - resistência do enrolamento auxiliar.
- $R_{cc}, R'_{cc}$  - resistências equivalentes para o ensaio "a curto-circuito", na energização do enrolamento principal e na energização do enrolamento auxiliar, respectivamente.
- $R'_o, R''_o$  - resistências equivalentes para o ensaio "a vazio", na energização do enrolamento principal e na energização do enrolamento auxiliar, respectivamente.
- $R_p$  - resistência do enrolamento principal.
- $R_r$  - resistência do rotor.
- $R_{s1}, R_{s2}$  - resistência dos enrolamentos 1 e 2 do estator.
- $r_\alpha, r_\beta$  - eixos girantes do rotor.

- s - escorregamento. Como "índice", indica estator.
- t - tempo.
- $T_{ins}$  - torque instantâneo do motor.
- $T_m$  - torque médio do motor.
- $T_{nom}$  - torque médio nominal.
- v, V - tensões instantânea e fasorial (valor eficaz) da fonte monofásica de alimentação.
- $V_a, V_p$  - tensões fasoriais dos enrolamentos auxiliar e principal, respectivamente (valor eficaz)..
- $V_{acc}, V'_{acc}$  - tensões do enrolamento auxiliar para o ensaio "a curto-circuito", na energização do enrolamento principal e na energização do enrolamento auxiliar, respectivamente (valor eficaz).
- $V_{ao}, V'_{ao}$  - tensões do enrolamento auxiliar para o ensaio "a vazio", na energização do enrolamento principal e na energização do enrolamento auxiliar, respectivamente (valor eficaz).
- $V_{pcc}, V'_{pcc}$  - tensões do enrolamento principal para o ensaio "a curto-circuito", na energização do enrolamento principal e na energização do enrolamento auxiliar, respectivamente (valor eficaz).
- $V_{po}, V'_{po}$  - tensões do enrolamento principal para o ensaio "a vazio", na energização do enrolamento principal e na energização do enrolamento auxiliar, respectivamente (valor eficaz).
- $v_c, V_c$  - tensões instantânea e fasorial (valor eficaz) do capacitor).

- $V/f$  - relação tensão-frequência da alimentação.
- $v_r^d, v_{rd}$  - tensões instantânea e fasorial (valor eficaz) do rotor, em eixo direto.
- $v_r^q, v_{rq}$  - tensões instantânea e fasorial (valor eficaz) do rotor, em quadratura.
- $v_{r1}, v_{r2}$  - tensões instantâneas dos enrolamentos 1 e 2 do rotor.
- $v_{s1}, V_{s1}$  - tensões instantânea e fasorial (valor eficaz) do enrolamento número 1 do estator.
- $v_{s2}, V_{s2}$  - tensões instantânea e fasorial (valor eficaz) do enrolamento número 2 do estator.
- $v_s^d, v_s^q$  - tensões instantâneas dos enrolamentos do estator, em eixo direto e em quadratura, respectivamente.
- $X_a$  - reatância cíclica do enrolamento auxiliar.
- $X_c$  - reatância correspondente ao capacitor.
- $X_{cc}, X'_{cc}$  - reatâncias equivalentes para o ensaio "a curto-circuito", na energização do enrolamento principal e na energização do enrolamento auxiliar, respectivamente.
- $X_{ma}$  - reatância mútua entre o enrolamento auxiliar e o rotor.
- $X_{mp}$  - reatância mútua entre o enrolamento principal e o rotor.
- $X_{m1}$  - reatância mútua entre o enrolamento número 1 do estator e o rotor.
- $X_{m2}$  - reatância mútua entre o enrolamento número 2 do estator e o rotor.

- $X_0, X_0'$  - reatâncias equivalentes para o ensaio "a vazio", na energização do enrolamento principal e na energização do enrolamento auxiliar, respectivamente.
- $X_p$  - reatância cíclica do enrolamento principal.
- $X_r$  - reatância cíclica do rotor.
- $X_{s1}, X_{s2}$  - reatâncias cíclicas dos enrolamentos 1 e 2 do estator.
- $\theta$  - ângulo entre rotor e estator.
- $\phi_a$  - fluxo concatenado do enrolamento auxiliar (valor máximo).
- $\phi_p, \phi_{pmax}$  - fluxo concatenado do enrolamento principal (valor máximo).
- $\psi_{s1}, \psi_{s2}, \psi_{r1}, \psi_{r2}$  - fluxos instantâneos concatenados dos enrolamentos 1 e 2 do estator e 1 e 2 do rotor.
- $\psi_s^d, \psi_s^q, \psi_r^d, \psi_r^q$  - fluxos instantâneos concatenados dos enrolamentos em eixo direto e em quadratura do estator e do rotor.
- $\omega_m$  - velocidade mecânica.

## S U M Á R I O

SIMBOLOGIA .....	VII
INTRODUÇÃO .....	01
CAPÍTULO 1 - MODELOS DE PARK DA MÁQUINA DE INDUÇÃO BIFÁSICA, NÃO SIMÉTRICA	
1.1 - Introdução .....	02
1.2 - Apresentação e parâmetros da máquina de indução bifásica não-simétrica .....	03
1.3 - Expressões dos fluxos .....	06
1.4 - Expressões das tensões .....	07
1.5 - Expressões do torque instantâneo .....	09
1.6 - Transformação de Park .....	09
1.7 - Fluxos transformados (Park) .....	13
1.8 - Tensões transformadas (Park) .....	14
1.9 - Torque instantâneo (Park) .....	16
1.10- Modelo de Park para regime permanente senoidal .....	17
1.11- Expressão do torque médio .....	18
1.12- Conclusões .....	20
CAPÍTULO 2 - MODELO DO MOTOR DE INDUÇÃO MONOFÁSICO A CAPACITOR	
2.1 - Introdução .....	22
2.2 - Apresentação do motor de indução monofásico a capacitor .....	22

2.3 - Modelo de Park aplicado ao motor a capacitor .....	23
2.4 - Modelo para regime permanente com alimentação senoidal	
2.5 - Expressões fasoriais das correntes .....	28
2.6 - Expressões dos fluxos (máximos) .....	32
2.7 - Expressões dos torques .....	32
2.8 - Conclusões .....	33

CAPÍTULO 3 - ANÁLISE DA INFLUÊNCIA DO CAPACITOR EM REGIME PERMANENTE, ALIMENTAÇÃO SENOIDAL E FREQUÊNCIA CONSTANTE

3.1 - Introdução .....	34
3.2 - Parâmetros do motor .....	34
3.3 - Apresentação das características de torque e correntes.	
3.4 - Conclusões .....	39

CAPÍTULO 4 - ESTUDO DA INFLUÊNCIA DO CAPACITOR EM REGIME PERMANENTE, ALIMENTAÇÃO SENOIDAL, FREQUÊNCIA VARIÁVEL DE 10 HZ A 60 HZ, RELAÇÃO TENSÃO-FREQUÊNCIA CONSTANTE

4.1 - Introdução .....	40
4.2 - Apresentação das características de torque .....	40
4.3 - Conclusões .....	44

CAPÍTULO 5 - ANÁLISE DA INFLUÊNCIA DO CAPACITOR EM REGIME PERMANENTE, ALIMENTAÇÃO SENOIDAL, FREQUÊNCIA VARIÁVEL DE 1 HZ A 10 HZ, RELAÇÃO TENSÃO-FREQUÊNCIA CONSTANTE

5.1 - Introdução .....	45
5.2 - Apresentação das características de torque, correntes e fluxo .....	45
5.3 - Conclusões .....	51

CAPÍTULO 6 - ESTUDO E ANÁLISE DO MOTOR MONOFÁSICO DE INDUÇÃO A CAPACITOR COM VELOCIDADE NULA, ALIMENTAÇÃO SENOIDAL E REGIME PERMANENTE

6.1 - Introdução .....	52
6.2 - Considerações .....	52
6.3 - Relações para velocidade nula .....	53
6.4 - Otimização do capacitor de partida .....	57
6.5 - Apresentação das características de partida .....	59
6.6 - Conclusões .....	61

CAPÍTULO 7 - ESTUDO DA LEI TENSÃO-FREQUÊNCIA DE ALIMENTAÇÃO

7.1 - Introdução .....	62
7.2 - Considerações sobre o fluxo e frequência do rotor .....	62
7.3 - Processo de comparação do fluxo .....	63
7.4 - Apresentação das curvas: lei tensão-frequência e torque para fluxo constante e fluxo para relação tensão-frequência constante .....	63
7.5 - Conclusões .....	67

CAPÍTULO 8 - COMPORTAMENTO DO MOTOR A CAPACITOR EM REGIME PERMANENTE, ALIMENTAÇÃO RETANGULAR, FREQUÊNCIA VARIÁVEL

8.1 - Introdução .....	69
8.2 - Obtenção do modelo de estado do motor de indução monofásico a capacitor .....	69
8.3 - Apresentação dos resultados obtidos na simulação com alimentação retangular .....	73
8.4 - Conclusões .....	80

CAPÍTULO 9 - ESTUDO EXPERIMENTAL, COMPROVAÇÃO DA VALIDADE DO MODELO, ANÁLISE QUANTITATIVA DA PARTIDA

9.1 - Introdução .....	81
9.2 - Motor estudado .....	81
9.3 - Resultados experimentais .....	82
9.4 - Resultados da simulação computacional, comparações .....	86
9.5 - Análise quantitativa da partida .....	89
CONCLUSÕES .....	95
APÊNDICE A .....	96
APÊNDICE B .....	122
APÊNDICE C .....	137
REFERÊNCIAS BIBLIOGRÁFICAS .....	140

## I N T R O D U Ç Ã O

Na referência [2] foi estudado o emprego do motor de indução monofásico alimentado por um inversor, com objetivo de controlar a sua velocidade.

No entanto, o motor de indução monofásico, por si próprio, não apresenta torque de partida. A maneira mais convencional de suprir este inconveniente é o emprego de um enrolamento auxiliar no estator e um capacitor externo.

Assim, torna-se necessário estudar o comportamento do motor de indução a capacitor na partida, quando alimentado pelo mesmo inversor monofásico.

Em se tratando de partida, tem-se baixas frequências de alimentação. Isto eleva o valor do capacitor adequado para proporcionar o torque de partida. Assim, é importante estabelecer critérios de dimensionamento do capacitor que considerem o custo e volume do capacitor, torque de partida, correntes alcançadas, frequência mínima de partida e nível de saturação da máquina.

Além disso, deve-se verificar o comportamento do motor a capacitor na medida que se varia a velocidade do rotor, com objetivo de definir o melhor ponto de atuação da chave centrífuga, em que se abre o circuito do enrolamento auxiliar.

Deve-se verificar também a influência do capacitor na lei tensão-frequência que mantém o fluxo constante, evitando-se uma indesejável saturação da máquina.

O enrolamento auxiliar e o enrolamento principal não são idênticos quanto aos seus parâmetros elétricos. Desta maneira, o motor de indução a capacitor é uma máquina bifásica não-simétrica. Para realizar o seu estudo é necessário, inicialmente, estabelecer o modelo adequado para esta situação. Em seguida, o capacitor deve ser incluído no circuito e integrado juntamente com os demais parâmetros da máquina.

Todas estas considerações são estudadas neste trabalho, proporcionando uma análise global da partida do motor a capacitor.

## C A P Í T U L O 1

### MODELOS DE PARK DA MÁQUINA DE INDUÇÃO BIFÁSICA, NÃO SIMÉTRICA

#### 1.1 - Introdução

Neste capítulo são estabelecidos os modelos de Park para a máquina de indução bifásica não-simétrica.

É considerada uma máquina com rotor em gaiola e com dois enrolamentos estatóricos, defasados de noventa graus no espaço.

Os dois enrolamentos estatóricos têm parâmetros elétricos diferentes, sendo esta a causa da não-simetria.

Como exemplo de máquina bifásica não-simétrica pode-se citar o motor monofásico com enrolamento auxiliar de partida.

#### 1.2 - Apresentação e parâmetros da máquina de indução bifásica não-simétrica.

A máquina modelada está representada na figura 1.1.

O rotor em gaiola é representado por dois enrolamentos equivalentes,  $r_\alpha$  e  $r_\beta$ , iguais entre si. É portanto simétrico.

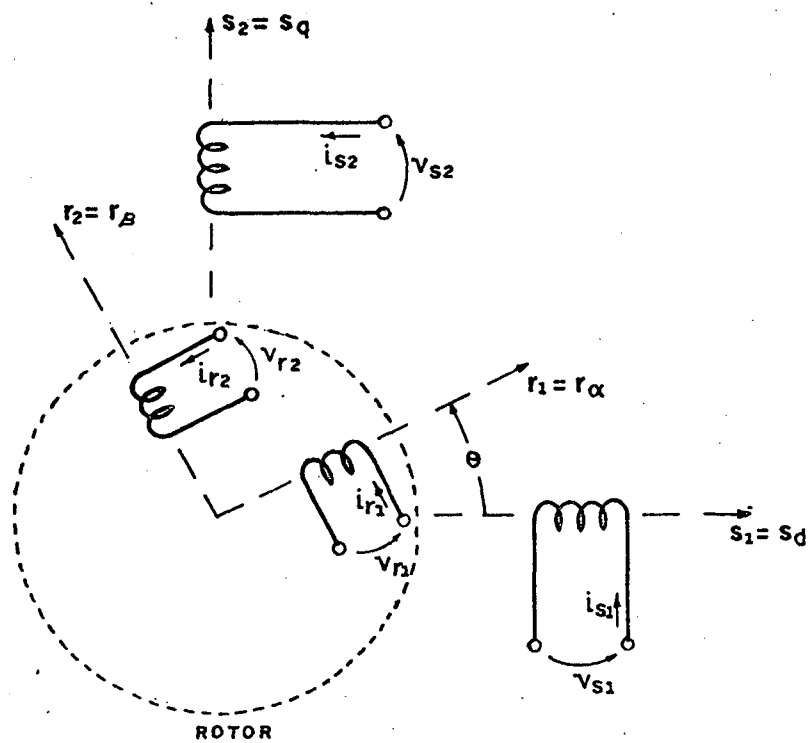


Figura 1.1 - Representação da máquina bifásica.

É adotada a seguinte simbologia:

$\psi$	fluxo instantâneo do enrolamento
$v$	tensão instantânea do enrolamento
$i$	corrente instantânea do enrolamento
$s$	estator
$r$	rotor
$1,2$	número do enrolamento
$\theta$	ângulo entre $s_1$ e $r_1$
$d$	eixo direto
$q$	eixo em quadratura
$R$	resistência do enrolamento

L        indutância cíclica do enrolamento  
M        indutância mútua entre enrolamentos

Assim, tem-se como exemplo:

$R_{s1}$  e  $R_{s2}$  - resistências dos enrolamentos 1 e 2 do estator

$L_{s1}$  e  $L_{s2}$  - indutâncias cíclicas dos enrolamentos 1 e 2 do estator

$R_r$  e  $L_r$  - resistência e indutância cíclica do rotor

$M_{sr12}$  - indutância mútua entre enrolamentos: 1 do estator e 2 do rotor.

A seguir, são obtidas as expressões das indutâncias mútuas entre os enrolamentos do motor. A distribuição espacial do fluxo para cada bobina é considerada senoidal, assim tem-se:

$$M_{ij} = M_{\max} \cos \alpha \quad (1.1)$$

sendo:

$M_{ij}$  - indutância mútua entre as bobinas "i" e "j"

$\alpha$  - ângulo entre os eixos das bobinas "i" e "j"

$M_{\max}$  - indutância mútua máxima ( $\alpha = 0$ ).

Através da expressão (1.1) e da figura 1.1, obtem-se:

$$M_{s12} = M_{s21} = 0 \quad (1.2.a)$$

$$M_{r12} = M_{r21} = 0 \quad (1.2.b)$$

$$M_{sr11} = M_{rs11} = M_1 \cos \theta \quad (1.2.c)$$

$$M_{sr12} = M_{rs21} = M_1 \cos(90^\circ + \theta) = -M_1 \sin \theta \quad (1.2.d)$$

$$M_{sr21} = M_{rs12} = M_2 \cos(90^\circ - \theta) = M_2 \sin \theta \quad (1.2.e)$$

$$M_{sr22} = M_{rs22} = M_2 \cos \theta \quad (1.2.f)$$

sendo:

$M_1$  - indutância mútua máxima entre enrolamento 1 do estator e rotor

$M_2$  - indutância mútua máxima entre enrolamento 2 do estator e rotor.

### 1.3 - Expressões dos fluxos

O fluxo em um determinado enrolamento é dado por:

$$\psi_i = L_i i_i + \sum M_{ij} i_j \quad (1.3)$$

Assim, substituindo as expressões das indutâncias mútuas (1.2.a até 1.2.f) na expressão (1.3), tem-se:

$$\psi_{s1} = L_{s1} i_{s1} + M_1 \cos \theta i_{r1} - M_1 \sin \theta i_{r2} \quad (1.4.a)$$

$$\psi_{s2} = L_{s2} i_{s2} + M_2 \sin \theta i_{r1} + M_2 \cos \theta i_{r2} \quad (1.4.b)$$

$$\psi_{r1} = L_r i_{r1} + M_1 \cos \theta i_{s1} + M_2 \sin \theta i_{s2} \quad (1.4.c)$$

$$\psi_{r2} = L_r i_{r2} - M_1 \sin \theta i_{s1} + M_2 \cos \theta i_{s2} \quad (1.4.d)$$

Matricialmente o modelo é representado pela equação

(1.5)

$$\begin{bmatrix} \psi_{s1} \\ \psi_{s2} \\ \psi_{r1} \\ \psi_{r2} \end{bmatrix} = \begin{bmatrix} L_{s1} & 0 & M_1 \cos \theta & -M_1 \sin \theta \\ 0 & L_{s2} & M_2 \sin \theta & M_2 \cos \theta \\ M_1 \cos \theta & M_2 \sin \theta & L_r & 0 \\ -M_1 \sin \theta & M_2 \cos \theta & 0 & L_r \end{bmatrix} \begin{bmatrix} i_{s1} \\ i_{s2} \\ i_{r1} \\ i_{r2} \end{bmatrix} \quad (1.5)$$

#### 1.4 - Expressões das tensões

Partindo-se do princípio de que a tensão, em um de terminado enrolamento, é dada por:

$$v_i = R_i i_i + p(L_i i_i) + \sum_{j=1}^{n-1} p(M_{ij} i_j) \quad (1.6)$$

sendo:

$n$  - número de enrolamentos que interagem entre si

$p$  -  $d/dt$  (símbolo de derivada)

tem-se:

$$v_{s1} = R_{s1} i_{s1} + p(L_{s1} i_{s1}) + p(M_{sr11} i_{r1}) + p(M_{sr12} i_{r2}) \quad (1.7.a)$$

$$v_{s2} = R_{s2} i_{s2} + p(L_{s2} i_{s2}) + p(M_{sr21} i_{r1}) + p(M_{sr22} i_{r2}) \quad (1.7.b)$$

$$v_{r1} = R_r i_{r1} + p(L_r i_{r1}) + p(M_{rs11} i_{s1}) + p(M_{rs12} i_{s2}) \quad (1.7.c)$$

$$v_{r2} = R_r i_{r2} + p(L_r i_{r2}) + p(M_{rs21} i_{s1}) + p(M_{rs22} i_{s2}) \quad (1.7.d)$$

Substituindo as expressões das indutâncias mútuas (1.2.a até 1.2.f), tem-se:

$$v_{s1} = (R_{s1} + pL_{s1})i_{s1} + p[(M_1 \cos \theta) i_{r1}] - p[(M_1 \sin \theta) i_{r2}] \quad (1.8.a)$$

$$v_{s2} = (R_{s2} + pL_{s2})i_{s2} + p[(M_2 \sin \theta) i_{r1}] - p[(M_2 \cos \theta) i_{r2}] \quad (1.8.b)$$

$$v_{r1} = p[(M_1 \cos \theta) i_{s1}] + p[(M_2 \sin \theta) i_{s2}] + (R_r + pL_r)i_{r1} \quad (1.8.c)$$

$$v_{r2} = -p[(M_1 \sin \theta) i_{s1}] + p[(M_2 \cos \theta) i_{s2}] + (R_r + pL_r)i_{r2} \quad (1.8.d)$$

Representando-se matricialmente, obtém-se a equação (1.9):

$$\begin{bmatrix} v_{s1} \\ v_{s2} \\ v_{r1} \\ v_{r2} \end{bmatrix} = \begin{bmatrix} R_{s1} + pL_{s1} & 0 & pM_1 \cos \theta & -pM_1 \sin \theta \\ 0 & R_{s2} + pL_{s2} & pM_2 \sin \theta & pM_2 \cos \theta \\ pM_1 \cos \theta & pM_2 \sin \theta & R_r + pL_r & 0 \\ -pM_1 \sin \theta & pM_2 \cos \theta & 0 & R_r + pL_r \end{bmatrix} \begin{bmatrix} i_{s1} \\ i_{s2} \\ i_{r1} \\ i_{r2} \end{bmatrix} \quad (1.9)$$

A equação (1.9) é do tipo  $V = Z.I$ . A matriz impedância "Z" possui termos que são função do ângulo do rotor ( $\theta$ ). Desta maneira, a equação (1.9) apresenta inconvenientes para o emprego prático. Isto justifica a transformação de Park, aplicada a partir do item (1.6).

### 1.5 - Expressão do torque instantâneo

O torque total produzido por uma máquina é a soma dos torques de relutância e excitação. Visto que se trata de um rotor tipo "gaiola de esquilo", não se tem torques de relutância consideráveis ( $dL_i/d\theta = 0$ ). Assim tem-se:

$$T_{ins} = \sum i_i i_j \frac{d(M_{ij}(\theta))}{d\theta} \quad (1.10)$$

Somando-se os torques dos quatro enrolamentos, tem-se:

$$\begin{aligned} T_{ins} = & i_{s1} i_{r1} \frac{d(M_1 \cos \theta)}{d\theta} + i_{s1} i_{r2} \frac{d(-M_1 \sin \theta)}{d\theta} + \\ & + i_{s2} i_{r1} \frac{d(M_2 \sin \theta)}{d\theta} + i_{s2} i_{r2} \frac{d(M_2 \cos \theta)}{d\theta} \end{aligned} \quad (1.11)$$

Derivando-se os senos e co-senos, tem-se:

$$T_{ins} = -M_1 i_{s1} (i_{r1} \sin \theta + i_{r2} \cos \theta) + M_2 i_{s2} (i_{r1} \cos \theta - i_{r2} \sin \theta) \quad (1.12)$$

### 1.6 - Transformação de Park

A transformação de Park tem a finalidade de reformular as expressões anteriores, apresentando-as de uma maneira mais adequada ao emprego do modelo. As grandezas elétricas do rotor são projetadas sobre dois eixos (enrolamentos) fixos e coincidentes com os eixos dos enrolamentos 1 e 2 do estator (referência).

A figura 1.2 ilustra as considerações anteriores.

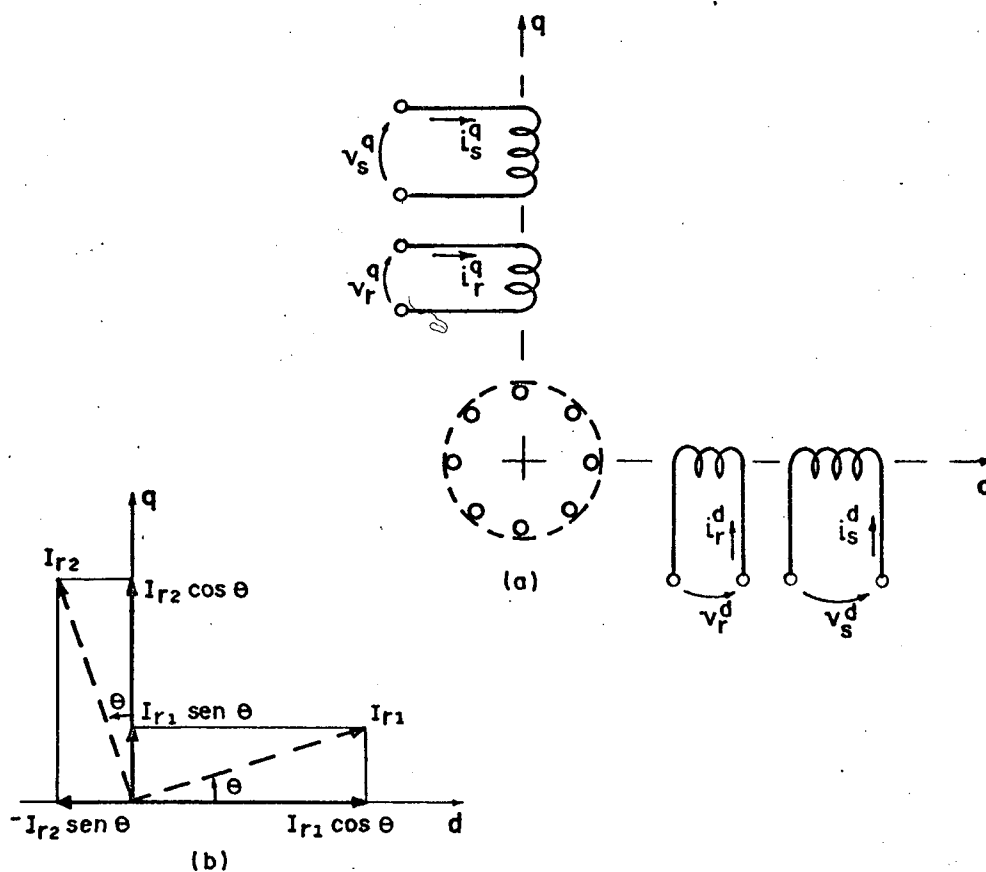


Figura 1.2 - Modelo de Park da máquina de indução bifásica.

(a) representação esquemática e (b) diagrama de projeção.

São definidas as novas correntes:

$$i_r^d = i_{r1} \cos \theta - i_{r2} \sin \theta \quad (1.13.a)$$

$$i_r^q = i_{r1} \sin \theta + i_{r2} \cos \theta \quad (1.13.b)$$

$$i_s^d = i_{s1} \quad (1.13.c)$$

$$i_s^q = i_{s2} \quad (1.13.d)$$

sendo:

$i_r^d$  e  $i_r^q$  - correntes do rotor nos eixos direto e  
e em quadratura

$i_s^d$  e  $i_s^q$  - correntes do estator nos eixos direto  
e em quadratura.

As expressões das correntes (1.13.a até 1.13.d) são representadas matricialmente pelas expressões (1.14.a) e (1.14.b)

$$\begin{bmatrix} i_s^d \\ i_s^q \end{bmatrix} = \begin{bmatrix} i_{s1} \\ i_{s2} \end{bmatrix} \quad (1.14.a)$$

$$\begin{bmatrix} i_r^d \\ i_r^q \end{bmatrix} = \begin{bmatrix} \cos \theta & -\text{sen } \theta \\ \text{sen } \theta & \cos \theta \end{bmatrix} \begin{bmatrix} i_{r1} \\ i_{r2} \end{bmatrix} \quad (1.14.b)$$

ou, de uma maneira mais compacta:

$$\begin{bmatrix} I_{sdq} \end{bmatrix} = \begin{bmatrix} I_{s12} \end{bmatrix} \quad (1.15.a)$$

$$\begin{bmatrix} I_{rdq} \end{bmatrix} = \begin{bmatrix} B^{-1} \end{bmatrix} \begin{bmatrix} I_{r12} \end{bmatrix} \quad (1.15.b)$$

onde:

$$\begin{bmatrix} B^{-1} \end{bmatrix} = \begin{bmatrix} \cos \theta & -\text{sen } \theta \\ \text{sen } \theta & \cos \theta \end{bmatrix} \quad (1.16.a)$$

$$\begin{bmatrix} B \end{bmatrix} = \begin{bmatrix} \cos \theta & \text{sen } \theta \\ -\text{sen } \theta & \cos \theta \end{bmatrix} \quad (1.16.b)$$

Analogamente, são definidas as tensões e fluxos dos eixos direto e em quadratura, para o rotor e estator. Assim, tem-se:

$$\begin{bmatrix} V_{sdq} \end{bmatrix} = \begin{bmatrix} V_{s12} \end{bmatrix} \quad (1.17.a)$$

$$\begin{bmatrix} V_{rdq} \end{bmatrix} = \begin{bmatrix} B^{-1} \end{bmatrix} \begin{bmatrix} V_{r12} \end{bmatrix} \quad (1.17.b)$$

$$\begin{bmatrix} \phi_{sdq} \end{bmatrix} = \begin{bmatrix} \phi_{s12} \end{bmatrix} \quad (1.18.a)$$

$$\begin{bmatrix} \phi_{rdq} \end{bmatrix} = \begin{bmatrix} B^{-1} \end{bmatrix} \begin{bmatrix} \phi_{r12} \end{bmatrix} \quad (1.18.b)$$

Define-se também as matrizes:

$$\begin{bmatrix} R_s \end{bmatrix} = \begin{bmatrix} R_{s1} & 0 \\ 0 & R_{s2} \end{bmatrix} \quad (1.19.a)$$

$$\begin{bmatrix} R_r \end{bmatrix} = \begin{bmatrix} R_r & 0 \\ 0 & R_r \end{bmatrix} \quad (1.19.b)$$

$$\begin{bmatrix} L_s \end{bmatrix} = \begin{bmatrix} L_{s1} & 0 \\ 0 & L_{s2} \end{bmatrix} \quad (1.19.c)$$

$$\begin{bmatrix} L_r \end{bmatrix} = \begin{bmatrix} L_r & 0 \\ 0 & L_r \end{bmatrix} \quad (1.19.d)$$

$$\begin{bmatrix} M \end{bmatrix} = \begin{bmatrix} M_1 & 0 \\ 0 & M_2 \end{bmatrix} \quad (1.19.e)$$

$$\begin{bmatrix} \Pi \end{bmatrix} = \begin{bmatrix} 1 & 0 \\ 0 & 1 \end{bmatrix} \quad (1.19.f)$$

Estas matrizes auxiliam no desenvolvimento para obtenção das expressões das tensões, fluxos e demais grandezas elétricas, quando se aplica a transformada de Park.

### 1.7 - Fluxos transformados (Park)

A seguir, é aplicada a transformada de Park nos resultados obtidos no item (1.3). Assim, a equação (1.5) é substituída pelas equações (1.20.a) e (1.20.b)

$$\begin{bmatrix} \phi_{s12} \end{bmatrix} = \begin{bmatrix} L_s \end{bmatrix} \begin{bmatrix} I_{s12} \end{bmatrix} + \begin{bmatrix} M \end{bmatrix} \begin{bmatrix} B^{-1} \end{bmatrix} \begin{bmatrix} I_{r12} \end{bmatrix} \quad (1.20.a)$$

$$\begin{bmatrix} \phi_{r12} \end{bmatrix} = \begin{bmatrix} B \end{bmatrix} \begin{bmatrix} M \end{bmatrix} \begin{bmatrix} I_{s12} \end{bmatrix} + \begin{bmatrix} L_r \end{bmatrix} \begin{bmatrix} I_{r12} \end{bmatrix} \quad (1.20.b)$$

Multiplicando-se a equação (1.20.b) por  $\begin{bmatrix} B^{-1} \end{bmatrix}$ , tem-

se:

$$\begin{bmatrix} B^{-1} \end{bmatrix} \begin{bmatrix} \phi_{r12} \end{bmatrix} = \begin{bmatrix} M \end{bmatrix} \begin{bmatrix} I_{s12} \end{bmatrix} + \begin{bmatrix} B^{-1} \end{bmatrix} \begin{bmatrix} L_r \end{bmatrix} \begin{bmatrix} I_{r12} \end{bmatrix} \quad (1.21)$$

$$\begin{bmatrix} B^{-1} \end{bmatrix} \begin{bmatrix} \phi_{r12} \end{bmatrix} = \begin{bmatrix} M \end{bmatrix} \begin{bmatrix} I_{s12} \end{bmatrix} + \begin{bmatrix} L_r \end{bmatrix} \begin{bmatrix} B^{-1} \end{bmatrix} \begin{bmatrix} I_{r12} \end{bmatrix} \quad (1.22)$$

Aplicando-se a transformação de Park, tem-se:

$$\begin{bmatrix} \phi_{sdq} \end{bmatrix} = \begin{bmatrix} L_s \end{bmatrix} \begin{bmatrix} I_{sdq} \end{bmatrix} + \begin{bmatrix} M \end{bmatrix} \begin{bmatrix} I_{rdq} \end{bmatrix} \quad (1.23.a)$$

$$\begin{bmatrix} \phi_{rdq} \end{bmatrix} = \begin{bmatrix} M \end{bmatrix} \begin{bmatrix} I_{sdq} \end{bmatrix} + \begin{bmatrix} L_r \end{bmatrix} \begin{bmatrix} I_{rdq} \end{bmatrix} \quad (1.23.b)$$

ou ainda:

$$\begin{bmatrix} d \\ \psi_s \\ q \\ \psi_s \\ d \\ \psi_r \\ q \\ \psi_r \end{bmatrix} = \begin{bmatrix} L_{s1} & 0 & M_1 & 0 \\ 0 & L_{s2} & 0 & M_2 \\ M_1 & 0 & L_r & 0 \\ 0 & M_2 & 0 & L_r \end{bmatrix} \begin{bmatrix} d \\ i_s \\ q \\ i_s \\ d \\ i_r \\ q \\ i_r \end{bmatrix} \quad (1.24)$$

### 1.8 - Tensões transformadas (Park)

A seguir, é aplicada a transformação de Park nos resultados obtidos no item (1.4). Assim, a equação (1.9) é substituída pelas equações (1.25.a) e (1.25.b).

$$\begin{bmatrix} V_{s12} \end{bmatrix} = \begin{bmatrix} R_s \end{bmatrix} \begin{bmatrix} I_{s12} \end{bmatrix} + p \left( \begin{bmatrix} L_s \end{bmatrix} \begin{bmatrix} I_{s12} \end{bmatrix} \right) + p \left( \begin{bmatrix} M \end{bmatrix} \begin{bmatrix} B^{-1} \end{bmatrix} \begin{bmatrix} I_{r12} \end{bmatrix} \right) \quad (1.25.a)$$

$$\begin{bmatrix} V_{r12} \end{bmatrix} = \begin{bmatrix} R_r \end{bmatrix} \begin{bmatrix} I_{r12} \end{bmatrix} + p \left( \begin{bmatrix} L_r \end{bmatrix} \begin{bmatrix} I_{r12} \end{bmatrix} \right) + p \left( \begin{bmatrix} B \end{bmatrix} \begin{bmatrix} M \end{bmatrix} \begin{bmatrix} I_{s12} \end{bmatrix} \right) \quad (1.25.b)$$

Multiplicando-se a equação (1.25.b) por  $\begin{bmatrix} B^{-1} \end{bmatrix}$  e aplicando-se a transformação de Park, tem-se:

$$\begin{bmatrix} V_{sdq} \end{bmatrix} = \begin{bmatrix} R_s \end{bmatrix} \begin{bmatrix} I_{sdq} \end{bmatrix} + p \left( \begin{bmatrix} L_s \end{bmatrix} \begin{bmatrix} I_{sdq} \end{bmatrix} \right) + p \left( \begin{bmatrix} M \end{bmatrix} \begin{bmatrix} I_{rdq} \end{bmatrix} \right) \quad (1.26.a)$$

$$\begin{bmatrix} V_{srq} \end{bmatrix} = \begin{bmatrix} R_r \end{bmatrix} \begin{bmatrix} I_{rdq} \end{bmatrix} + \begin{bmatrix} B^{-1} \end{bmatrix} \begin{bmatrix} L_r \end{bmatrix} p \left( \begin{bmatrix} B \end{bmatrix} \begin{bmatrix} I_{rdq} \end{bmatrix} \right) + \begin{bmatrix} B^{-1} \end{bmatrix} p \left( \begin{bmatrix} B \end{bmatrix} \begin{bmatrix} M \end{bmatrix} \begin{bmatrix} I_{sdq} \end{bmatrix} \right) \quad (1.26.b)$$

Sabe-se que:

$$p \begin{bmatrix} B \end{bmatrix} = \begin{bmatrix} -\text{sen } \theta & \text{cos } \theta \\ -\text{cos } \theta & -\text{sen } \theta \end{bmatrix} n \omega_m \quad (1.27)$$

$$\begin{bmatrix} B^{-1} \end{bmatrix} p \begin{bmatrix} B \end{bmatrix} = n \omega_m \begin{bmatrix} 0 & 1 \\ -1 & 0 \end{bmatrix} \quad (1.28)$$

onde:

$\omega_m$  - velocidade mecânica do rotor

$n$  - número de par de polos.

Desenvolvendo-se as equações (1.26.a) e (1.26.b), com auxílio das equações (1.27) e (1.28), encontra-se o modelo final, apresentado pela equação (1.29).

$$\begin{bmatrix} v_s^d \\ v_s^q \\ v_r^d \\ v_r^q \end{bmatrix} = \begin{bmatrix} R_{s1} + pL_{s1} & 0 & pM_1 & 0 \\ 0 & R_{s2} + pL_{s2} & 0 & pM_2 \\ pM_1 & n\omega_m M_2 & R_r + pL_r & n\omega_m L_r \\ -n\omega_m M_1 & pM_2 & -n\omega_m L_r & R_r + pL_r \end{bmatrix} \begin{bmatrix} i_s^d \\ i_s^q \\ i_r^d \\ i_r^q \end{bmatrix} \quad (1.29)$$

Para o rotor em gaiola, tem-se que:

$$v_r^d = v_r^q = 0$$

Os parâmetros do rotor,  $R_r$  e  $L_r$ , podem ser referidos a um dos enrolamentos estatóricos. Neste caso, o mesmo tem de acontecer com suas tensões e correntes.

As indutâncias mútuas  $M_1$  e  $M_2$  são referidas ao respectivo enrolamento estatórico.

O modelo dado pela expressão (1.29) abrange todas as condições de funcionamento, desde o regime permanente senoidal até o regime transitório, sob qualquer tipo de alimentação.

Os eixos de projeção (d e q), da transformação de Park, estão referenciados ao estator ( $s_1$  e  $s_2$ ).

### 1.9 - Torque instantâneo (Park)

Aplicando-se a transformação de Park nos resultados obtidos no item (1.5), expressão (1.12), tem-se:

$$T_{ins} = -M_1 i_s^d i_r^q + M_2 i_s^q i_r^d \quad (1.30)$$

Considerando-se "n" par de polos, obtem-se:

$$T_{ins} = n(M_2 i_s^q i_r^d - M_1 i_s^d i_r^q) \quad (1.31)$$

### 1.10 - Modelo de Park para regime permanente senoidal

O modelo de Park para regime permanente senoidal é uma particularidade do modelo geral (transitório sob qualquer tipo de alimentação) dado pela equação (1.31). Neste caso, são feitas as seguintes considerações:

- as grandezas elétricas são tratadas fasorialmente e têm, por isto, suas simbologias modificadas (letras maiúsculas).

- a derivada "p" é substituída pelo produto "J ω", onde "ω" é a frequência de alimentação em radianos/segundo e "J" é o operador que defasa (adianta) o fasor de noventa graus elétricos.

- as indutâncias são substituídas pelas respectivas reatâncias ( $x = \omega L$ ).

- o produto " $n \omega_m$ " é substituído por " $\omega(1-s)$ ", onde "s" é o esmagamento do rotor em relação ao campo do estator.

Assim, a equação (1.31) é substituída pela equação (1.32)

$$\begin{bmatrix} V_{s1} \\ V_{s2} \\ V_{rd} \\ V_{rq} \end{bmatrix} = \begin{bmatrix} R_{s1} + jX_{s1} & 0 & jX_{m1} & 0 \\ 0 & R_{s2} + jX_{s2} & 0 & jX_{m2} \\ jX_{m1} & (1-s)X_{m2} & R_r + jX_r & (1-s)X_r \\ -(1-s)X_{m1} & jX_{m2} & -(s-1)X_r & R_r + jX_r \end{bmatrix} \begin{bmatrix} I_{s1} \\ I_{s2} \\ I_{rd} \\ I_{rq} \end{bmatrix} \quad (1.32)$$

onde:

$X_{s1}$  e  $X_{s2}$  - reatâncias cíclicas do estator

$X_r$  - reatância cíclica do rotor

$X_{m1}$  e  $X_{m2}$  - reatâncias mútuas entre enrolamentos do estator e rotor

### 1.11 - Expressão do torque médio

A seguir, é obtida a expressão do torque médio. Para isto, são desenvolvidas as expressões das potências nos vários setores da máquina e então, o torque médio é obtido da parcela correspondente à potência mecânica.

Através da equação (1.32), tem-se:

$$\begin{bmatrix} V_{s1} \\ V_{s2} \\ V_{rd} \\ V_{rq} \end{bmatrix} = \begin{bmatrix} R_{s1} & 0 & 0 & 0 \\ 0 & R_{s2} & 0 & 0 \\ 0 & 0 & R_r & 0 \\ 0 & 0 & 0 & R_r \end{bmatrix} \begin{bmatrix} I_{s1} \\ I_{s2} \\ I_{rd} \\ I_{rq} \end{bmatrix} + j\omega \begin{bmatrix} L_{s1} & 0 & M_1 & 0 \\ 0 & L_{s2} & 0 & M_2 \\ M_1 & 0 & L_r & 0 \\ 0 & M_2 & 0 & L_r \end{bmatrix} \begin{bmatrix} I_{s1} \\ I_{s2} \\ I_{rd} \\ I_{rq} \end{bmatrix} +$$

$$+ n \omega_m \begin{bmatrix} 0 & 0 & 0 & 0 \\ 0 & 0 & 0 & 0 \\ 0 & M_2 & 0 & L_r \\ -M_1 & 0 & -L_r & 0 \end{bmatrix} \begin{bmatrix} I_{s1} \\ I_{s2} \\ I_{rd} \\ I_{rq} \end{bmatrix} \quad (1.33.a)$$

ou, de uma maneira mais compacta:

$$[V] = [R][I] + j\omega [L][I] + n\omega_m [G][I] \quad (1.33.b)$$

Multiplicando-se a equação (1.33.b) por  $[I_t^*]$  (transposta-conjugada), obtém-se as parcelas reais, dadas pela expressão (1.34).

$$R_e \{ [I_t^*] [V] \} = R_e \{ [I_t^*] [R] [I] \} + R_e \{ j\omega [I_t^*] [L] [I] \} + \\ + R_e \{ n\omega_m [I_t^*] [G] [I] \} \quad (1.34)$$

onde:

$$R_e \{ [I_t^*] [V] \} \quad - \text{potência total entregue a máquina} \quad (1.35.a)$$

$$R_e \{ [I_t^*] [R] [I] \} \quad - \text{perdas joule nas resistências} \quad (1.35.b)$$

$$R_e \{ j\omega [I_t^*] [L] [I] \} \quad - \text{potência reativa} \quad (1.35.c)$$

$$R_e \{ n\omega_m [I_t^*] [G] [I] \} \quad - \text{potência mecânica do rotor} \quad (1.35.d)$$

Da expressão da potência mecânica (1.35.d), obtem-se a expressão do torque médio, dada por:

$$T_m = n R_e \left\{ \begin{array}{c} \left[ I_{s1}^*, I_{s2}^*, I_{rd}^*, I_{rq}^* \right] \\ \left[ \begin{array}{cccc} 0 & 0 & 0 & 0 \\ 0 & 0 & 0 & 0 \\ 0 & M_2 & 0 & L_r \\ -M_1 & 0 & -L_r & 0 \end{array} \right] \left[ \begin{array}{c} I_{s1} \\ I_{s2} \\ I_{rd} \\ I_{rq} \end{array} \right] \end{array} \right\} \quad (1.36)$$

Através da expressão (1.36) tem-se:

$$T_m = n R_e \{ M_2 I_{rd}^* I_{s2} - M_1 I_{s1} I_{rq}^* + L_r (I_{rd}^* I_{rq} - I_{rq}^* I_{rd}) \} \quad (1.37)$$

mas, a parcela " $L_r (I_{rd}^* I_{rq} - I_{rq}^* I_{rd})$ " da expressão (1.37) é um número imaginário puro. Assim, tem-se:

$$T_m = n R_e \{ M_2 I_{s2} I_{rd}^* - M_1 I_{s1} I_{rq}^* \} \quad (1.38)$$

As correntes fasoriais devem ter como módulo valores eficazes.

### 1.12 - Conclusões

Observa-se na equação (1.31), do tipo  $V = Z I$ , que a matriz impedância é não-simétrica. Esta não-simetria é consequência da própria máquina, cujos enrolamentos estatóricos não são

idênticos.

Os modelos apresentados neste capítulo podem ser particularizados para a máquina bifásica de indução simétrica, como também para o motor monofásico de indução sem capacitor. Em qualquer destes procedimentos, verifica-se que as expressões anteriores resultam nas mesmas expressões estabelecidas pelos demais trabalhos, que fundamentam estas máquinas em particular.

## CAPÍTULO 2

### MODELO DO MOTOR DE INDUÇÃO MONOFÁSICO A CAPACITOR

#### 2.1 - Introdução

Neste capítulo, são estabelecidos os modelos do motor de indução monofásico a capacitor para regime transitório e, em particular, para regime permanente com alimentação senoidal.

A partir destes modelos, seguem-se os procedimentos matemáticos para cálculo das correntes, torques, fluxos e demais grandezas elétricas do motor.

#### 2.2 - Apresentação do motor de indução monofásico a capacitor

O motor a capacitor está representado na figura 2.1.

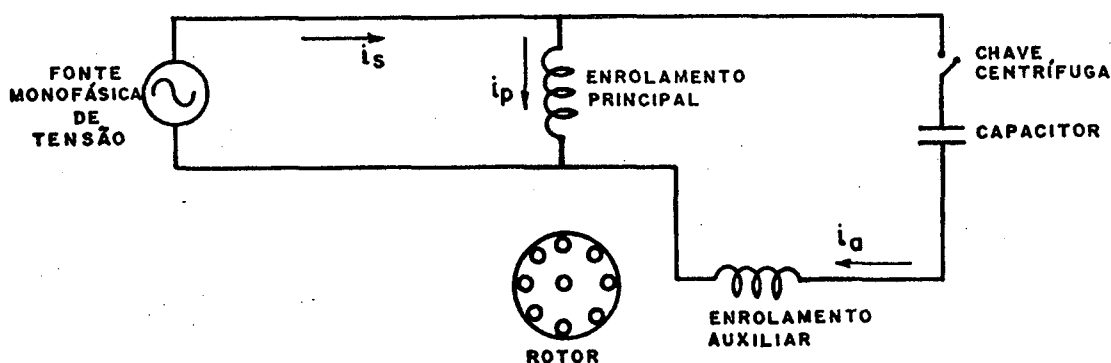


Figura 2.1 - Diagrama esquemático do motor de indução a capacitor.

O estator possui, além do enrolamento principal, um enrolamento auxiliar, ambos defasados de noventa graus espaciais.

O rotor é do tipo gaiola.

Na maioria das vezes, o enrolamento auxiliar possui cerca de cinquenta por cento de espiras a mais do que o enrolamento principal.

Estas considerações, anteriormente apresentadas, de finem o motor a capacitor como uma máquina de indução bifásica não-simétrica.

Um capacitor é colocado em série com o enrolamento auxiliar. Assim, com apenas uma tensão monofásica, o estator possui duas correntes em quadratura no tempo e no espaço, criando um campo girante.

### 2.3 - Modelo de Park aplicado ao motor a capacitor

Verificou-se no item anterior que o motor de indução monofásico a capacitor é uma máquina de indução bifásica não-simétrica, dada no item (1.2). Assim, considera-se que:

- o enrolamento auxiliar substitui o enrolamento número 1 do estator. Isto, porque o capacitor adianta a corrente do enrolamento auxiliar ( $i_a$ ) e então, a sequência é do auxiliar para o principal.

- o enrolamento principal substitui o enrolamento número 2 do estator.

- o rotor não se altera.

- o capacitor é inicialmente considerado externo à máquina e, posteriormente, passa a se integrar como parâmetro desta.

Assim, tem-se:

$$i_s^d = i_a \quad (2.1)$$

$$i_s^q = i_p \quad (2.2)$$

$$i_r^d = i_d \quad (2.3)$$

$$i_r^q = i_q \quad (2.4)$$

$$v_s^d = v - \frac{1}{c} \int i_a dt \quad (2.5)$$

$$v_s^q = v \quad (2.6)$$

$$v_r^d = v_r^q = 0 \quad (2.7)$$

sendo,

$i_d$  e  $i_q$  - correntes rotóricas dos eixos, direto e em quadratura, respectivamente.

Na figura 2.2 é apresentado o diagrama esquemático para o modelo de Park, aplicado ao motor de indução a capacitor.

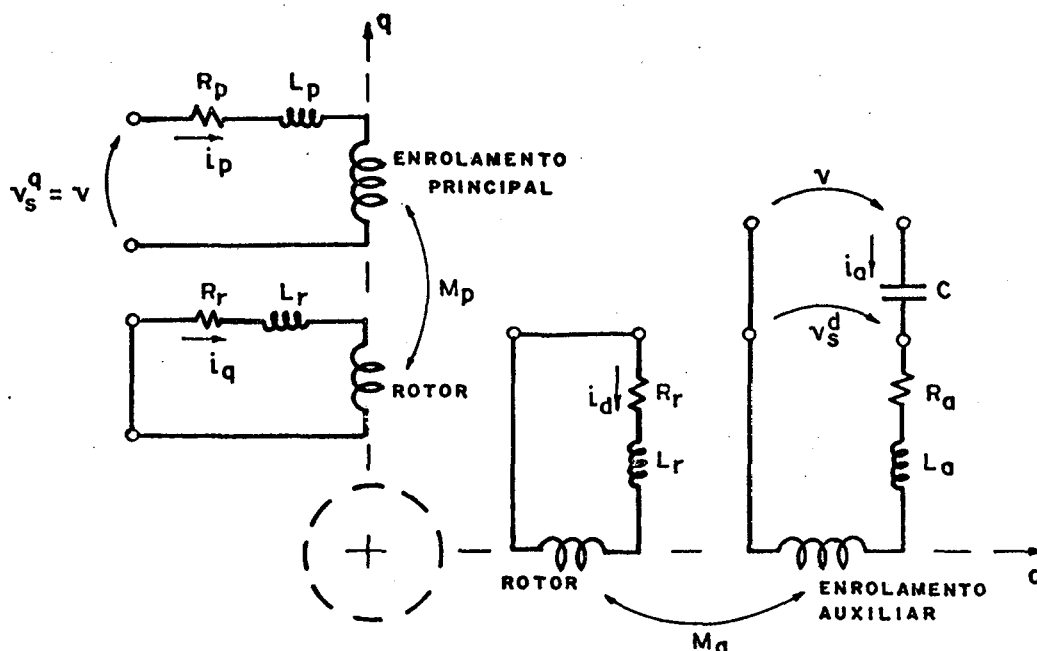


Figura 2.2 - Representação esquemática do modelo de Park, aplicado ao motor a capacitor.

O diagrama da figura 2.2 apresenta os seguintes parâmetros:

$R_a$  e  $R_p$  - resistência dos enrolamentos auxiliar e principal

$L_a$  e  $L_p$  - indutâncias cíclicas dos enrolamentos auxiliar e principal

$M_p$  - indutância mútua máxima entre enrolamento principal e enrolamento rotóricos.

$M_a$  - indutância mútua máxima entre enrolamento auxiliar e enrolamentos rotóricos

$R_r$  e  $L_r$  - resistência e reatância cíclica do rotor.

Substituindo as variáveis e parâmetros do motor a capacitor no modelo de Park, equação (1.31), tem-se:

$$v - (1/C) \int i_a dt = (R_a + pL_a)i_a + pM_a i_d \quad (2.8.a)$$

$$v = (R_p + pL_p)i_p + pM_p i_q \quad (2.8.b)$$

$$0 = pM_a i_a + n\omega_m M_p i_p + (R_r + pL_r)i_d + n\omega_m L_r i_q \quad (2.8.c)$$

$$0 = -n\omega_m M_a i_a + pM_p i_p - n\omega_m L_r i_d + (R_r + pL_r)i_q \quad (2.8.d)$$

Definindo-se " $p^{-1}$ " como " $\int dt$ " (símbolo de integral), a equação (2.8.a) é reescrita por:

$$v = (R_p + pL_a + p^{-1}/C)i_a + pM_a i_d \quad (2.9)$$

Desta maneira, o capacitor é integrado como parâmetro da máquina. As equações (2.8.a) até (2.8.d) são representadas matricialmente pela equação (2.10).

$$\begin{bmatrix} v \\ v \\ 0 \\ 0 \end{bmatrix} = \begin{bmatrix} R_a + pL_a + p^{-1}/C & 0 & pM_a & 0 \\ 0 & R_p + pL_p & 0 & pM_p \\ pM_a & n\omega_m M_p & R_r + pL_r & n\omega_m L_r \\ -n\omega_m M_a & pM_p & -n\omega_m L_r & R_r + pL_r \end{bmatrix} \begin{bmatrix} i_a \\ i_p \\ i_d \\ i_q \end{bmatrix} \quad (2.10)$$

Estas relações estabelecem um modelo para o motor monofásico de indução a capacitor, o qual abrange todas as condições de funcionamento, desde o regime permanente com alimentação senoidal, até o regime transitório sob qualquer tipo de alimentação.

#### 2.4 - Modelo para regime permanente com alimentação senoidal

O modelo para regime permanente senoidal é obtido através da particularização do modelo transitório, dado pela equação (2.10). Neste caso, são válidas as mesmas considerações do item (1.11), onde:

$$p = j\omega \quad (2.11)$$

$$p^{-1} = -j/\omega \quad (2.12)$$

$$n \omega_m = \omega(1-s) \quad (2.13)$$

$X_a, X_p, X_r, X_{ma}, X_{mp}$  e  $X_c$  são as reatâncias correspondentes às indutâncias  $L_a, L_p, L_r, M_a, M_p$  e à capacitância  $C$ .

Assim, a equação (2.10) é substituída pela equação (2.14), onde  $V, I_a, I_p, I_d$  e  $I_q$  são os fasores correspondentes às variáveis instantâneas senoidais  $v, i_a, i_p, i_d$  e  $i_q$ , respectivamente.

$$\begin{bmatrix} V \\ V \\ 0 \\ 0 \end{bmatrix} = \begin{bmatrix} R_a + j(X_a - X_c) & 0 & jX_{ma} & 0 \\ 0 & R_p + jX_p & 0 & jX_{mp} \\ jX_{ma} & (1-s)X_{mp} & R_r + jX_r & (1-s)X_r \\ -(1-s)X_{ma} & jX_{mp} & -(1-s)X_r & R_r + jX_r \end{bmatrix} \begin{bmatrix} I_a \\ I_p \\ I_d \\ I_q \end{bmatrix} \quad (2.14)$$

A equação (2.14) é do tipo  $V = ZI$ , onde, a matriz impedância "Z", depende: dos parâmetros da máquina, capacitor, velocidade do eixo e frequência de alimentação. Estes fatores e a tensão aplicada definem as correntes, fluxos e torques desenvolvidos no motor.

Para se encontrar as expressões das correntes é necessário inverter a matriz impedância "Z". Este processo é dispendioso em tempo e espaço para representação das expressões finais. No item seguinte (2.5), esta inversão é realizada por etapas, permitindo apresentar um processo de cálculo das correntes através de expressões fasoriais.

## 2.5 - Expressões fasoriais das correntes

Através da equação (2.14), tem-se:

$$V = (R_a + jX_{ac})I_a + jX_{ma}I_d \quad (2.15)$$

$$V = (R_p + jX_p)I_p + jX_{mp}I_q \quad (2.16)$$

$$0 = jX_{ma} I_a + (1-s)X_{mp} I_p + (R_r + jX_r) I_d + (1-s)X_r I_q \quad (2.17)$$

$$0 = -(1-s)X_{ma} I_a + jX_{mp} I_p - (1-s)X_r I_d + (R_r + jX_r) I_q \quad (2.18)$$

onde:

$$X_{ac} = X_a - X_c \quad (2.19)$$

Isolando-se  $I_d$  na equação (2.15), tem-se:

$$I_d = -\frac{j}{X_{ma}} V - \frac{(X_{ac} - jR_a)}{X_{ma}} I_a \quad (2.20)$$

Isolando-se  $I_q$  na equação (2.16), tem-se:

$$I_q = -\frac{j}{X_{mp}} V - \frac{(X_p - jR_p)}{X_{mp}} I_p \quad (2.21)$$

Substituindo-se  $I_d$  e  $I_q$ , equações (2.15) e (2.16), nas equações (2.17) e (2.18), obtém-se um sistema de duas equações e duas incógnitas,  $I_a$  e  $I_p$ , dado pelas equações (2.22.a) e (2.22.b).

$$V \left[ \frac{Z_a}{X_{ma}} + \frac{(1-s)X_r}{X_{mp}} \right] = \left[ X_{ma} + \frac{Z_r Z_a}{X_{ma}} \right] I_a + \left[ (1-s) \left( -jX_{mp} + \frac{X_r Z_p}{X_{mp}} \right) \right] I_p \quad (2.22.a)$$

$$V \left[ \frac{Z_r}{X_{mp}} - \frac{(1-s)X_r}{X_{ma}} \right] = \left[ -(1-s) \left( -jX_{ma} + \frac{X_r Z_a}{X_{ma}} \right) \right] I_a + \left[ X_{mp} + \frac{Z_r Z_p}{X_{mp}} \right] I_p \quad (2.22.b)$$

onde:

$$Z_a = R_a + j(X_a - X_c) \quad (2.23)$$

$$Z_p = R_p + jX_p \quad (2.24)$$

$$Z_r = R_r + jX_r \quad (2.25)$$

Verifica-se que as equações (2.22.a) e (2.22.b) são do tipo:

$$VA = BI_a + CI_p \quad (2.26.a)$$

$$VD = EI_a + FI_p \quad (2.26.b)$$

Assim,

$$I_a = \frac{FA - CD}{BF - CE} V \quad (2.27)$$

$$I_p = \frac{BD - AE}{BF - CE} V \quad (2.28)$$

Através das equações (2.22.a) e (2.22.b), obtem-se:

$$I_a = \frac{X_{ma} X_{mp} Z_1 + X_{mp}^2 Z_2 + Z_p Z_3}{X_{ma}^2 X_{mp}^2 + (X_{ma}^2 Z_p + X_{mp}^2 Z_a) Z_2 + Z_a Z_p Z_3} V \quad (2.29)$$

$$I_p = \frac{-X_{ma} X_{mp} Z_1 + X_{ma} Z_2 + Z_a Z_3}{X_{ma}^2 X_{mp}^2 + (X_{ma}^2 Z_p + X_{mp}^2 Z_a) Z_2 + Z_a Z_p Z_3} V \quad (2.30)$$

onde:

$$Z_1 = j \left[ (1-s) \frac{R_s}{s(2-s)} \right] \quad (2.31)$$

$$Z_2 = \left[ \frac{R_r}{s(2-s)} \right] + j X_r \quad (2.32)$$

$$Z_3 = \left[ R_r \frac{R_r}{s(2-s)} - X_r^2 \right] + j \left[ 2 \frac{R_r}{s(2-s)} X_r \right] \quad (2.33)$$

A corrente total ( $I_s$ ) é a soma das correntes  $I_a$  e  $I_p$ , assim, somando-se as expressões (2.29) e (2.30), tem-se:

$$I_s = \frac{(X_{ma}^2 + X_{mp}^2)Z_2 + (Z_a + Z_p)Z_3}{X_{ma}^2 X_{mp}^2 + (X_{ma}^2 Z_p + X_{mp}^2 Z_a)Z_2 + Z_a Z_p Z_3} V \quad (2.34)$$

Após os cálculos de  $I_a$  e  $I_p$ , pode-se calcular as correntes  $I_d$  e  $I_q$ , através das expressões (2.35) e (2.36), obtidas a partir das expressões (2.20) e (2.21). Assim, tem-se:

$$I_d = \frac{V - Z_a I_a}{j X_{ma}} \quad (2.35)$$

$$I_q = \frac{V - Z_p I_p}{j X_{mp}} \quad (2.36)$$

Nas expressões das correntes  $I_a$  e  $I_p$ , (2.29) e (2.30), nota-se que:

- são análogas, trocando apenas os índices "a" e "p". A única exceção é para o sinal de  $Z_1$ , o qual é negativo na expressão de  $I_p$ .

- apenas os parâmetros fasoriais  $Z_1, Z_2$  e  $Z_3$  são funções do rotor e da velocidade do eixo.

- o termo  $Z_1$  não aparece na expressão de  $I_s$  (2.34). Isto indica que  $Z$  representa a impedância de uma malha fechada, formada pelos enrolamentos auxiliar e principal.

- o termo " $R_r/s(2-s)$ " é comum aos três parâmetros fasoriais  $Z_1, Z_2$  e  $Z_3$ .

Após a obtenção das correntes fasoriais, calcula-se os fluxos e torques através das expressões apresentadas nos próximos itens, (2.6) e (2.7).

## 2.6 - Expressões dos fluxos (máximos)

As expressões dos fluxos são obtidas diretamente da expressão (1.24) do item (1.8) do capítulo 1. Assim, tem-se:

$$\phi_a = (L_a I_a + M_a I_d) \sqrt{2} \quad (2.37)$$

$$\phi_p = (L_p I_p + M_p I_q) \sqrt{2} \quad (2.38)$$

## 2.7 - Expressões dos torques

As expressões do torque instantâneo ( $T_{ins}$ ) e do torque médio ( $T_m$ ) são obtidas diretamente das expressões (1.26) e (1.38), relacionadas no capítulo 1.

Assim, tem-se:

$$T_{ins} = n(M_{p p d} i_p i_d - M_{a a q} i_a i_q) \quad (2.39)$$

$$T_m = nR_e \{M_{p p d} I_p I_d^* - M_{a a q} I_a I_q^*\} \quad (2.40)$$

## 2.8 - Conclusões

As expressões das correntes, fluxos e torques, apresentadas neste capítulo, são extensas e de difícil emprego analítico. Com auxílio de programas computacionais, pode-se analisar o comportamento destas grandezas nas diversas situações impostas ao motor. Isto é realizado nos capítulos a seguir.

As correntes são diretamente proporcionais à tensão quando se mantém a frequência de alimentação, velocidade do eixo e capacitor. Observando então, as expressões de fluxo, item (2.6), e torques, item (2.7), verifica-se que:

$$\phi = K_\phi V \quad (2.41)$$

$$T = K_t V^2 \quad (2.42)$$

onde, para a mesma máquina,  $K_\phi$  e  $K_t$  dependem da frequência de alimentação, velocidade do eixo, capacitor e nível de saturação (valor do fluxo).

## C A P Í T U L O 3

### ANÁLISE DA INFLUÊNCIA DO CAPACITOR EM REGIME PERMANENTE, ALIMENTAÇÃO SENOIDAL E FREQUÊNCIA CONSTANTE

#### 3.1 - Introdução

O objetivo deste capítulo é apresentar uma análise do comportamento do motor a capacitor em regime permanente senoidal, quando se varia a velocidade do eixo. Isto é realizado para diversos valores de capacitores, mantendo-se a tensão e frequência nominais.

Os cálculos são realizados através das expressões do capítulo 2 e emprego do programa computacional do apêndice C-1.

O motor simulado é descrito no item (3.2).

Para esta análise são apresentadas as características de torque e correntes, item (3.3).

#### 3.2 - Parâmetros do motor

Para as simulações dos capítulos 3,4,5,6,7 e 8 são utilizados os parâmetros do motor simulado na referência | 2 |, apresentado a seguir:

Dados de placa

Potência = 0,5 c.v

Tensão de Alimentação = 220/110 volts

Corrente Nominal = 4,5/9 ampères

Frequência de Alimentação = 60Hz

Classe de Isolação = A

Velocidade Nominal = 1725 RPM

Fator de Serviço = 1,25

Categoria = N

Quando interligado para 220V e alimentado em 60Hz, são obtidos os seguintes parâmetros:

$$R_p = 3,448 \Omega$$

$$R_r = 3,564 \Omega$$

$$X_p = X_r = 123,77 \Omega$$

$$X_{mp} = 117,56 \Omega$$

Para o enrolamento auxiliar são consideradas as relações abaixo:

$$R_a = a^2 R_p$$

$$X_a = a^2 X_p$$

$$X_{ma} = a X_{mp}$$

onde, "a" é a relação de espiras entre o enrolamento auxiliar e enrolamento principal. Assim, obtém-se:

$$a = 1,5 \text{ (consideração do item 2.2)}$$

$$R_a = 7,750 \Omega$$

$$X_a = 278,48 \Omega$$

$$X_{ma} = 176,34 \Omega$$

Ainda são calculados:

Torque Nominal = 2,03 N.m

Frequência Rotórica Nominal = 2,5 Hz

### 3.3 - Apresentação das características de torque e correntes

As curvas apresentadas nas figuras 3.1, 3.2, 3.3 e 3.4 são obtidas através das expressões estabelecidas no capítulo 2 e com o emprego do programa computacional apresentado no apêndice C-1.

Na análise, a tensão de alimentação é mantida constante no valor de 220 v e frequência de 60 Hz.

São adotados valores de capacitância variando de zero a infinito.

São estabelecidas as correntes principal, auxiliar e total e o torque médio em função da velocidade.

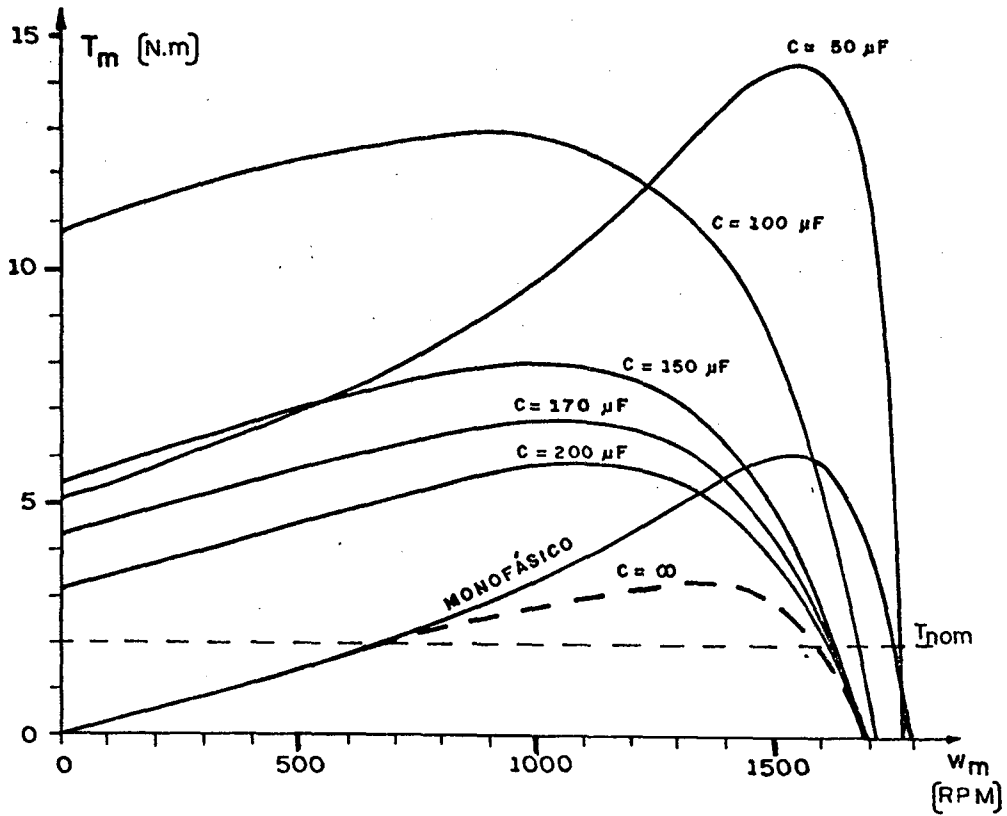


Figura 3.1 - Características torque-velocidade, para vários capacitores, tensão 220 V e frequência 60 Hz.

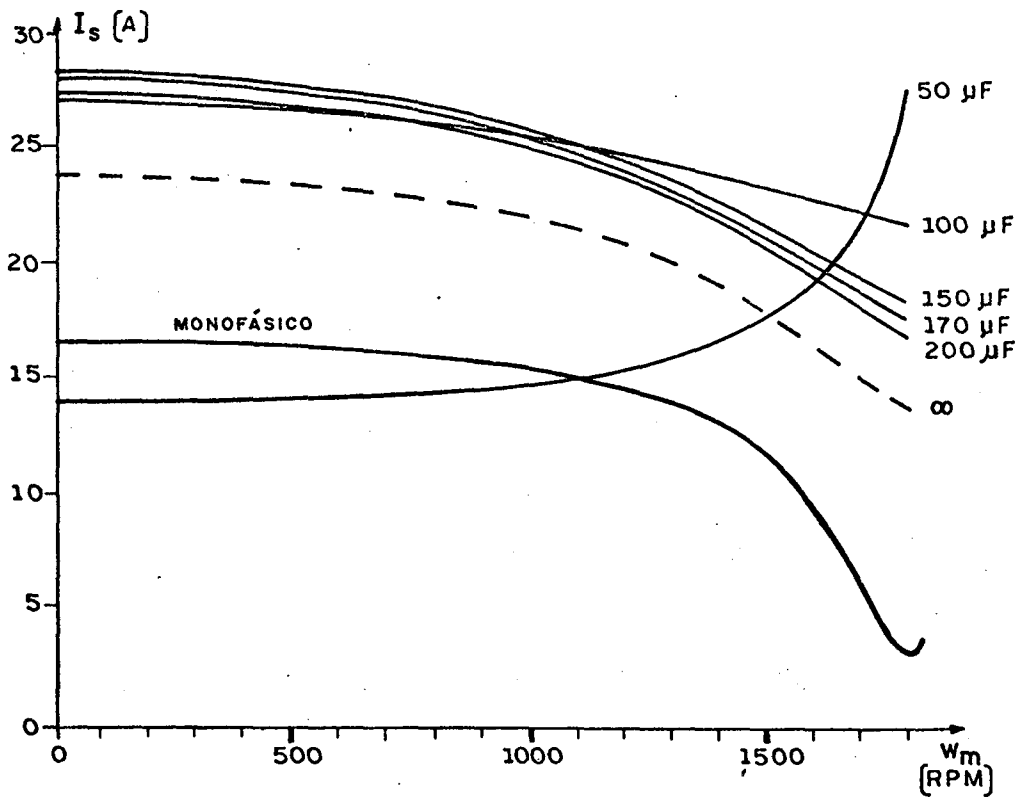


Figura 3.2 - Características corrente total-velocidade para vários capacitores, tensão 220 V e frequência 60 Hz.

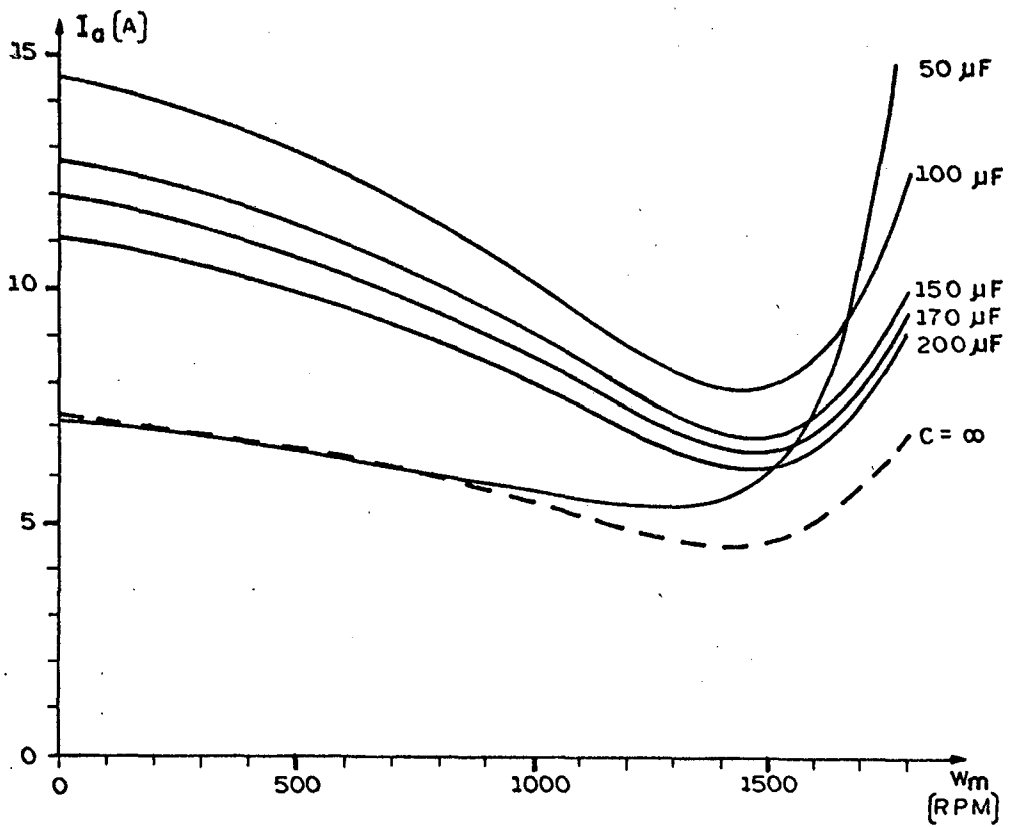


Figura 3.3 - Características corrente auxiliar-velocidade, para vários capacitores, tensão 220 V e frequência 60 Hz.

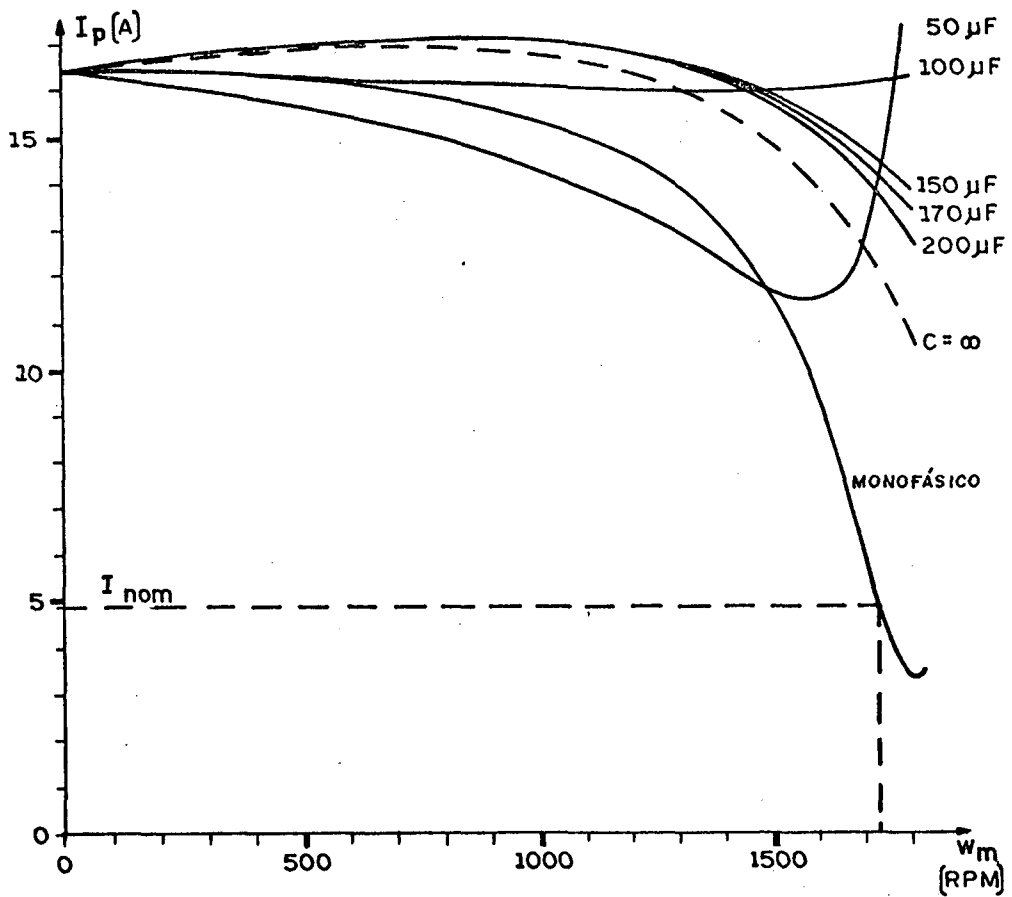


Figura 3.4 - Características corrente principal-velocidade, para vários capacitores, tensão 220 V e frequência 60 Hz.

### 3.4 - Conclusões

A presença do capacitor no enrolamento auxiliar proporciona um torque de partida não nulo, o que não acontece quando  $C = 0$ , isto é, ligação monofásica.

O valor do torque de partida varia com o capacitor e possui um máximo quando  $C$  está entre 50 e 150  $\mu\text{F}$ .

Para o capacitor de 100  $\mu\text{F}$ , o qual está na faixa da conclusão anterior, a corrente  $I_p$  quase não varia com a velocidade. Para os demais capacitores, as correntes não diminuem tanto quanto para o monofásico, quando a velocidade aumenta.

Para frequência rotórica nula, existe um valor de capacitor, menor do que 100  $\mu\text{F}$ , em que as correntes  $I_s$ ,  $I_a$  e  $I_p$  são máximas.

O capacitor não influencia na corrente de partida do enrolamento principal.

## C A P Í T U L O 4

ESTUDO DA INFLUÊNCIA DO CAPACITOR EM REGIME PERMANENTE,  
ALIMENTAÇÃO SENOIDAL, FREQUÊNCIA VARIÁVEL DE 10 Hz a 60Hz,  
RELAÇÃO TENSÃO-FREQUÊNCIA CONSTANTE

### 4.1 - Introdução

O objetivo deste capítulo é apresentar uma análise do comportamento do motor a capacitor em regime permanente senoidal, quando se varia a velocidade do rotor. Isto é realizado para diversos valores de capacitores e frequência de alimentação.

A cada frequência, a tensão é recalculada de maneira que a relação tensão-frequência seja mantida constante.

Os cálculos são realizados através das expressões do capítulo 2 e emprego do programa computacional do apêndice C-1.

O motor simulado é descrito no item (3.2) sendo suas reatâncias recalculadas a cada frequência.

Para esta análise são apresentadas as características de torque do motor.

### 4.2 - Apresentação das características de torque

As curvas apresentadas nas figuras 4.1, 4.2, 4.3, 4.4 e 4.5 são obtidas através das expressões estabelecidas no capítulo 2 e com o emprego do programa computacional apresentado no apêndice

dice C-1.

Em cada gráfico são superpostas curvas para diversas frequências de alimentação. A relação tensão-frequência é mantida constante e nominal. Assim, a tensão de alimentação para cada curva é dada por:

$$V = \frac{220}{60} f_a$$

onde:

$f_a$  - frequência de alimentação

$V$  - tensão eficaz de alimentação.

São adotados valores de capacitância variando de zero a duzentos micro-Farad.

São estabelecidos os torques em função da velocidade do rotor.

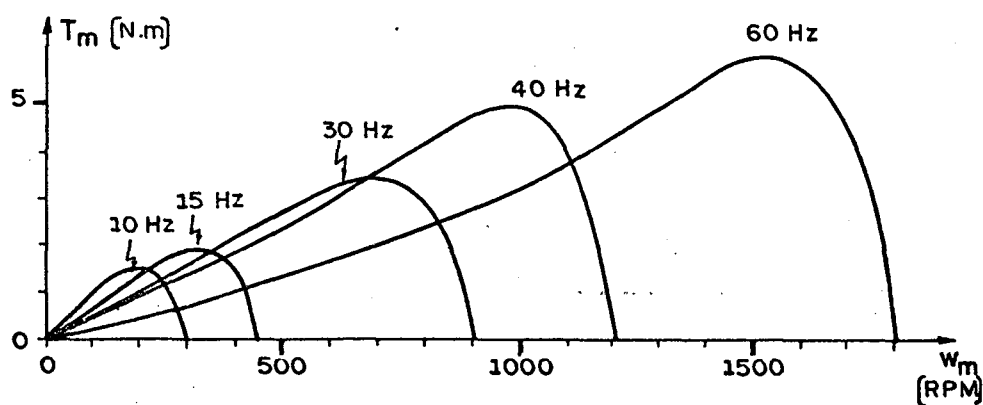


Figura 4.1 - Característica torque-velocidade para várias frequências de alimentação.  $V/f$  nominal, capacitor nulo (monofásico).

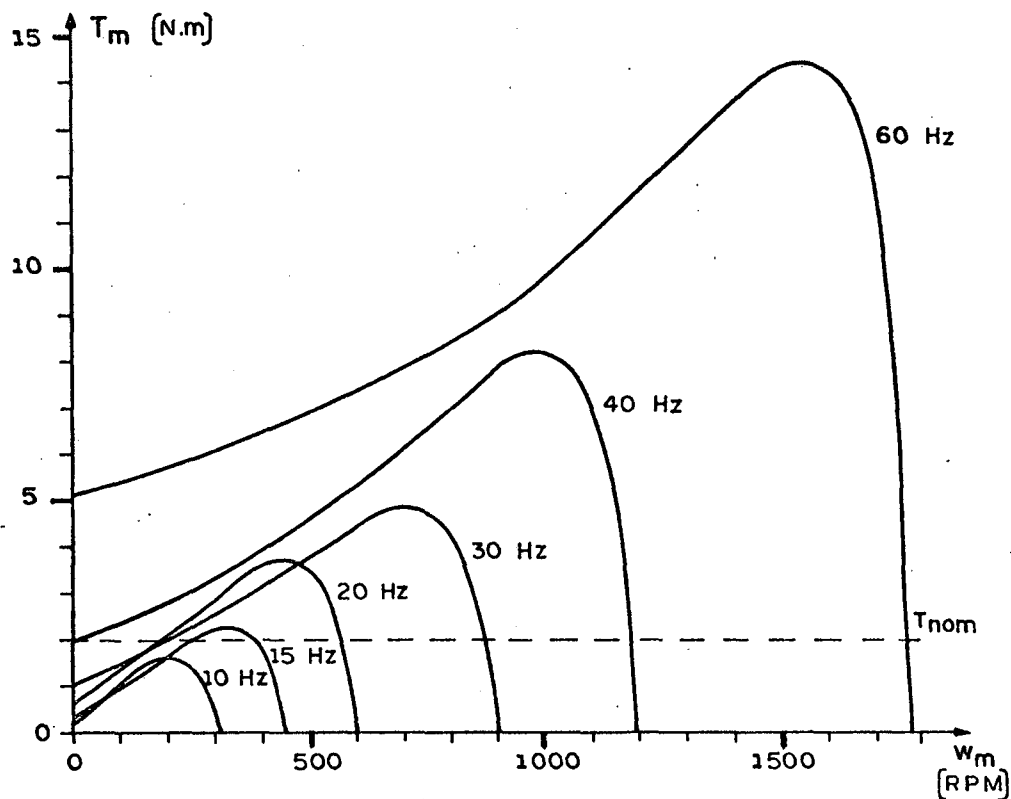


Figura 4.2 - Características torque-velocidade, para várias frequências de alimentação. V/f nominal, capacitor de 50  $\mu$ F.

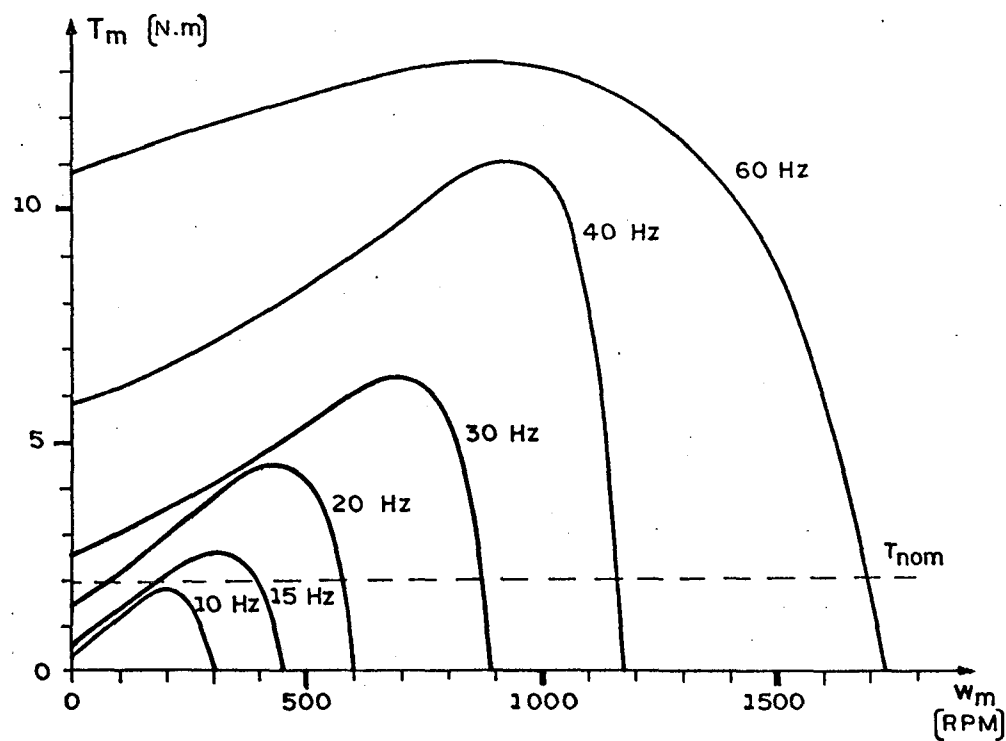


Figura 4.3 - Características torque-velocidade, para várias frequências de alimentação. V/f nominal, capacitor de 100  $\mu$ F.

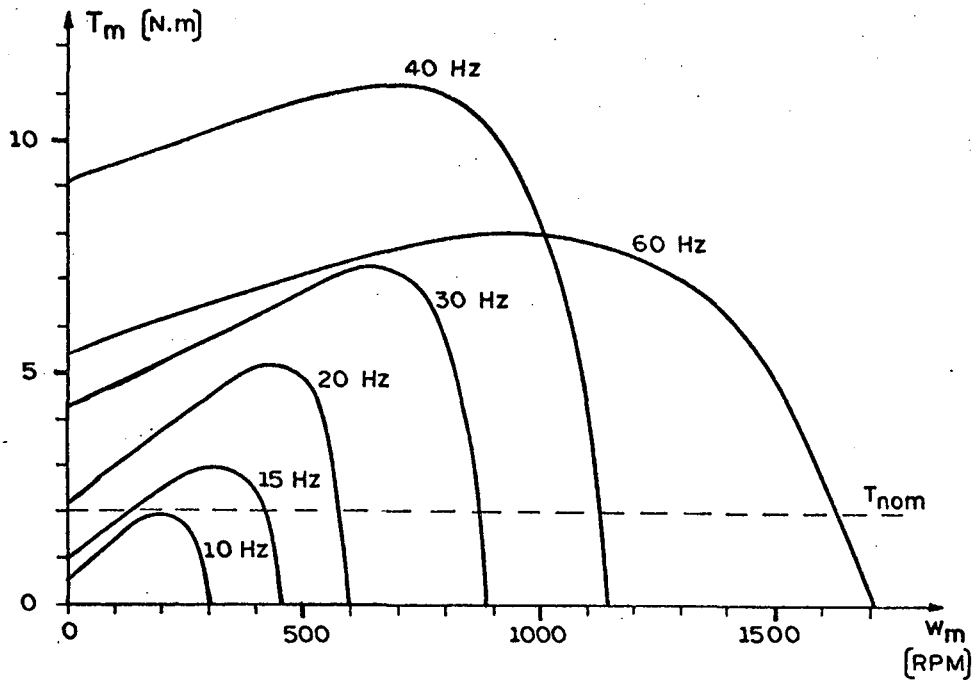


Figura 4.4 - Características torque-velocidade, para várias freqüências de alimentação. V/f nominal, capacitor de 150  $\mu$ F.

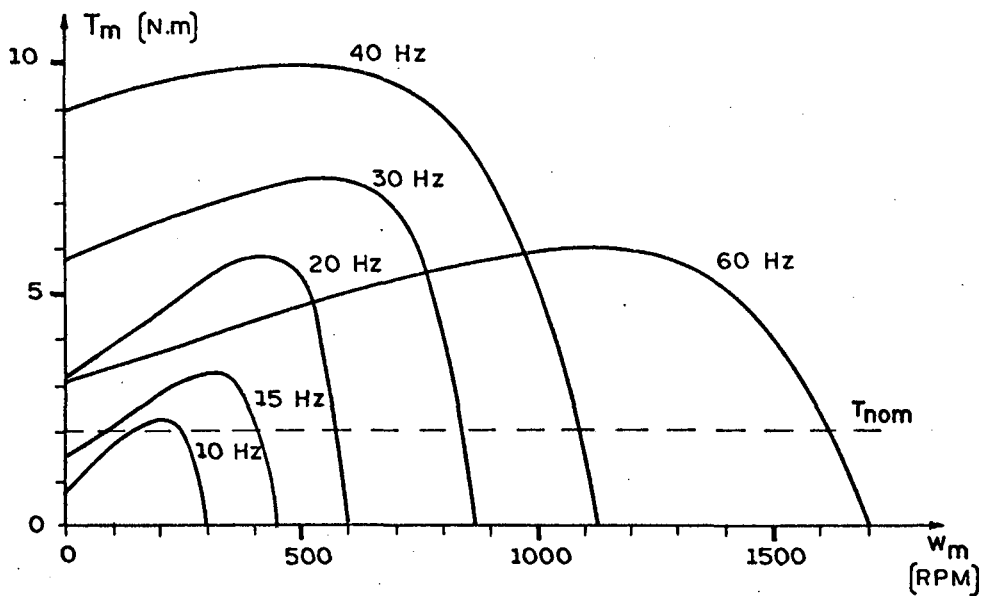


Figura 4.5 - Características torque-velocidade, para várias freqüências de alimentação. V/f nominal, capacitor de 200  $\mu$ F.

### 4.3 - Conclusões

- a) Para cada frequência de alimentação, há um valor de capacitor em que o torque com o rotor travado é máximo. Este valor de capacitor é referenciado como "capacitor ótimo".
- b) A medida que se varia o valor do capacitor, o torque máximo da característica ocorre em frequências rotóricas diferentes.
- c) Para cada valor do capacitor, existe uma frequência de alimentação que maximiza o torque máximo da característica.

## C A P Í T U L O 5

### ANÁLISE DA INFLUÊNCIA DO CAPACITOR EM REGIME PERMANENTE, ALIMENTAÇÃO SENOIDAL, FREQUÊNCIA VARIÁVEL DE 1 Hz a 10Hz, RELAÇÃO TENSÃO-FREQUÊNCIA CONSTANTE

#### 5.1 - Introdução

O objetivo deste capítulo é apresentar uma análise do comportamento do motor nas mesmas condições impostas no capítulo 4, item (4.1), porém com frequências menores, compreendidas entre 1 Hz e 10 Hz.

Para esta análise, são apresentadas as características de torque, correntes e fluxo.

#### 5.2 - Apresentação das características de torque, correntes e fluxo

As curvas apresentadas nas figuras 5.1 a 5.9 são obtidas através das expressões estabelecidas no capítulo 2 e com o emprego do programa computacional apresentado no apêndice C-1.

Em cada gráfico, são superpostas curvas para diversas frequências de alimentação. A relação tensão-frequência é mantida constante e nominal.

São adotados valores de capacitâncias variando de zero a quinhentos micro-Farad.

São estabelecidos o torque, a corrente total e o fluxo principal em função da velocidade.

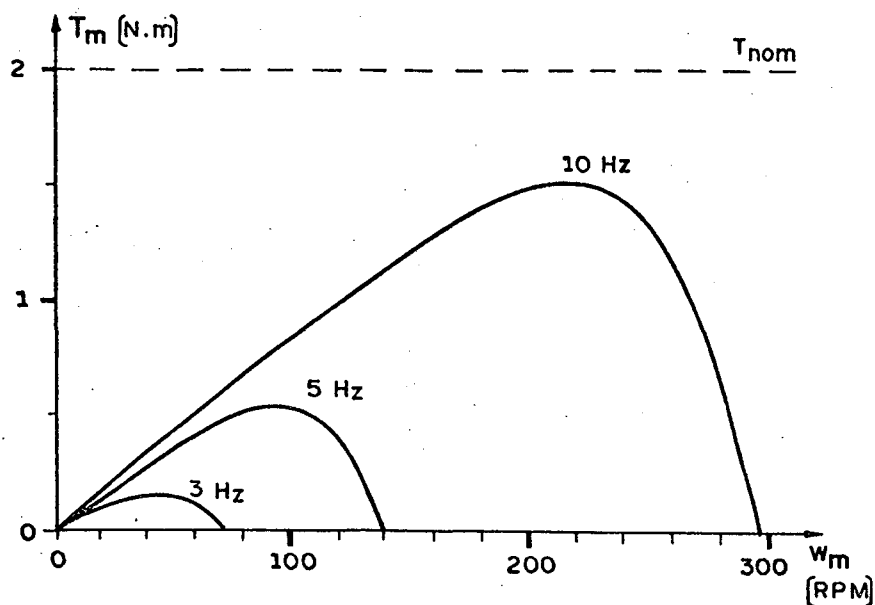


Figura 5.1 - Características torque-velocidade, para várias frequências de alimentação. V/f nominal, capacitor nulo.

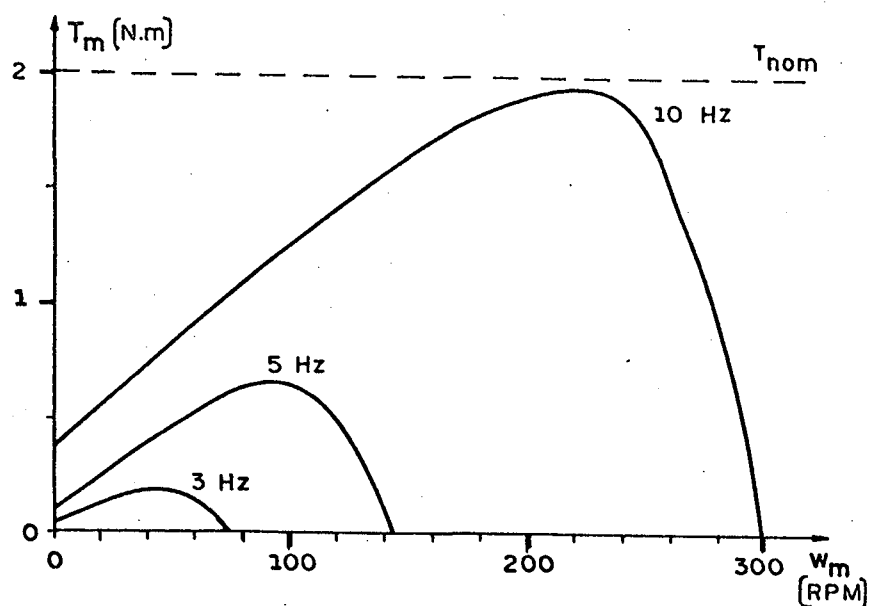


Figura 5.2 - Características torque-velocidade, para várias frequências de alimentação. V/f nominal, capacitor de 100  $\mu$ F.

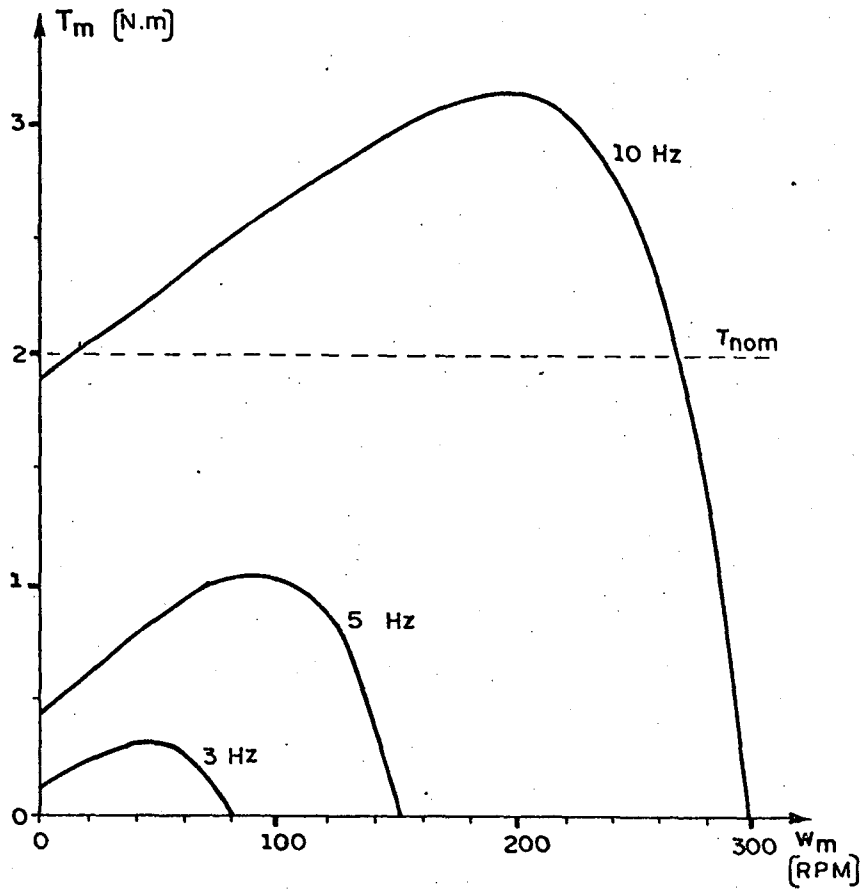


Figura 5.3 - Características torque-velocidade, para várias frequências de alimentação. V/f nominal, capacitor de 500  $\mu$ F.

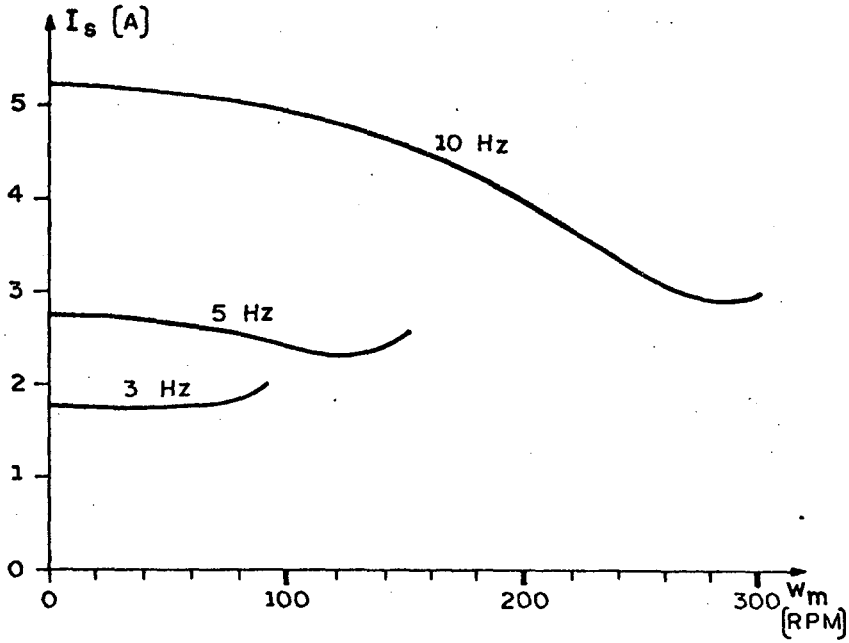


Figura 5.4 - Características corrente total-velocidade, para várias frequências de alimentação. V/f nominal, capacitor nulo.

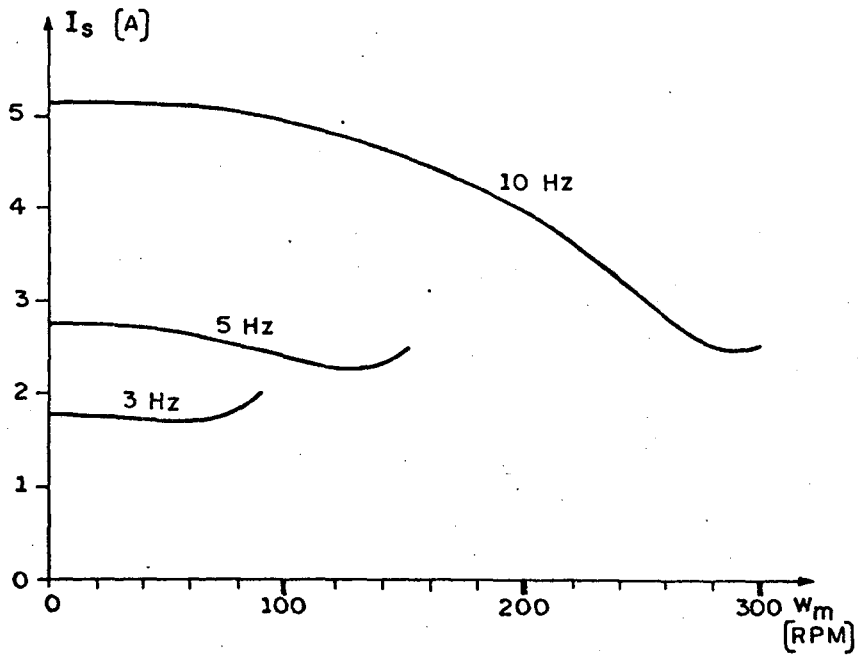


Figura 5.5 - Características corrente total-velocidade para várias frequências de alimentação. V/f nominal, capacitor de 100  $\mu$ F.

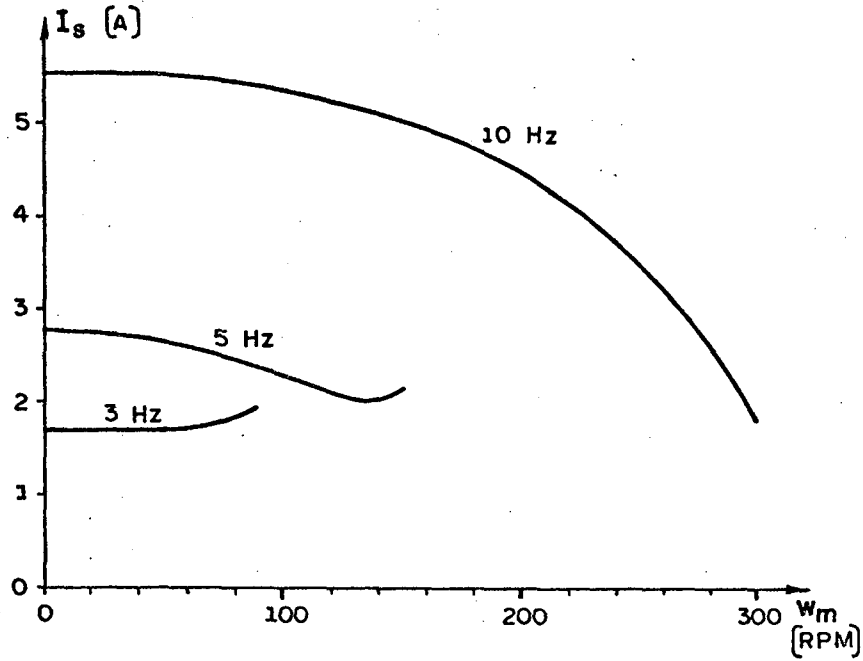


Figura 5.6 - Características corrente total-velocidade, para várias frequências de alimentação. V/f nominal, capacitor de 500  $\mu$ F.

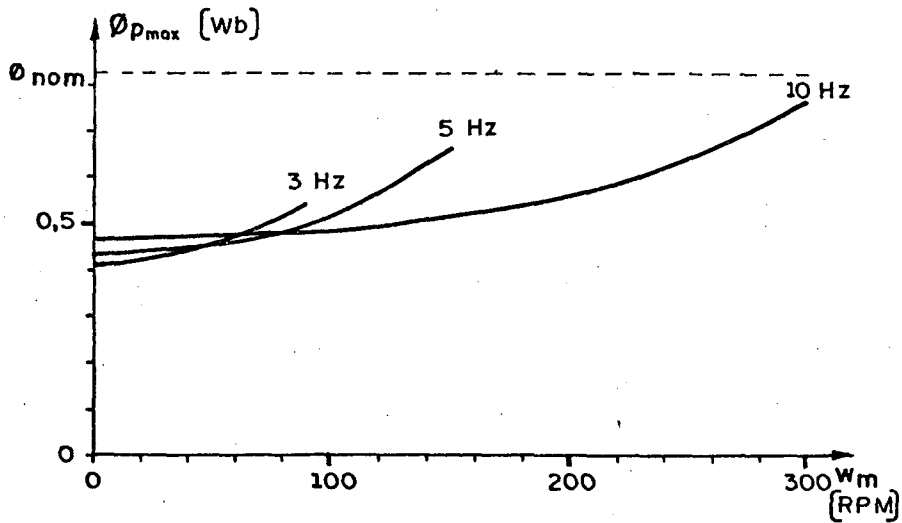


Figura 5.7 - Características fluxo principal-velocidade, para várias frequências de alimentação. V/f nominal, capacitor nulo.

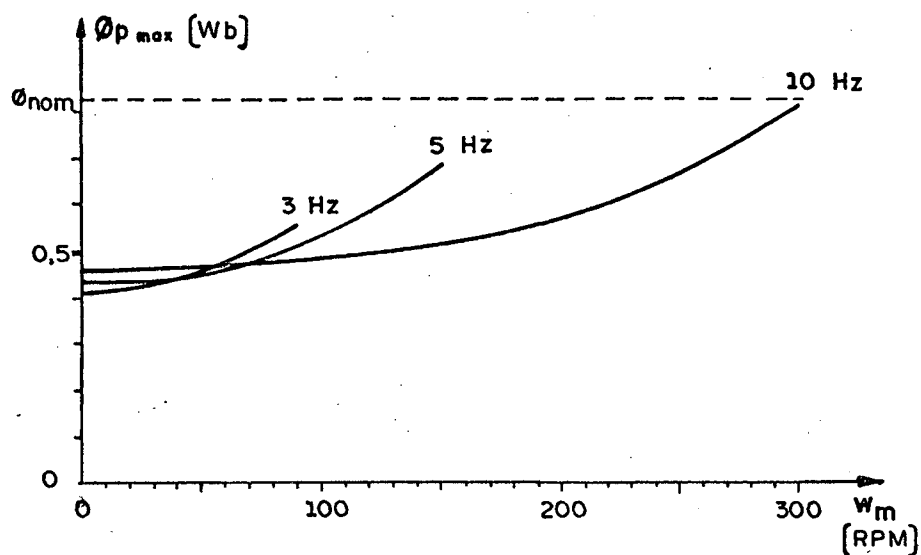


Figura 5.8 - Características fluxo principal-velocidade, para várias frequências de alimentação. V/f nominal, capacitor de 100  $\mu\text{F}$ .

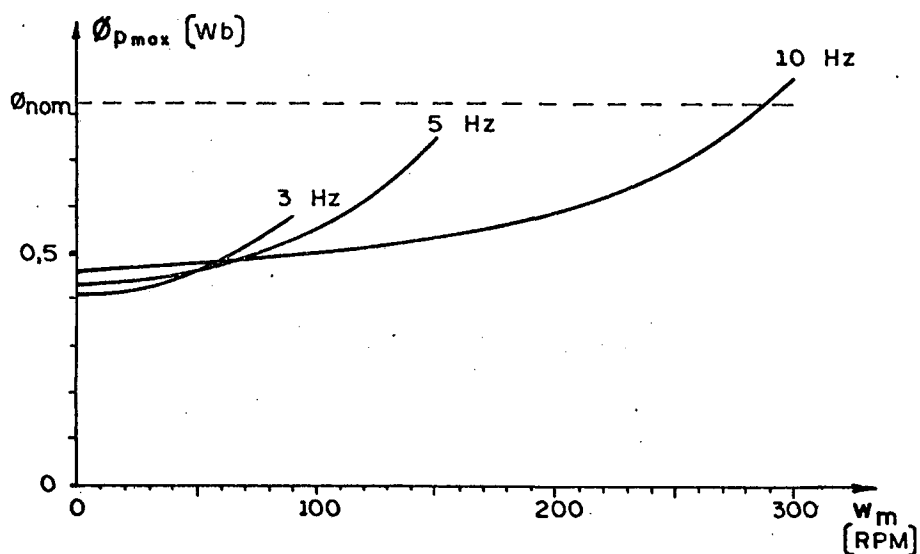


Figura 5.9 - Características fluxo principal-velocidade, para várias frequências de alimentação. V/f nominal, capacitor 500  $\mu\text{F}$ .

### 5.3 - Conclusões

Para frequências abaixo de 10Hz e capacitores normais, menores do que 500  $\mu$ F, verifica-se que:

- a) o torque máximo da característica, para um dado capacitor, é extremamente sensível à frequência de alimentação. Quando a frequência aumenta o torque máximo aumenta.
- b) o torque máximo e o torque de partida, aumentam tanto com o aumento do capacitor como com o aumento da frequência de alimentação.
- c) a corrente total do estator, para uma dada frequência de alimentação, quase não varia com o capacitor, principalmente para maiores frequências rotóricas e menores frequências de alimentação.
- d) para uma dada frequência de alimentação, o fluxo é bastante sensível à velocidade, sobretudo em baixas frequências estatóricas. O fluxo aumenta com a diminuição da carga.

O comportamento do torque para velocidade nula será estudado em maiores detalhes no capítulo 6.

## CAPÍTULO 6

### ESTUDO E ANÁLISE DO MOTOR MONOFÁSICO DE INDUÇÃO A CAPACITOR COM VELOCIDADE NULA, ALIMENTAÇÃO SENOIDAL E REGIME PERMANENTE

#### 6.1 - Introdução

O objetivo deste capítulo é obter as expressões que determinam o capacitor ótimo para a partida, como também, as de mais grandezas elétricas para esta situação particular.

#### 6.2 - Considerações

Visto que o transitório elétrico é bem mais rápido que o transitório mecânico, o dimensionamento do capacitor de partida é feito, considerando-se o regime permanente.

Os parâmetros do enrolamento principal e do enrolamento auxiliar, na maioria dos motores monofásicos a capacitor, apresentam as seguintes relações:

$$R_a = a^2 R_p \quad (6.1.a)$$

$$X_a = a^2 X_p \quad (6.1.b)$$

$$X_{ma} = a X_{mp} \quad (6.1.c)$$

onde, "a" é a relação entre os números de espiras dos enrolamentos auxiliar e principal.

### 6.3 - Relações para velocidade nula

Para a velocidade mecânica nula, o escorregamento é unitário e portanto, da equação (2.14), tem-se:

$$\vec{V} = (R_a + j(X_a - X_c))\vec{I}_a + jX_{ma}\vec{I}_d \quad (6.2)$$

$$\vec{V} = (R_p + jX_p)\vec{I}_p + jX_{mp}\vec{I}_q \quad (6.3)$$

$$0 = jX_{ma}\vec{I}_a + (R_r + jX_r)\vec{I}_d \quad (6.4)$$

$$0 = jX_{mp}\vec{I}_p + (R_r + jX_r)\vec{I}_q \quad (6.5)$$

Isolando-se  $\vec{I}_d$  na equação (6.4) e substituindo na equação (6.1), tem-se:

$$\vec{V} = \left\{ (R_a + j(X_a - X_c)) + \frac{X_{ma}^2}{(R_r + jX_r)} \right\} \vec{I}_a \quad (6.6)$$

Isolando-se  $\vec{I}_a$  na equação (6.4) e substituindo na equação (6.2), tem-se:

$$\vec{V} = \left\{ -\frac{(R_a + j(X_a - X_c))(R_r + jX_r)}{jX_{ma}} + jX_{ma} \right\} \vec{I}_d \quad (6.7)$$

Analogamente, combinando-se as equações (6.3)e(6.5),

tem-se:

$$\vec{V} = \left\{ (R_r + jX_p) + \frac{X_{mp}^2}{(R_r + jX_r)} \right\} \vec{I}_p \quad (6.8)$$

$$\vec{V} = \left\{ -\frac{(R_p + jX_p)(R_r + jX_r)}{jX_{mp}} + jX_{mp} \right\} \vec{I}_q \quad (6.9)$$

Isolando-se  $\vec{I}_a$  na equação (6.6), tem-se:

$$\vec{I}_a = \mathcal{R}_e \{ \vec{I}_a \} + j\mathcal{W}_m \{ \vec{I}_a \} \quad (6.10)$$

onde:

$$\mathcal{R}_e \{ \vec{I}_a \} = \left\{ \frac{R_a (R_r^2 + X_r^2) + R_r X_{ma}^2}{\left[ (R_a R_r - (X_a - X_c) X_r + X_{ma}^2)^2 + (R_a X_r + R_r (X_a - X_c))^2 \right]} \right\} V$$

$$\mathcal{W}_m \{ \vec{I}_a \} = \left\{ \frac{-(X_a - X_c) (R_r^2 + X_r^2) + X_r X_{ma}^2}{\left[ (R_a R_r - (X_a - X_c) X_r + X_{ma}^2)^2 + (R_a X_r + R_r (X_a - X_c))^2 \right]} \right\} V$$

Analogamente, isolando-se  $\vec{I}_p$  na equação (6.8),  $\vec{I}_d$  na equação (6.7) e  $\vec{I}_q$  na equação (6.9), tem-se:

$$\vec{I}_p = \mathcal{R}_e \{ \vec{I}_p \} + j\mathcal{W}_m \{ \vec{I}_p \} \quad (6.11)$$

Onde:

$$\Re_e \{\vec{I}_p\} = \left\{ \frac{R_p (R_r^2 + X_r^2) + R_r X_{mp}^2}{(R_p R_r - X_p X_r + X_{mp}^2)^2 + (R_p X_r + R_r X_p)^2} \right\} V$$

$$\Psi_m \{\vec{I}_p\} = \left\{ \frac{-X_p (R_r^2 + X_r^2) + X_r X_{mp}^2}{(R_p R_r - X_p X_r + X_{mp}^2)^2 + (R_p X_r + R_r X_p)^2} \right\} V$$

$$\vec{I}_d = \Re_e \{\vec{I}_d\} + j \Psi_m \{\vec{I}_d\} \quad (6.12)$$

onde:

$$\Re_e \{\vec{I}_d\} = \left\{ \frac{-X_{ma} (R_a X_r + R_r (X_a - X_c))}{(R_a R_r - (X_a - X_c) X_r + X_{ma}^2)^2 + (R_a X_r + R_r (X_a - X_c))^2} \right\} V$$

$$\Psi_m \{\vec{I}_d\} = \left\{ \frac{-X_{ma} (X_a - R_r - (X_a X_c) X_r + X_{ma}^2)}{(R_a R_r - (X_a X_c) X_r + X_{ma}^2)^2 + (R_a X_r + R_r (X_a - X_c))^2} \right\} V$$

$$\vec{I}_q = \Re_e \{\vec{I}_q\} + j \Psi_m \{\vec{I}_q\} \quad (6.13)$$

onde:

$$\Re_e \{\vec{I}_q\} = \left\{ \frac{-X_{mp} (R_p X_r + R_r X_p)}{(R_p R_r - X_p X_r + X_{mp}^2)^2 - (R_p X_r + R_r X_p)^2} \right\} V$$

$$\Psi_m \{\vec{I}_q\} = \left\{ \frac{-X_{mp} (R_p R_r - X_p X_r + X_{mp}^2)}{(R_p R_r - X_p X_r + X_{mp}^2)^2 - (R_p X_r + R_r X_p)^2} \right\} V$$

A expressão do torque médio (6.14) é obtida substituindo-se as expressões das correntes na expressão (2.40), onde:

$$T_m = n \mathcal{R}_e \{ M_p \vec{I}_p \vec{I}_d^* - M_a \vec{I}_a \vec{I}_q^* \} \quad (6.14)$$

mas:

$$\vec{I}_p = \mathcal{R}_e \{ \vec{I}_p \} + j \mathcal{Y}_m \{ \vec{I}_p \} \quad (6.15.a)$$

$$\vec{I}_a = \mathcal{R}_e \{ \vec{I}_a \} + j \mathcal{Y}_m \{ \vec{I}_a \} \quad (6.15.b)$$

$$\vec{I}_d^* = \mathcal{R}_e \{ \vec{I}_d \} - j \mathcal{Y}_m \{ \vec{I}_d \} \quad (6.15.c)$$

$$\vec{I}_q^* = \mathcal{R}_e \{ \vec{I}_q \} - j \mathcal{Y}_m \{ \vec{I}_q \} \quad (6.15.d)$$

então:

$$T_m = n \mathcal{R}_e \{ M_p (\mathcal{R}_e \vec{I}_p \mathcal{R}_e \vec{I}_d + \mathcal{Y}_m \vec{I}_p \mathcal{Y}_m \vec{I}_d) + j M_p (\mathcal{R}_e \vec{I}_d \mathcal{Y}_m \vec{I}_p - \mathcal{R}_e \vec{I}_p \mathcal{Y}_m \vec{I}_d) - \\ - M_a (\mathcal{R}_e \vec{I}_a \mathcal{R}_e \vec{I}_q + \mathcal{Y}_m \vec{I}_a \mathcal{Y}_m \vec{I}_q) - j M_a (\mathcal{R}_e \vec{I}_q \mathcal{Y}_m \vec{I}_a - \mathcal{R}_e \vec{I}_a \mathcal{Y}_m \vec{I}_q) \} \quad (6.16.a)$$

$$T_m = n \left( M_p (\mathcal{R}_e \vec{I}_p \mathcal{R}_e \vec{I}_d + \mathcal{Y}_m \vec{I}_p \mathcal{Y}_m \vec{I}_d) - M_a (\mathcal{R}_e \vec{I}_a \mathcal{R}_e \vec{I}_q + \mathcal{Y}_m \vec{I}_a \mathcal{Y}_m \vec{I}_q) \right) \quad (6.16.b)$$

Substituindo-se as expressões reais e imaginárias das correntes, encontra-se a expressão do torque (6.17), dada por

$$T_m = \frac{-2nM_a R_r X_{mp} V^2}{(R_p R_r - X_p X_r + X_{mp}^2) + (R_p X_r + R_r X_p)^2} \cdot \frac{NT}{DT} \quad (6.17)$$

onde:

$$\begin{aligned}
 NT = & (R_r^2 + X_r^2) (R_p (X_a - X_c) - R_a X_p) - R_r \left[ X_p X_{ma}^2 - (X_a - X_c) X_{mp}^2 \right] + \\
 & + X_r (X_{mp}^2 R_a - X_{ma}^2 R_p) \quad (6.18)
 \end{aligned}$$

$$DT = \left[ R_a R_r - (X_a - X_c) X_r + X_{ma}^2 \right]^2 + \left[ R_a X_r + R_r (X_a - X_c) \right]^2 \quad (6.19)$$

Considerando-se as relações (6.1.a), (6.1.b) e (6.1.c), a expressão de NT(6.18) é simplificada para (6.21):

$$NT = - \left( R_p (R_r^2 + X_r^2) + R_r X_{mp}^2 \right) X_c \quad (6.21)$$

assim, tem-se:

$$T_m = \frac{2n X_{mp} M_a R_r \left[ R_p (R_r^2 + X_r^2) + R_r X_{mp}^2 \right] V^2}{\left( R_p R_r - X_p X_r + X_{mp}^2 \right)^2 + \left( R_p X_r + R_r X_p \right)^2} \frac{X_c}{DT} \quad (6.22)$$

#### 6.4 - Otimização do capacitor de partida

Na equação (6.22), o torque de partida é dado por:

$$T_m = \frac{\left[ 2n X_{mp} M_a R_r \left[ R_p (R_r^2 + X_r^2) + R_r X_{mp}^2 \right] V^2 \right] F(X_c)}{\left( R_p R_r - X_p X_r + X_{mp}^2 \right)^2 + \left( R_p X_r + R_r X_p \right)^2} \quad (6.23)$$

onde:

$$F(X_c) = \frac{X_c}{\left[ R_a R_r - (X_a - X_c) X_r + X_{ma}^2 \right]^2 + \left[ R_a X_r + R_r (X_a - X_c) \right]^2} \quad (6.24)$$

Para se encontrar o valor de  $X_c$  que proporciona o máximo torque de partida, basta derivar a expressão do torque em relação a  $X_c$  e igualar este resultado a zero, isto é:

$$\frac{d(T_m)}{dX_c} = 0 \quad (6.25)$$

Mas, na expressão do torque (6.23), apenas o fator  $F(X_c)$  é função de  $X_c$ . Assim, a equação (6.25) é substituída pela equação (6.26), dada por:

$$\frac{d\{F(X_c)\}}{dX_c} = 0 \quad (6.26)$$

A expressão (6.26) permite encontrar a reatância que produz o máximo torque ( $X_{cTmax}$ ).

Para facilitar o desenvolvimento proposto, reescreve-se  $F(X_c)$ , sendo:

$$F(X_c) = \frac{X_c}{T_1 X_c^2 + T_2 X_c + T_3} \quad (6.27)$$

onde:

$$T_1 = (R_r^2 + X_r^2) / X_{ma}^2 \quad (6.28.a)$$

$$T_2 = 2(X_r - X_a T_1) \quad (6.28.b)$$

$$T_3 = (R_a^2 + X_a^2) T_1 + X_{ma}^2 + 2R_a R_r - X_a X_r \quad (6.28.c)$$

Assim, tem-se:

$$\frac{d(FX_c)}{dX_c} = \frac{T_1 X_c + T_2 X_c + T_3 - X_c (2T_1 X_c + T_2 X_c)}{(T_1 X_c^2 + T_2 X_c + T_3)^2} \quad (6.29)$$

Igualando-se  $dF(X_c)/dX_c$  a zero, tem-se:

$$X_c = \sqrt{T_3/T_1} \quad (6.30)$$

isto é,

$$X_{c(T\bar{m}\bar{x})} = \sqrt{R_a^2 + X_a^2 + \frac{X_{ma}^4}{R_r^2 + X_r^2} - 2X_{ma}^2 \left( \frac{X_a X_r - R_a R_r}{R_r^2 + X_r^2} \right)} \quad (6.31)$$

o capacitor é dado por:

$$C_{\text{ótimo}} = \frac{1}{\omega_a X_{c(T\bar{m}\bar{x})}} \quad (6.32)$$

### 6.5 - Apresentação das características de partida

As curvas a seguir são obtidas através das expressões definidas neste capítulo e auxílio do programa computacional do apêndice C-1. O motor simulado é apresentado no item (3.2).

Nas abscissas estão cotadas as frequências de alimentação ( $f_a$ ) em Hz. No mesmo gráfico são superpostas as seguintes curvas:

- capacitor ótimo
- torque para capacitor ótimo com a relação tensão-frequência constante.

Com o objetivo de se obter melhor escalonamento, são apresentados gráficos independente para as frequências de:

2,5 a 10 Hz (Figura 6.1)

10 a 60 Hz (Figura 6.2)

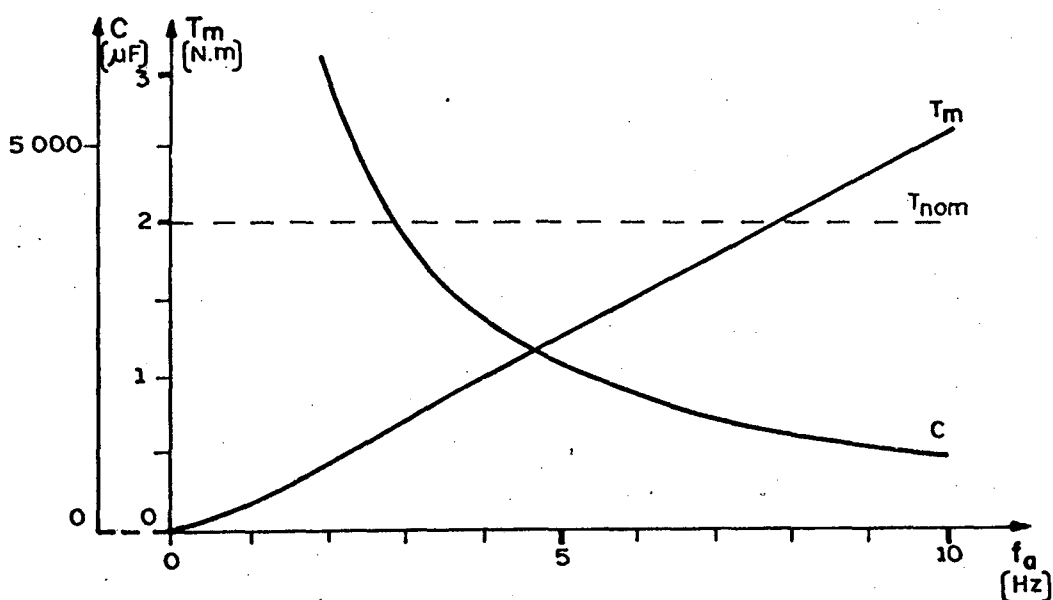


Figura 6.1 - Características de capacitor ótimo e torque em função da frequência de alimentação. Relação V/f nominal.

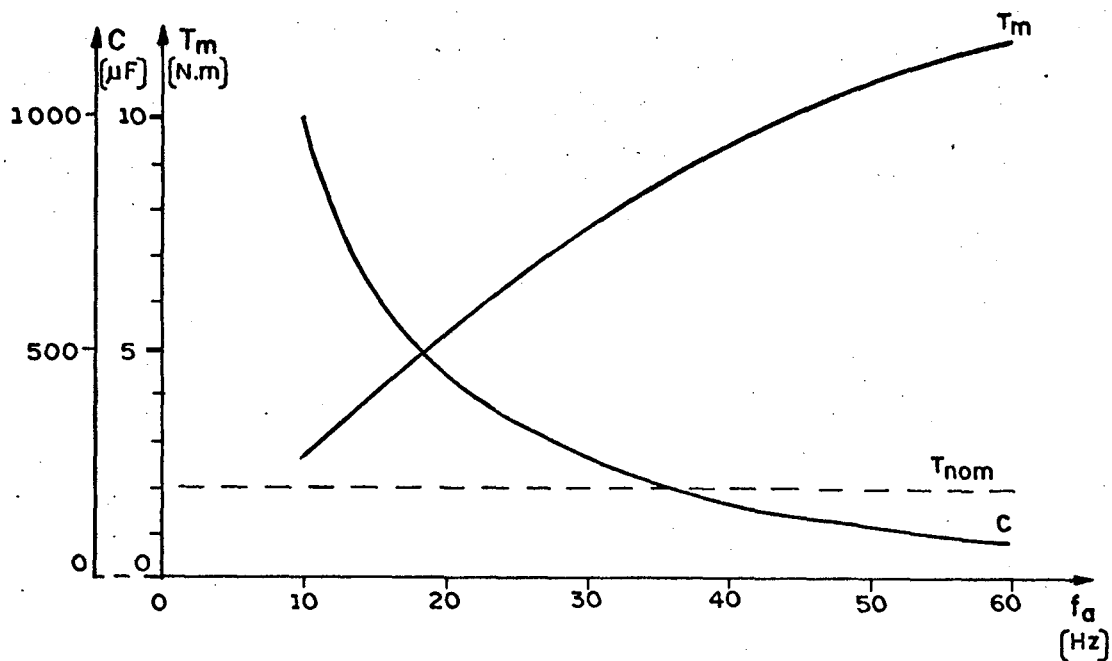


Figura 6.2 - Características de capacitor ótimo e torque em função da frequência de alimentação. Relação  $V/f$  nominal.

### 6.6 - Conclusões

O capacitor ótimo diminui, quase que inversamente proporcional, com o aumento da frequência de alimentação.

O torque para capacitor ótimo aumenta com a frequência de alimentação.

Para baixas frequências, o capacitor ótimo é muito elevado.

## C A P Í T U L O 7

## ESTUDO DA LEI TENSÃO-FREQUÊNCIA DE ALIMENTAÇÃO

7.1 - Introdução

Este capítulo estuda a lei tensão-frequência de ali mentação que mantem o fluxo do enrolamento principal constante. É considerado o regime permanente senoidal.

Mantendo-se o fluxo constante há um melhor aprovei tamento da máquina. Assim, evita-se a saturação e obtem-se maio res torques do motor.

7.2 - Considerações sobre fluxo e frequência do ro  
tor

Na região linear da curva de saturação, a tensão ne cessária para manter o fluxo constante depende da frequência de alimentação, velocidade do eixo e do capacitor. Esta conclusão é vista no item (2.8) do capítulo 2, expressão (2.41).

No estabelecimento das curvas tensão-frequência que mantêm o fluxo constante é interessante, para melhor interpreta ção, substituir o parâmetro "velocidade do eixo ( $\omega_m$ )" pela "fre<sup>q</sup>uência do rotor ( $f_r$ )". A relação entre estas grandezas é dada pe<sup>l</sup>a equação (7.1), onde:

$$f_r = f_a - \omega_m \frac{N_{pp}}{60} \quad (7.1)$$

sendo:

$f_r$  e  $f_a$  - frequências do rotor e da alimentação do estator em Hz

$\omega_m$  e  $N_{pp}$  - velocidade do eixo em RPM e número de par de polos do motor.

### 7.3 - Processo de comparação do fluxo

O programa apresentado no apêndice C-1 inicia o cálculo do fluxo através da relação tensão-frequência nominal. Primeiramente, o valor do fluxo calculado é comparado com um valor pré-estabelecido (0,82 Wb) e se não for igual, a tensão é corrigida e o cálculo se faz novamente. O processo é repetido até que, na comparação, o valor do fluxo calculado seja igual ao valor pré-determinado.

### 7.4 - Apresentação das curvas: lei tensão-frequência e torque para fluxo constante e fluxo para relação tensão-frequência constante.

As curvas apresentadas nas figuras 7.1,7.2,7.3,7.4 e 7.5 são obtidas através das expressões estabelecidas no capítulo 2 e emprego do programa computacional apresentado no apêndice C-1.

Em cada gráfico, são superpostas curvas para diver

sas frequências rotóricas, variando-se a frequência de alimentação.

O fluxo máximo do enrolamento principal é mantido constante (0,82 Wb), exceto para as curvas de fluxo, apresentadas nas figuras 7.4 e 7.5. Para estas curvas de fluxo, a relação tensão-frequência é mantida constante e nominal.

São adotados valores de capacitor variando de zero a quinhentos micro-Farad.

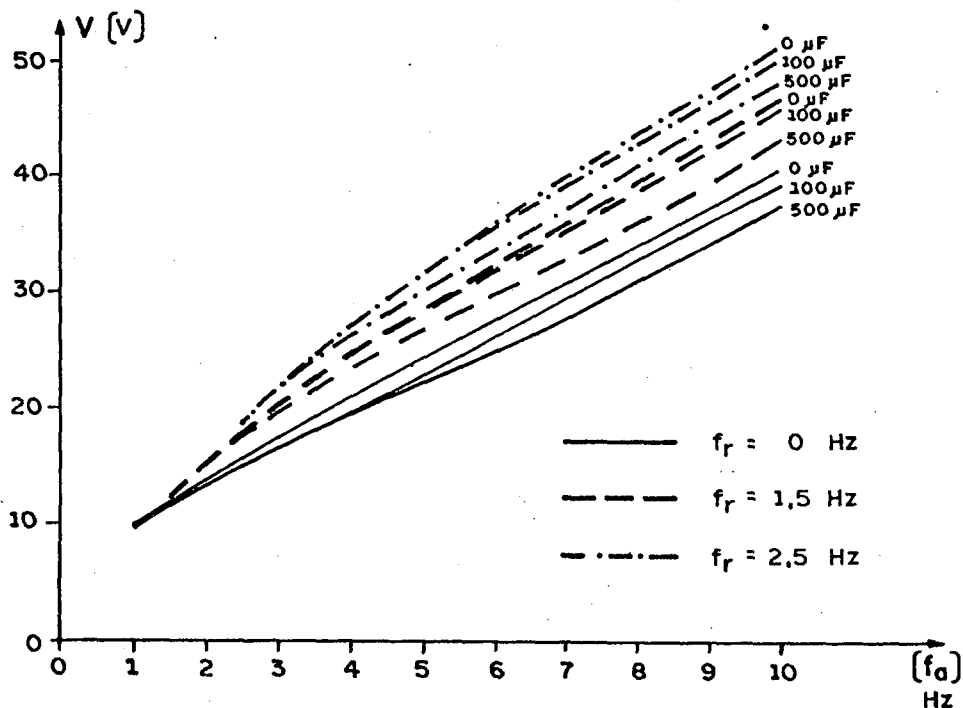


Figura 7.1 - Lei Tensão-Frequência, para vários capacitores e frequências rotóricas. Fluxo constante (0,82 Wb).

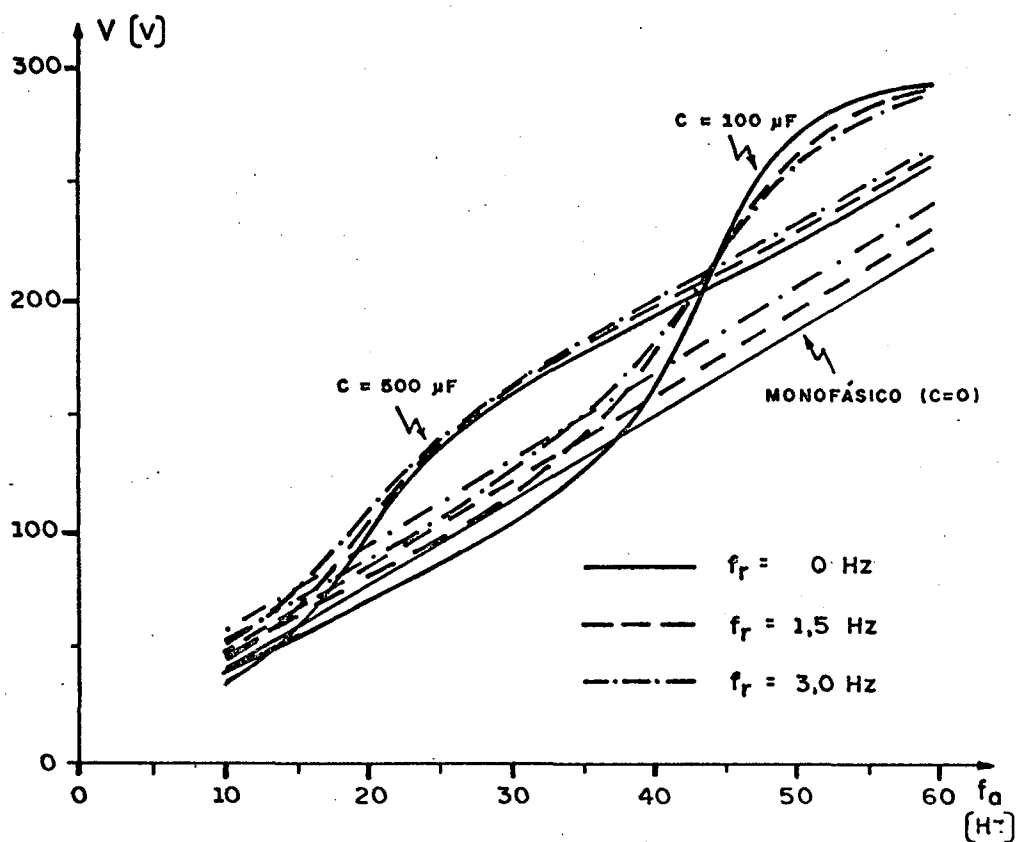


Figura 7.2 - Lei Tensão-Freqüência, para vários capacitores e freqüências rotôricas. Fluxo constante (0,82 Wb).

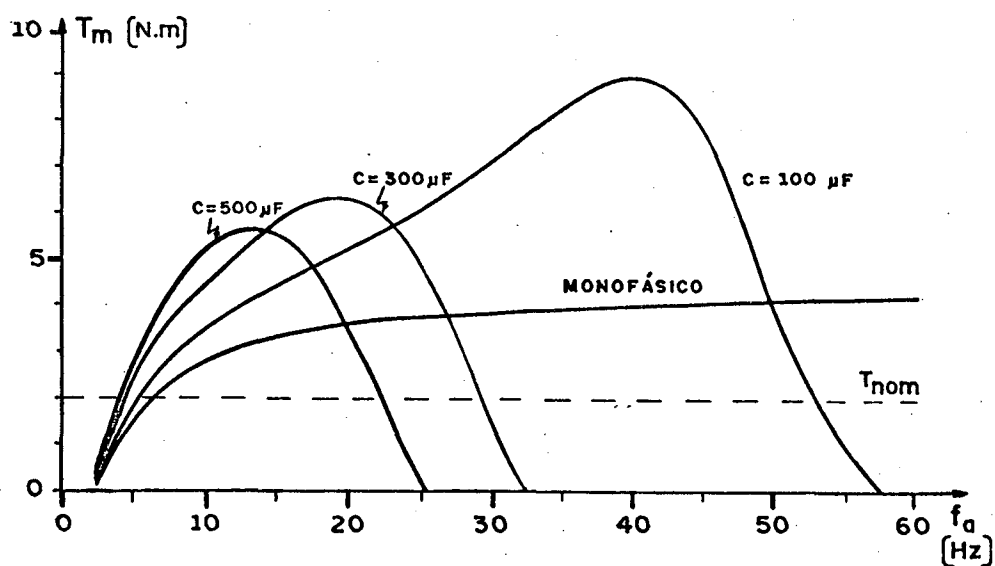


Figura 7.3 - Características torque-freqüência para vários capacitores. Freqüência rotôrica (2,5 Hz) e fluxo (0,82 Wb) constantes.

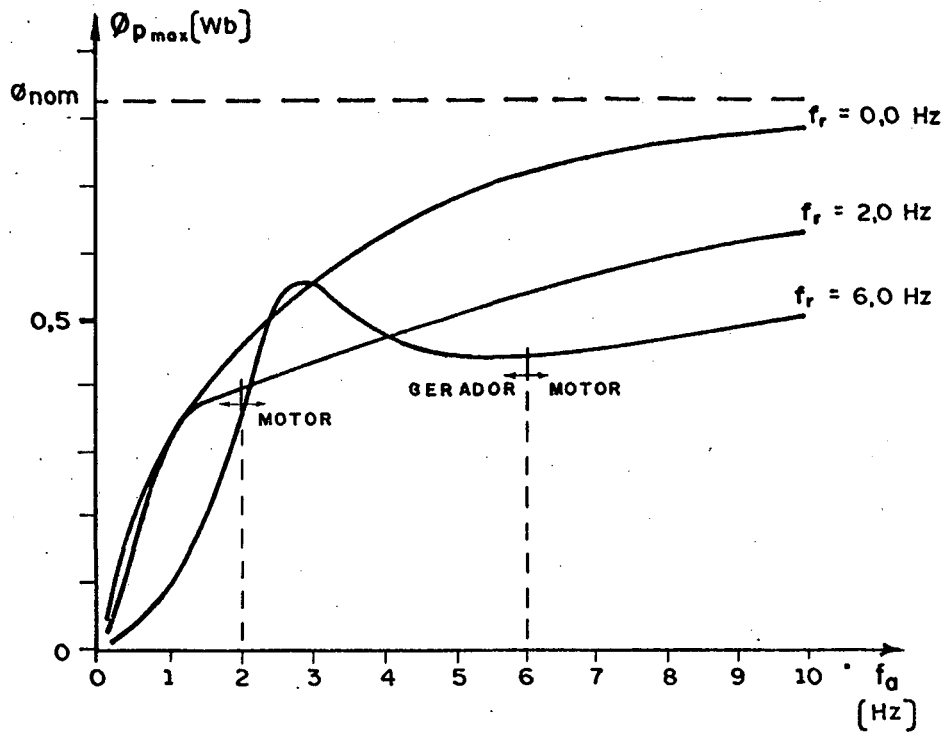


Figura 7.4 - Característica fluxo principal - frequência, para várias frequências rotóricas. Relação V/f nominal, capacitor nulo.

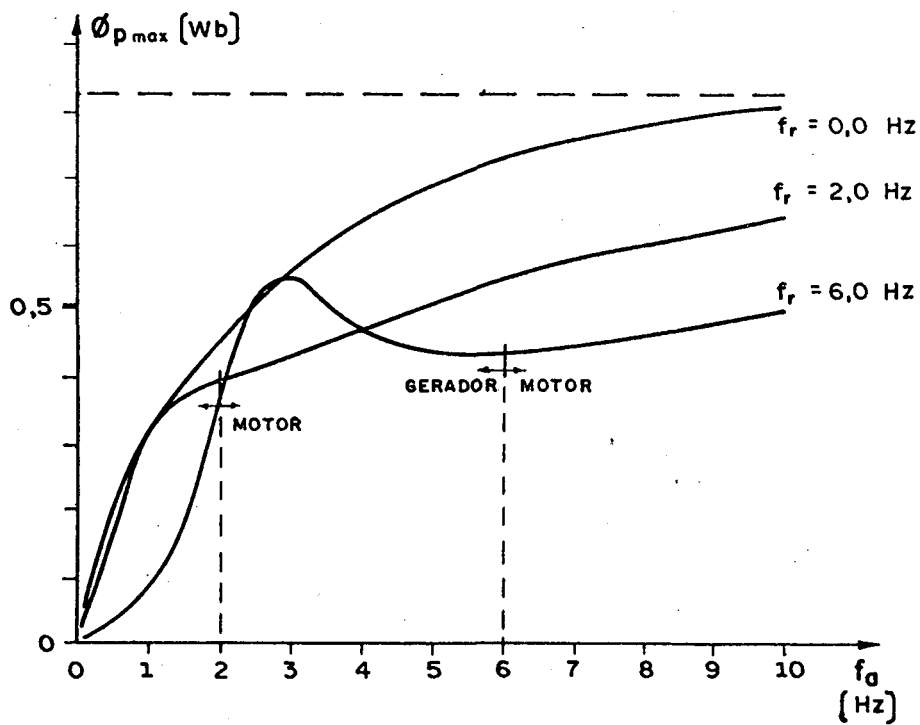


Figura 7.5 - Característica fluxo principal - frequência, para várias frequências rotóricas. Relação V/f nominal, capacitor de 100 $\mu$ F.

### 7.5 - Conclusões

Na partida, isto é  $f_r = f_a$ , o capacitor não influencia na lei tensão-freqüência. Neste caso, é válida a lei estabelecida pelo motor monofásico.

Mantendo-se a freqüência rotórica e o fluxo constantes e variando-se a freqüência de alimentação, conclui-se que:

- a) para pequenas freqüências de alimentação, a relação tensão-freqüência do motor monofásico não é totalmente linear, sendo que, para freqüências de alimentação bem maiores que a freqüência rotórica, a linearidade se verifica.
- b) para a freqüência de alimentação pouco maior do que a freqüência rotórica, o efeito do capacitor é de diminuir a tensão que mantém o fluxo constante.
- c) a partir de uma determinada freqüência de alimentação, cujo valor dependerá do capacitor, o efeito do capacitor é de aumentar a tensão que mantém o fluxo constante.
- d) o torque para o motor monofásico permanece quase constante, quando a freqüência de alimentação é pouco superior à freqüência rotórica. O efeito do capacitor é aumentar o torque para freqüências de alimentação menores e diminuí-lo, para freqüências de alimentação maiores.

Mantendo-se a freqüência rotórica e a relação tensão-freqüência constantes e variando-se a freqüência de alimentação, conclui-se que:

- a) sem carga, o fluxo aumenta com a frequência de alimentação, tendendo ao valor nominal para frequências maiores.
- b) o fluxo diminui com o aumento da carga, ou seja, com o aumento da frequência rotórica.

## CAPÍTULO 8

### COMPORTAMENTO DO MOTOR A CAPACITOR EM REGIME PERMANENTE, ALIMENTAÇÃO RETANGULAR, FREQUÊNCIA VARIÁVEL

#### 8.1 - Introdução

Neste capítulo são estabelecidas as equações de estado para o motor de indução monofásico a capacitor.

A partir destas equações de estado, o programa computacional apresentado no apêndice C-2 permite simular o motor a capacitor em regime permanente, alimentado com tensão retangular ou senoidal.

São apresentados alguns resultados da simulação retangular do motor descrito no item (3.2), proporcionando uma avaliação do comportamento do motor para esta situação.

#### 8.2 - Obtenção do modelo de estado do motor de indução monofásico a capacitor.

O modelo de estado é obtido estabelecendo-se as equações das correntes em forma de variáveis de estado. Partindo-se da equação (2.10), tem-se:

$$v = R_a i_a + L_a p i_a + (1/C) p i_a + M_a p I_a \quad (8.1.a)$$

$$v = R_p i_p + L_p p i_p + M_p p i_q \quad (8.1.b)$$

$$0 = M_a p i_a + n \omega_m M_p i_p + R_r i_d + L_r p I_d + n \omega_m L_r I_q \quad (8.1.c)$$

$$0 = -n \omega_m M_a i_a + M_p p i_p - n \omega_m L_r i_d + R_r i_q + L_r p I_q \quad (8.1.d)$$

mas:

$$(1/C) p^{-1} i_a = (1/C) \int i_a dt = v_c \quad (8.2)$$

onde:

$v_c$  - tensão no capacitor.

Isolando-se  $p I_d$  na equação (8.1.a), obtém-se a expressão (8.3)

$$p I_d = \frac{v}{M_a} - \frac{R_a i_a}{M_a} - \frac{L_a p i_a}{M_a} - \frac{v_c}{M_a} \quad (8.3)$$

Substituindo-se a expressão (8.3) na expressão (8.1.c) e isolando-se  $p i_a$ , tem-se a expressão (8.4)

$$p i_a = -\frac{R L_a i_a}{\sigma_a} + \frac{n \omega_m M_p i_p}{\sigma_a} + \frac{M R_r i_d}{\sigma_a} + \frac{n \omega_m M L_r i_q}{\sigma_a} - \frac{L_r v}{\sigma_a} \quad (8.4)$$

onde:

$$\sigma_a = L_r L_a - M_a^2 \quad (8.5)$$

Isolando-se  $p i_q$  na equação (8.1.b), obtém-se a expressão

pressão (8.6)

$$p i_q = \frac{v}{M_p} - \frac{R_p}{M_p} i_p - \frac{L_p}{M_p} p i_p \quad (8.6)$$

Substituindo-se a expressão (8.6) na equação (8.1.d) e isolando-se  $p i_d$ , tem-se a expressão (8.7)

$$p i_p = - \frac{n \omega_m M_a M_p}{\sigma_p} i_a - \frac{R_p L_p}{\sigma_p} i_p - \frac{n \omega_m M_p L_r}{\sigma_p} i_d + \frac{M_p R_p}{\sigma_p} i_q + \frac{L_r}{\sigma_p} v \quad (8.7)$$

onde:

$$\sigma_p = L_r L_p - M_p^2$$

Substituindo-se a expressão (8.4) na expressão (8.3), obtem-se a expressão (8.8)

$$p i_d = \frac{M_a R_a}{\sigma_a} i_a - \frac{n \omega_m M_p L_a}{\sigma_a} i_p - \frac{L_a R_a}{\sigma_a} i_d - \frac{n \omega_m L_a L_r}{\sigma_a} i_q + \frac{M_a}{\sigma_a} v_c - \frac{M_a}{\sigma_a} v \quad (8.8)$$

Substituindo-se a expressão (8.7) na expressão (8.6), obtem-se a expressão (8.9)

$$p i_q = \frac{n \omega_m M_a L_p}{\sigma_p} i_a + \frac{R_p M_p}{\sigma_p} i_p + \frac{n \omega_m L_p L_r}{\sigma_p} i_d - \frac{L_p R_p}{\sigma_p} i_q - \frac{M_p}{\sigma_p} v \quad (8.9)$$

As expressões (8.4), (8.7), (8.8) e (8.9) formam o modelo de estado do motor, representado matricialmente pela expressão (8.10)

$$p[X] = [A][X] + [B][U] \quad (8.10)$$

onde,

$$[X] = [i_a \ i_p \ i_d \ i_q \ i_c]^t \quad (8.11)$$

$$[U] = v \quad (8.12)$$

$$[A] = \begin{bmatrix} \frac{R L_{ar}}{\sigma_a} & \frac{n\omega M_{pa}}{\sigma_a} & \frac{M R_{ar}}{\sigma_a} & \frac{n\omega L_{ma}}{\sigma_a} & \frac{-L_r}{\sigma_a} \\ \frac{-n\omega M_{ap}}{\sigma_p} & \frac{-R L_{pr}}{\sigma_p} & \frac{-n\omega M_{pr}}{\sigma_p} & \frac{M R_{pr}}{\sigma_p} & 0 \\ \frac{M R_{aa}}{\sigma_a} & \frac{-n\omega M_{pa}}{\sigma_a} & \frac{-L R_{ar}}{\sigma_a} & \frac{-n\omega L_{ar}}{\sigma_a} & \frac{M_a}{\sigma_a} \\ \frac{n\omega M_{ap}}{\sigma_p} & \frac{R M_{pp}}{\sigma_p} & \frac{n\omega L_{rp}}{\sigma_p} & \frac{-L R_{rp}}{\sigma_p} & 0 \\ \frac{1}{C} & 0 & 0 & 0 & 0 \end{bmatrix} \quad (8.13)$$

$$[B] = \left[ \begin{array}{ccccc} \frac{L_r}{\sigma_a} & \frac{L_r}{\sigma_p} & \frac{-M_a}{\sigma_a} & \frac{-M_p}{\sigma_p} & 0 \end{array} \right]^t \quad (8.14)$$

A equação (8.10) estabelece o modelo de estado para o motor de indução a capacitor.

Este modelo abrange todas as condições de funcionamento, desde o regime permanente com alimentação senoidal até o

regime transitório, sob qualquer tipo de alimentação.

### 8.3 - Apresentação dos resultados obtidos na simulação com alimentação retangular.

Para as curvas apresentadas nas figuras 8.1 até 8.6 verificam-se as seguintes considerações:

- a) a frequência do rotor é mantida constante e igual a 2,5 Hz
- b) a amplitude da onda retangular é tal que a sua fundamental da série de Fourier coincida com a senoidal dada pela lei tensão-frequência, estabelecida no capítulo 4 (figura 4.). Isto é:

$$V_{\text{máx}} = (4/\pi)E \quad (8.15)$$

assim,

$$E = \frac{\pi\sqrt{2}}{4} V_{\text{ef}} \quad (8.16)$$

onde,

$V_{\text{máx}}, V'_{\text{ef}}$  - tensões máxima e eficaz das senoidais equivalentes

$E$  - amplitude da onda retangular

- c) são adotadas as frequências de alimentação de 2,5 Hz, 5 Hz e 10 Hz.
- d) no mesmo gráfico são superpostas curvas para os capacitores de 100  $\mu\text{F}$  e 500  $\mu\text{F}$ .

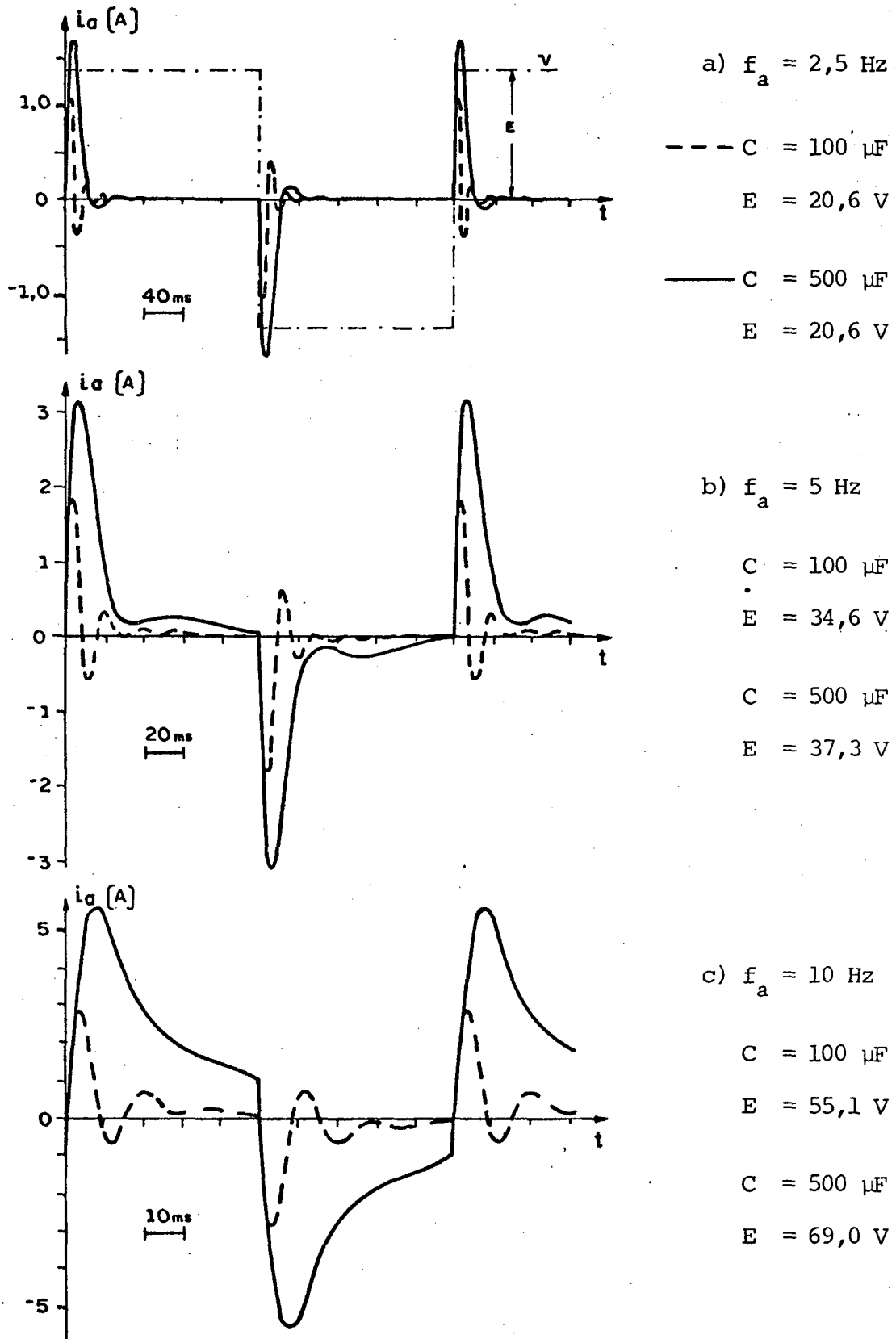


Figura 8.1 - Corrente auxiliar para várias freqüências de alimentação (retangular). Freqüência rotórica de 2,5 Hz.

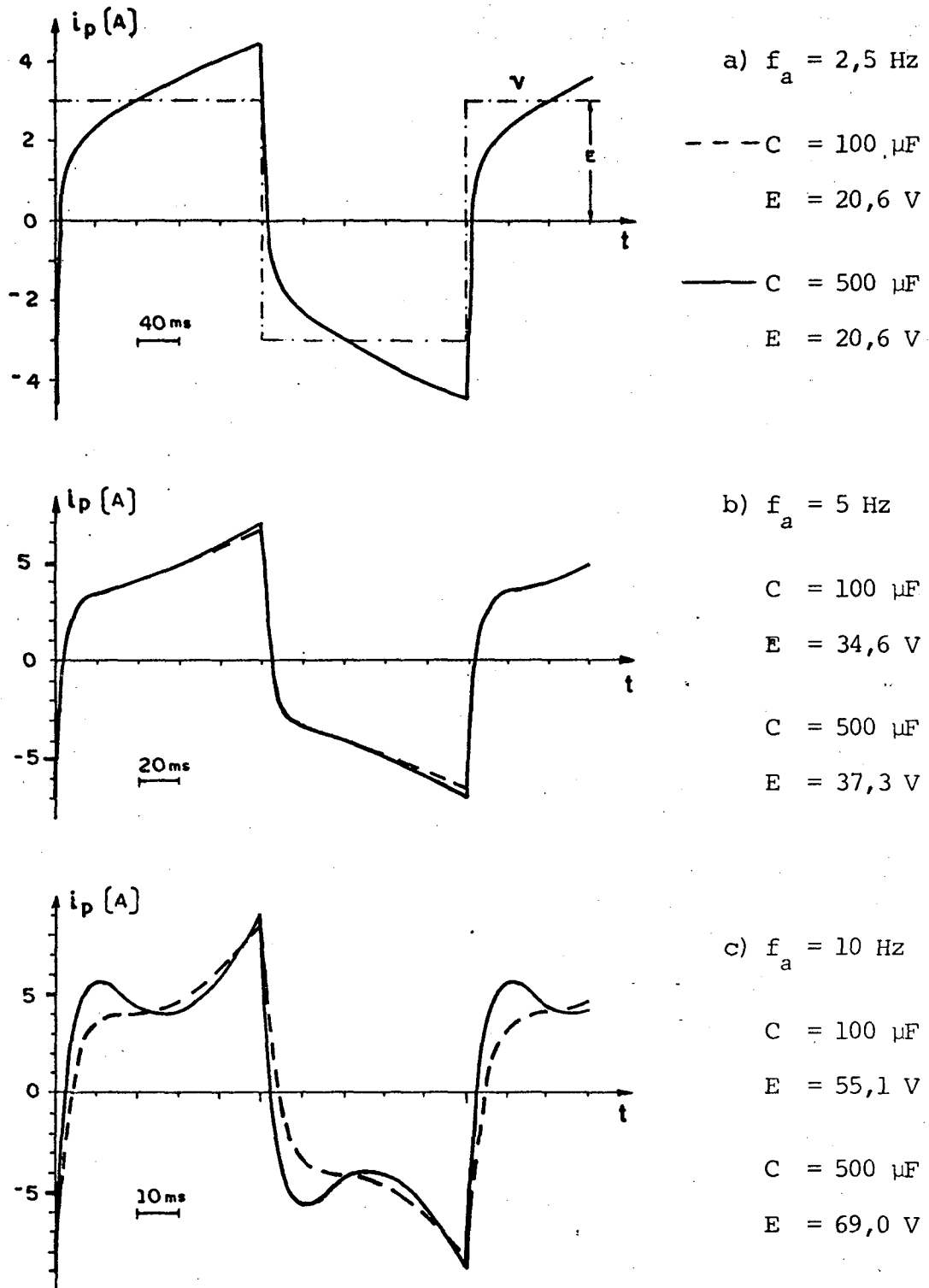
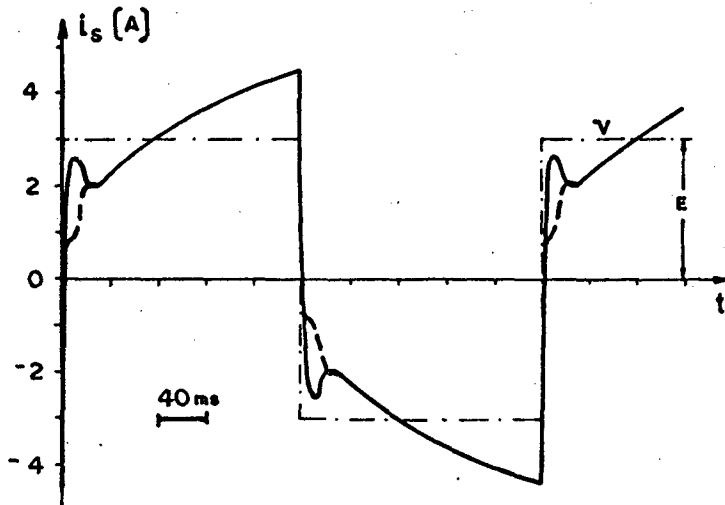


Figura 8.2 - Corrente principal para várias frequências de alimentação (retangular). Frequência rotórica de 2,5 Hz.



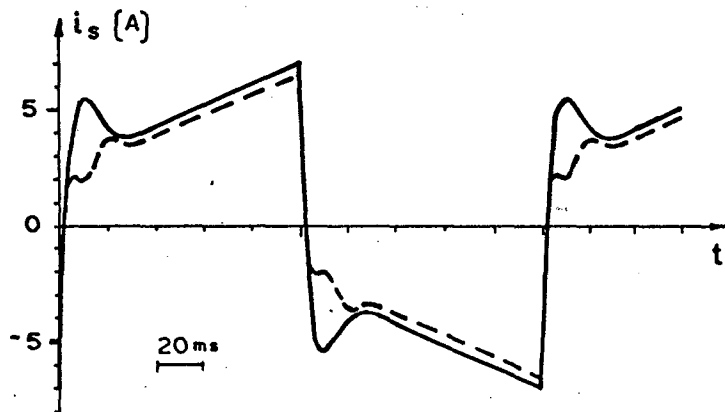
$$a) f_a = 2,5 \text{ Hz}$$

$$--- C = 100 \mu\text{F}$$

$$E = 20,6 \text{ V}$$

$$— C = 500 \mu\text{F}$$

$$E = 20,6 \text{ V}$$



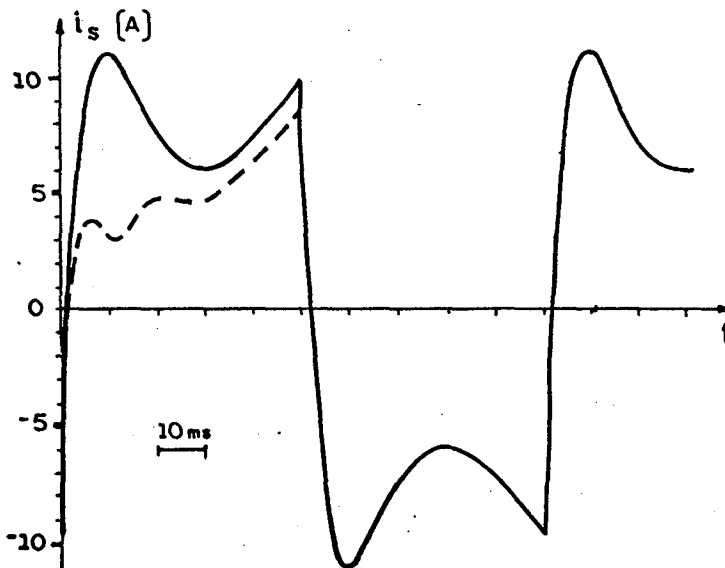
$$b) f_a = 5 \text{ Hz}$$

$$C = 100 \mu\text{F}$$

$$E = 34,6 \text{ V}$$

$$C = 500 \mu\text{F}$$

$$E = 37,3 \text{ V}$$



$$c) f_a = 10 \text{ Hz}$$

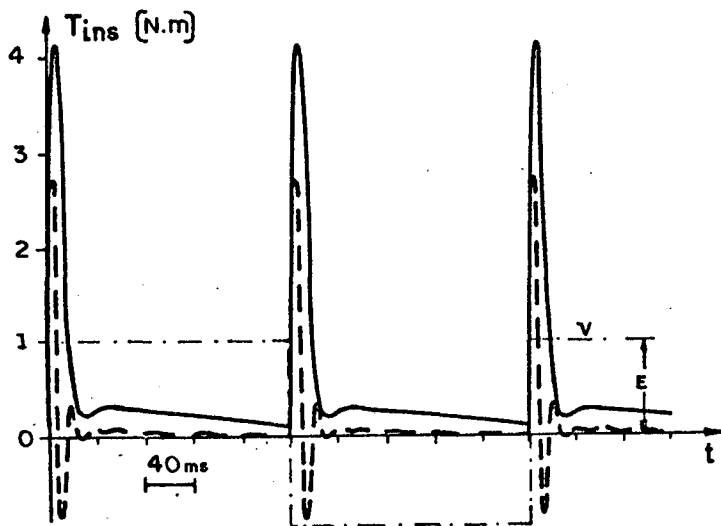
$$C = 100 \mu\text{F}$$

$$E = 55,1 \text{ V}$$

$$C = 500 \mu\text{F}$$

$$E = 69,0 \text{ V}$$

Figura 8.3 - Corrente total para várias freqüências de alimentação (retangular). Freqüência rotórica de 2,5 Hz.



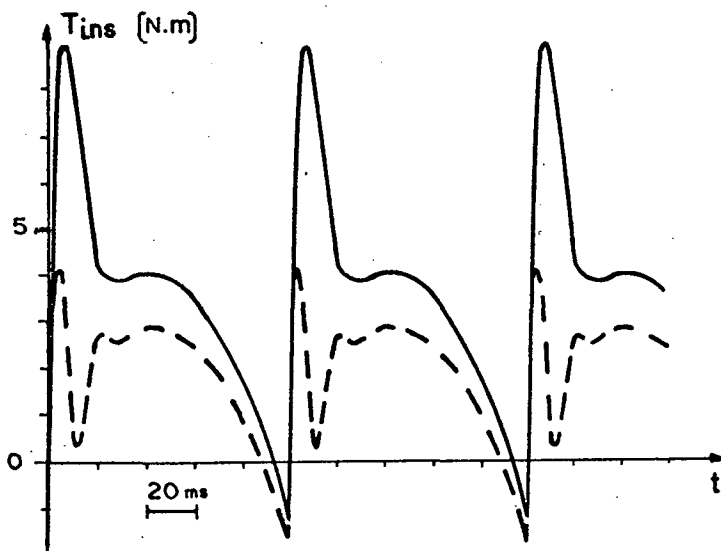
$$a) f_a = 2,5 \text{ Hz}$$

$$--- C = 100 \mu\text{F}$$

$$E = 20,6 \text{ V}$$

$$— C = 500 \mu\text{F}$$

$$E = 20,6 \text{ V}$$



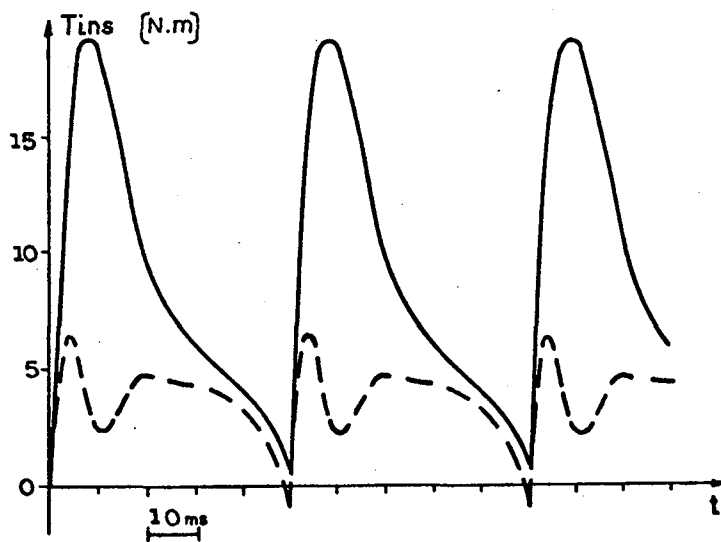
$$b) f_a = 5 \text{ Hz}$$

$$C = 100 \mu\text{F}$$

$$E = 34,6 \text{ V}$$

$$C = 500 \mu\text{F}$$

$$E = 37,3 \text{ V}$$



$$c) f_a = 10 \text{ Hz}$$

$$C = 100 \mu\text{F}$$

$$E = 55,1 \text{ V}$$

$$C = 500 \mu\text{F}$$

$$E = 69,0 \text{ V}$$

Figura 8.4 - Torque do motor para v̄arias freq̄uências de alimentaçāo (retan-  
gular). Freq̄uência rot̄orica de 2,5 Hz.

(retan

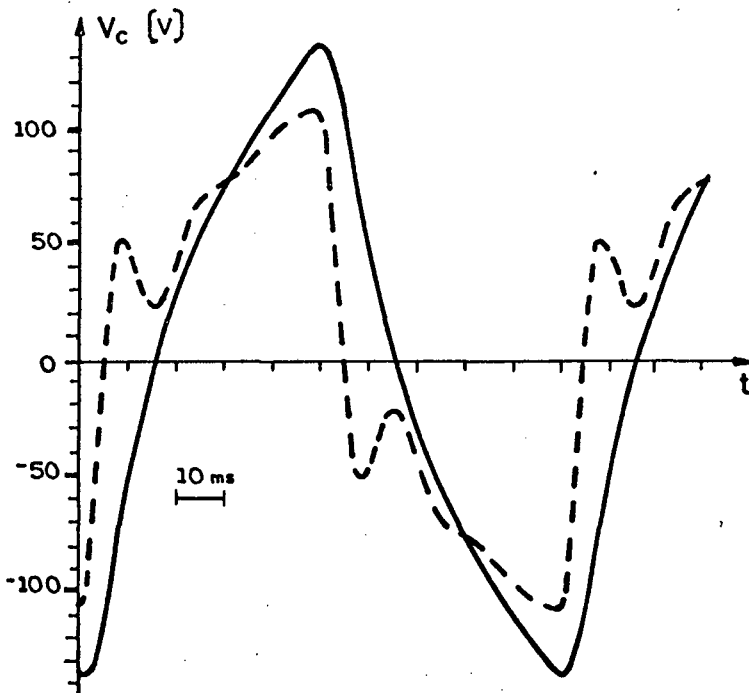
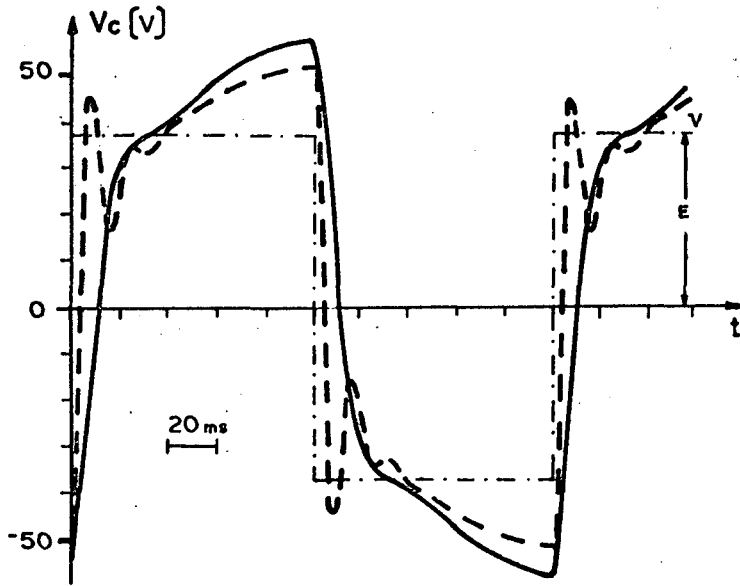


Figura 8.5 - Tensão do capacitor para várias freqüências de alimentação (retangular). Freqüência rotórica de 2,5 Hz.

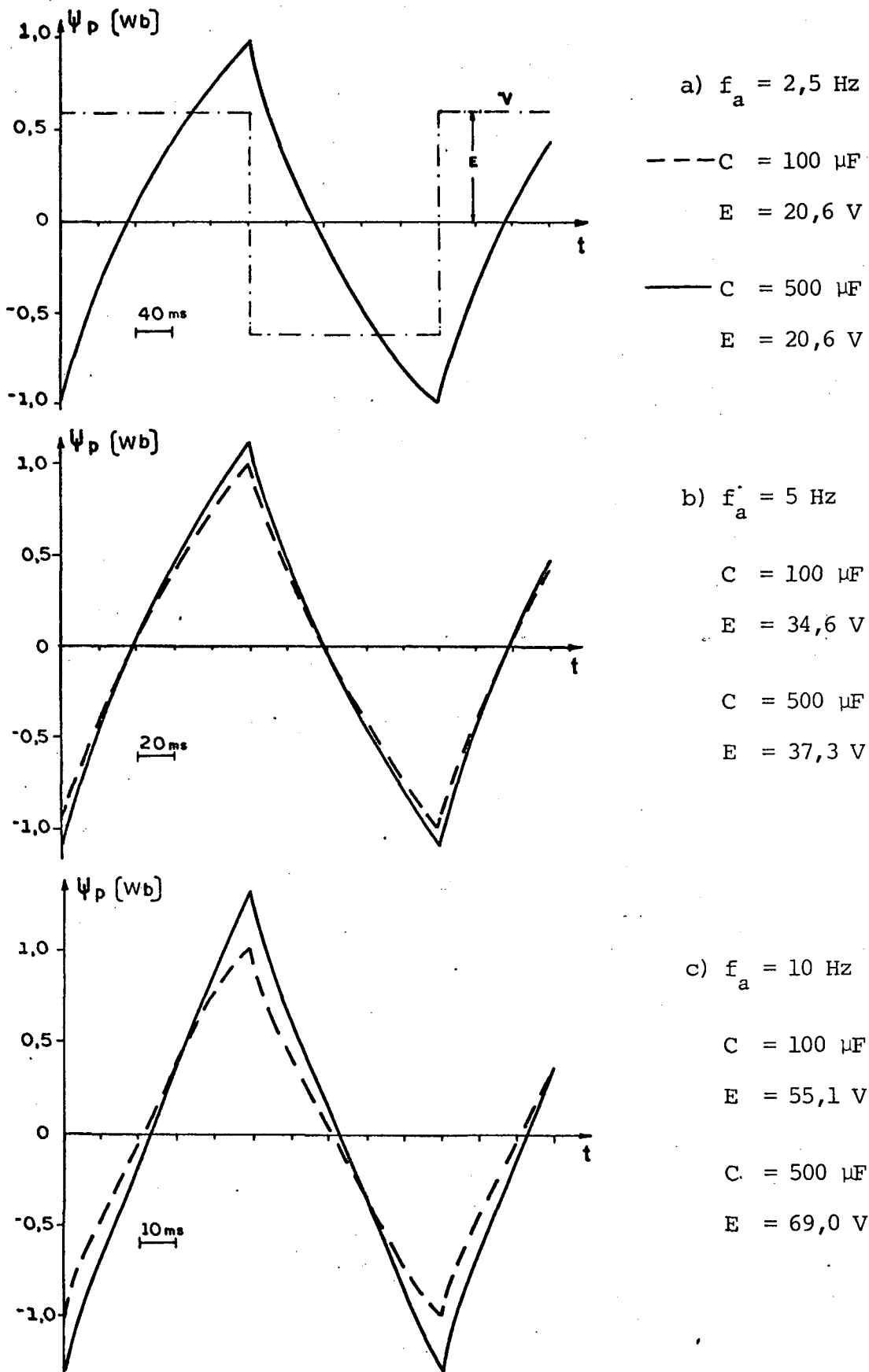


Figura 8.6 - Fluxo principal para várias frequências de alimentação (retangular). Frequência rotórica de 2,5 Hz.

#### 8.4 - Conclusões

Para frequências abaixo de 10Hz, capacitores menores do que 500  $\mu\text{F}$  e alimentação retangular, verifica-se que:

- a) o aumento da capacitância proporciona um aumento das correntes, fluxos e torques. Também se verifica uma "filtração" destas grandezas, como efeito do capacitor.
- b) estes efeitos do capacitor aumentam com a frequência de alimentação.
- c) o torque do motor é relativamente baixo; o que poderá estabelecer frequências mínimas para a partida.
- d) os valores de pico das ondas de fluxo atingiram níveis maiores que o nominal (0,82 Wb). Assim, para se evitar uma possível saturação, deve-se reavaliar as considerações do item 8.3.b, aplicadas à alimentação retangular.

Os problemas, tais como: compromisso entre o valor do capacitor e o torque de partida, relação tensão-frequência adequada, níveis de correntes atingidos e outros, poderão ser resolvidos com a utilização do modelo e programa propostos neste trabalho.

## C A P Í T U L O 9

### ESTUDO EXPERIMENTAL, COMPROVAÇÃO DA VALIDADE DO MODELO, ANÁLISE QUANTITATIVA DA PARTIDA

#### 9.1 - Introdução

O objetivo deste capítulo é comprovar a validade dos modelos e programas propostos.

São feitas várias comparações entre: medidas experimentais realizadas em laboratório e resultados obtidos na simulação computacional.

Também é apresentada uma análise quantitativa da partida, como exemplo de aplicação deste estudo.

#### 9.2 - Motor estudado

O motor utilizado nas experiências em laboratório apresenta os seguintes dados de placa:

Potência = 0,5 c.v

Tensão de Alimentação = 110 volts

Corrente Nominal = 9 ampères

Frequência de Alimentação = 60 Hz

Classe de Isolação = A

Velocidade Nominal = 1725 RPM

Fator de Serviço = 1,25

Categoria = N

Foram calculados:

Torque Nominal de Placa = 2,03 Nm

Freqüência rotórica Nominal = 2,5 Hz

O procedimento para obtenção dos parâmetros deste motor é descrito no Apêndice A, como exemplo de aplicação do método. Assim, transporta-se apenas os valores finais dos parâmetros cíclicos, que são:

$$R_a = 0,8$$

$$R_p = 3,2$$

$$R_r = 1,22$$

$$L_a = 147,1 \text{ mH}$$

$$L_p = 78,4 \text{ mH}$$

$$M_r = 103,2 \text{ mH}$$

$$M_p = 75,3 \text{ mH}$$

$$a = 1,37 \text{ (relação de espiras NA/NP)}$$

### 9.3 - Resultados experimentais

Os resultados a seguir foram obtidos a partir do diagrama de ligação representado na figura 9.1.

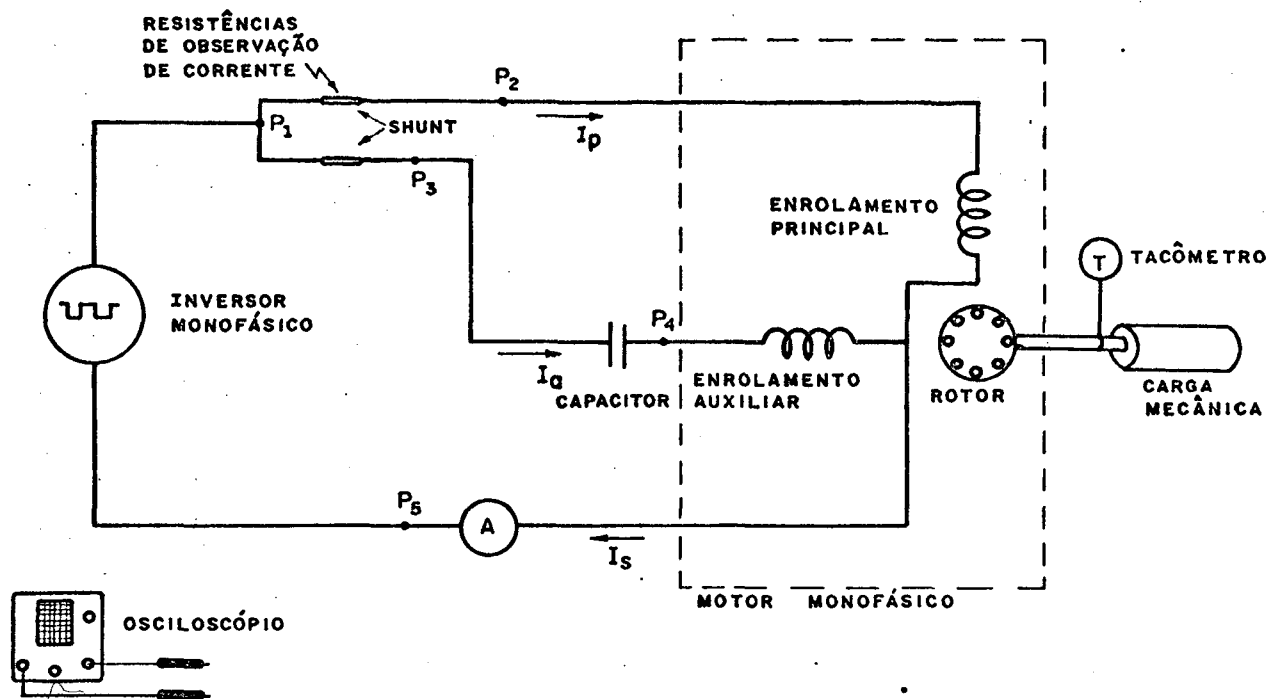


Figura 9.1 - Esquema de ligação para ensaios experimentais.

Permutando-se as ponteiros do osciloscópio, nos diversos pontos assinalados na figura 9.1, observou-se as curvas de:

tensão de alimentação	( $P_1 - P_5$ )
tensão do capacitor	( $P_3 - P_4$ )
corrente do enrolamento auxiliar	( $P_1 - P_3$ )
corrente do enrolamento principal	( $P_1 - P_2$ )

Foram fotografadas tres situações distintas de operação do motor a capacitor, alimentado com tensão retangular. Estes resultados estão apresentados nas figuras 9.2, 9.3, 9.4 e 9.5.

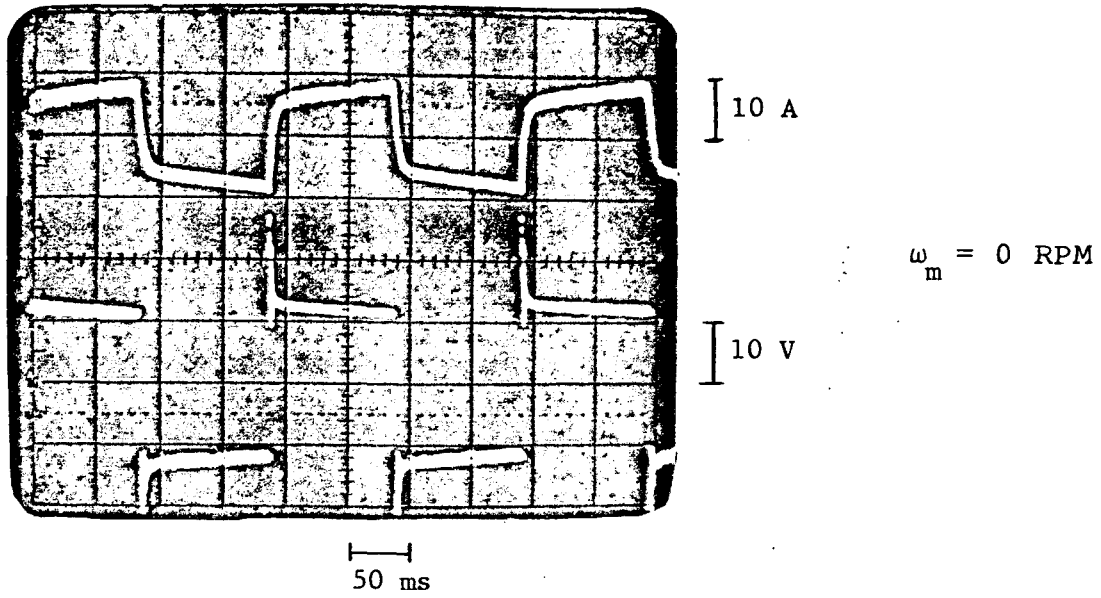


Figura 9.2 - Fotografia da corrente principal e tensão de alimentação.

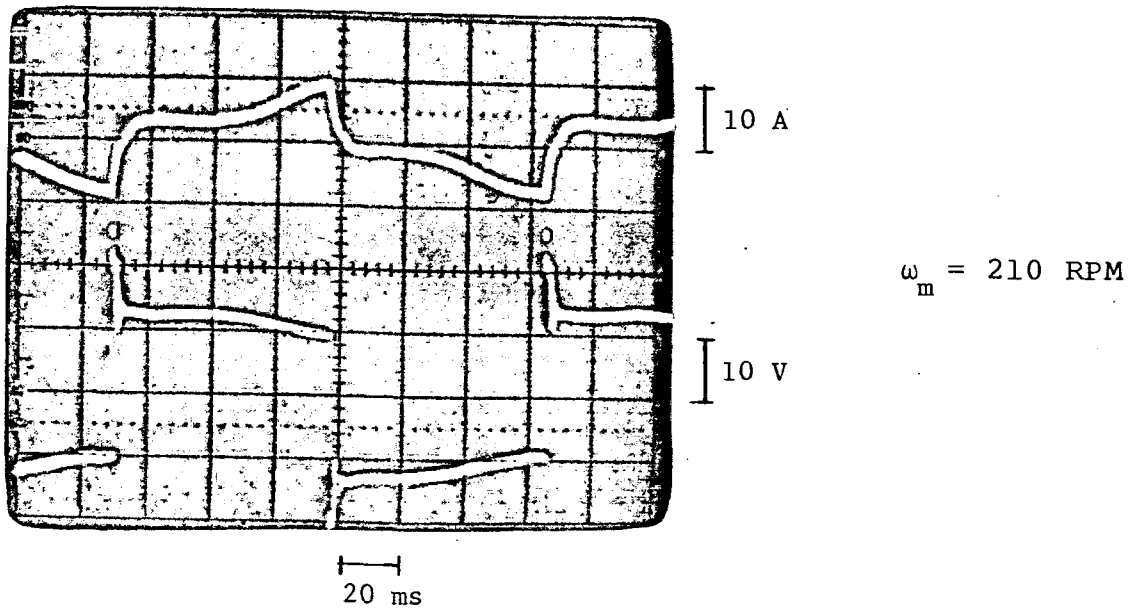


Figura 9.3 - Fotografia da corrente principal e tensão de alimentação.

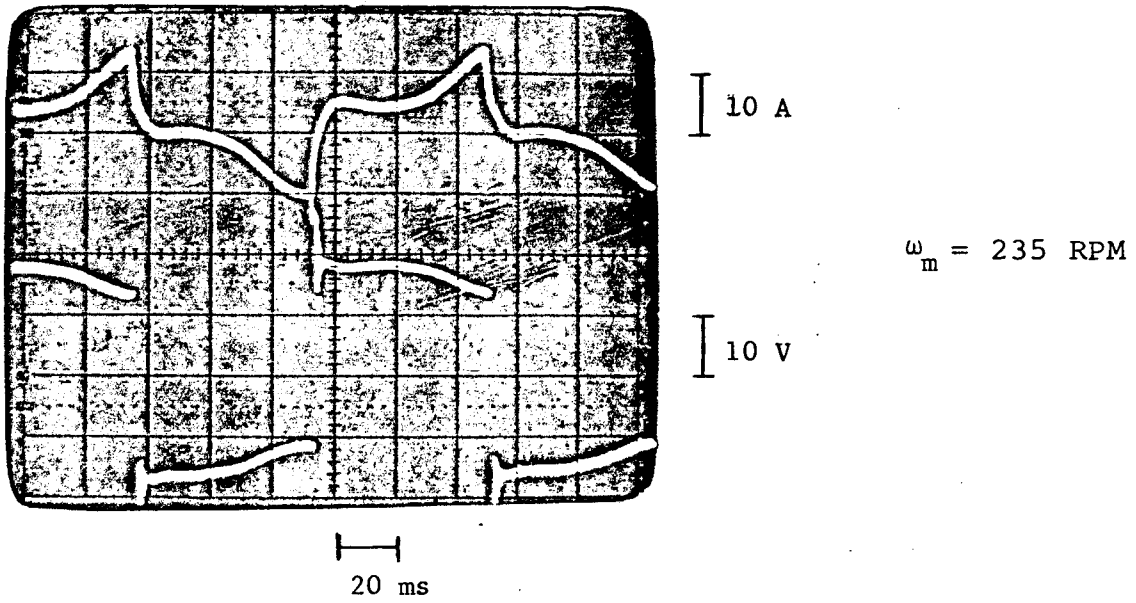
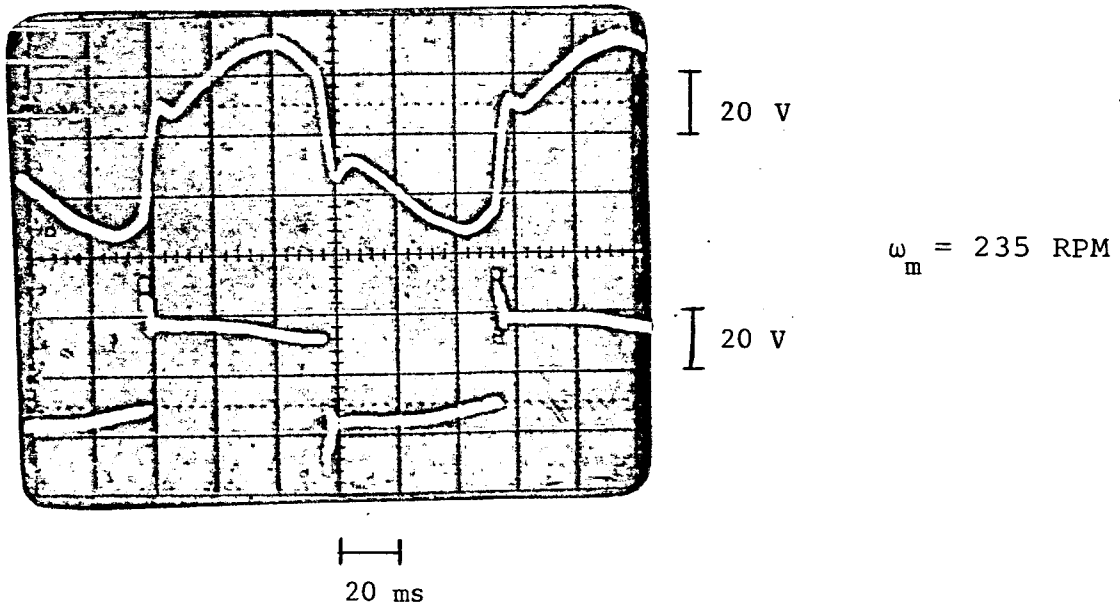


Figura 9.4 - Fotografia da corrente principal e tensão de alimentação.



Fotografia 9.5 - Fotografia da tensão do capacitor e tensão de alimentação.

O valor eficaz da corrente total do estator ( $I_s$ ) foi medido para cada situação, e assumiu os seguintes valores:

$I_s = 7,0$  A, para a situação da figura 9.2

$I_s = 5,5$  A, para a situação da figura 9.3

$I_s = 6,0$  A, para a situação da figura 9.4

#### 9.4 - Resultados da simulação computacional, comparações.

As tres situações, realizadas em laboratório e apresentadas no item 9.3, foram simuladas através do programa computacional apresentado no apêndice C-2. Estes resultados estão apresentados nas figuras 9.6, 9.7, 9.8 e 9.9.

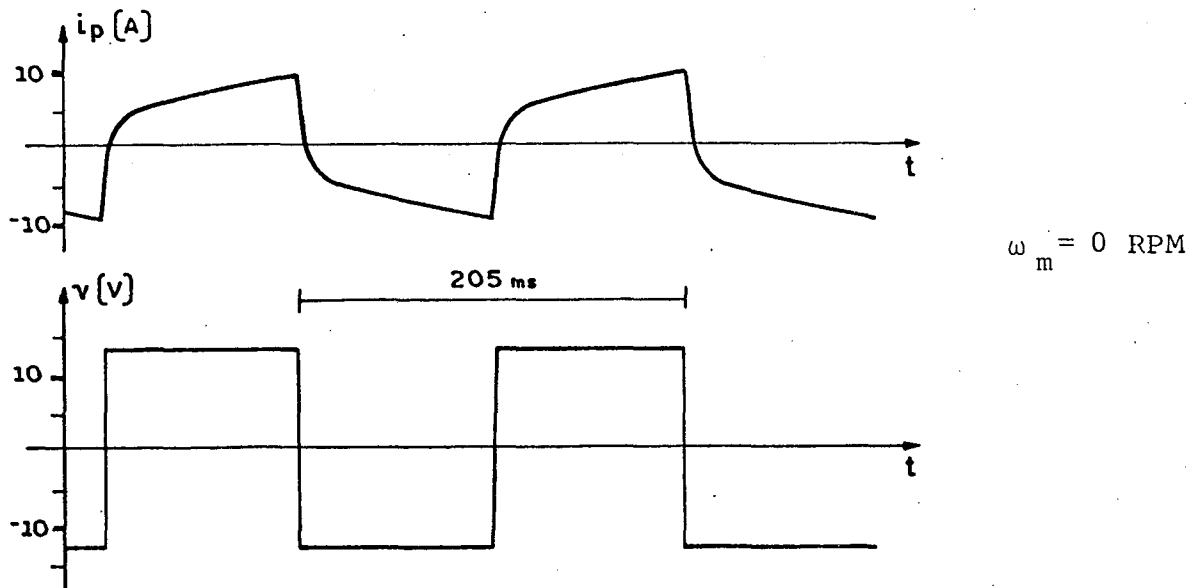


Figura 9.6 - Simulação da corrente principal e tensão de alimentação.

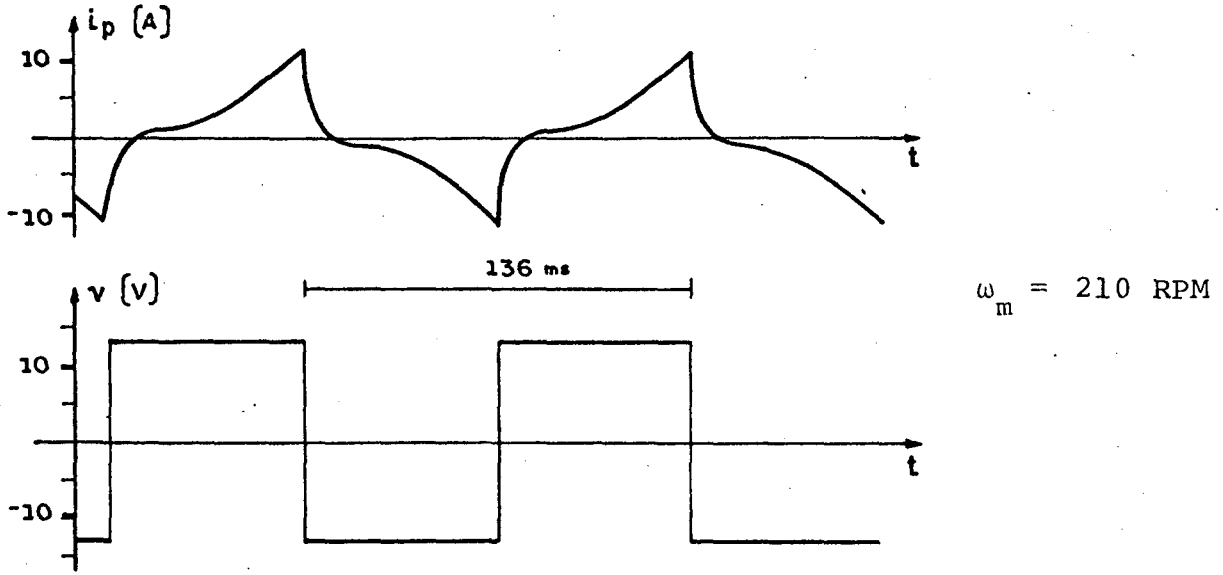


Figura 9.7 - Simulação da corrente principal e tensão de alimentação.

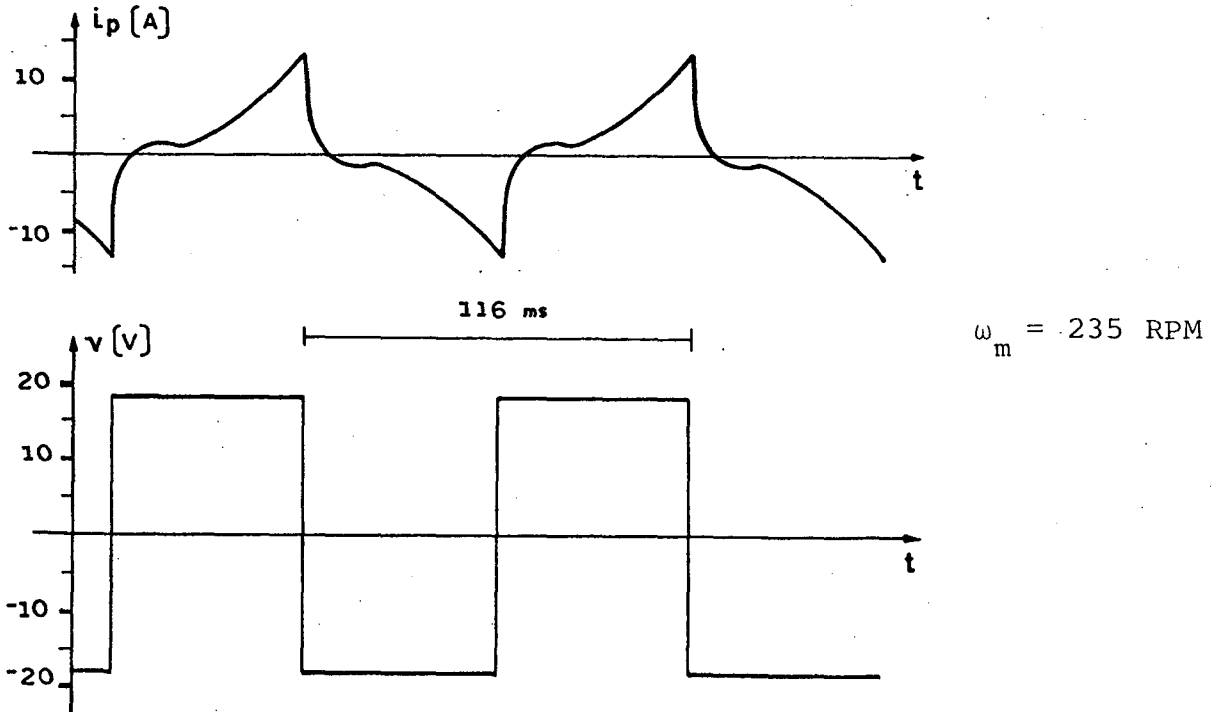


Figura 9.8 - Simulação da corrente principal e tensão de alimentação.

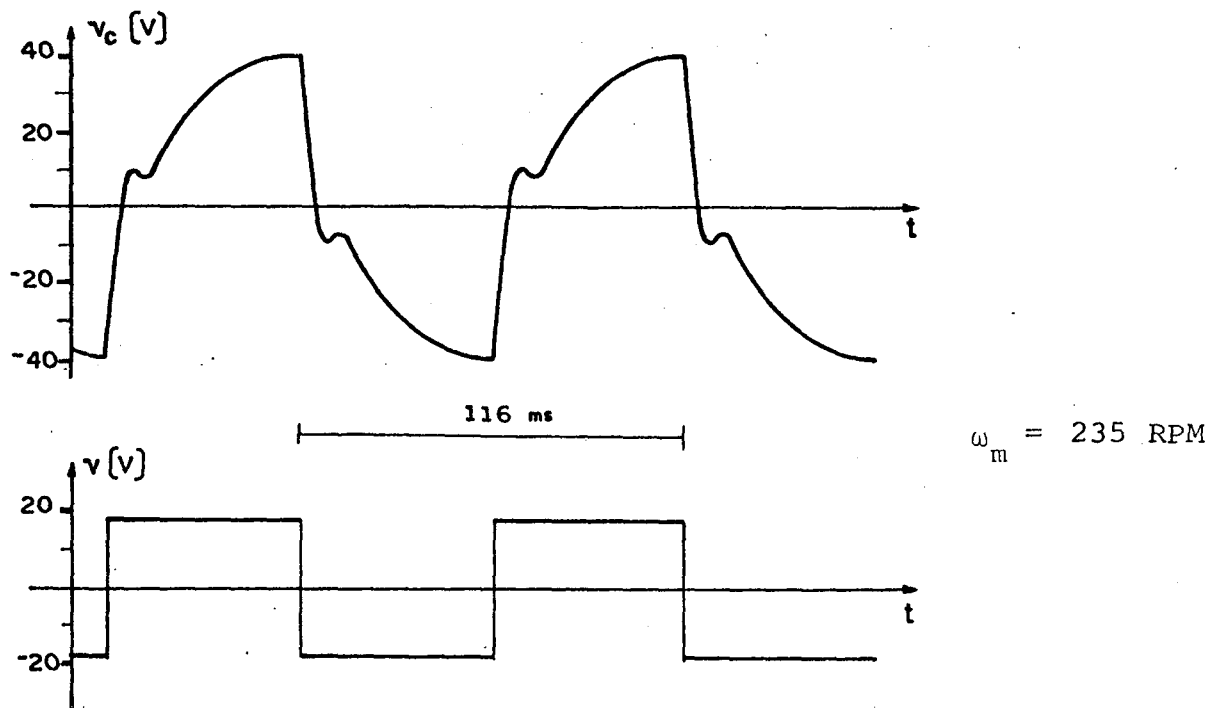


Figura 9.9 - Simulação da tensão do capacitor e tensão de alimentação.

O valor eficaz da corrente total do estator ( $I_s$ ) foi calculado para cada situação simulada e assumiu os seguintes valores:

$$I_s = 6,8 \text{ A, para a situação da figura 9.6}$$

$$I_s = 5,2 \text{ A, para a situação da figura 9.7}$$

$$I_s = 6,3 \text{ A, para a situação da figura 9.8}$$

Comparando os resultados correspondentes entre ensaio de laboratório, item 9.3, e simulação computacional, item 9.4, verifica-se que, tanto para uma análise qualitativa, como para uma análise quantitativa, a simulação computacional reflete o real comportamento do motor.

### 9.5 - Análise quantitativa da partida

A seguir, é apresentada uma análise quantitativa da partida do motor descrito no item 9.2. Esta análise é fundamentada nos resultados da simulação computacional para regime permanente senoidal e velocidade do rotor nula. Consiste em verificar quais os valores adequados de tensão, frequência e capacitor, que conseguem partir o motor, com um determinado torque mecânico.

Inicialmente, são feitas as seguintes considerações:

- a) o fluxo máximo nominal ( $\phi_p$ ) é 0,42 Wb.
- b) o torque nominal é de aproximadamente 2 N.m.
- c) o capacitor proveniente de fábrica é de aproximadamente 175  $\mu$ F.
- d) a frequência mínima de partida estabelecida é de 5 Hz.

O gráfico da figura 9.10 relaciona os capacitores ótimos, isto é, os capacitores que proporcionam o maior torque de partida para uma determinada frequência. São superpostas as curvas de torque e tensão de alimentação, para as condições de capacitor ótimo e fluxo máximo mantido constante (0,42 Wb).

No gráfico da figura 9.11, são estabelecidas as correntes estatóricas para as condições de capacitor ótimo e fluxo máximo constante (0,42 Wb).

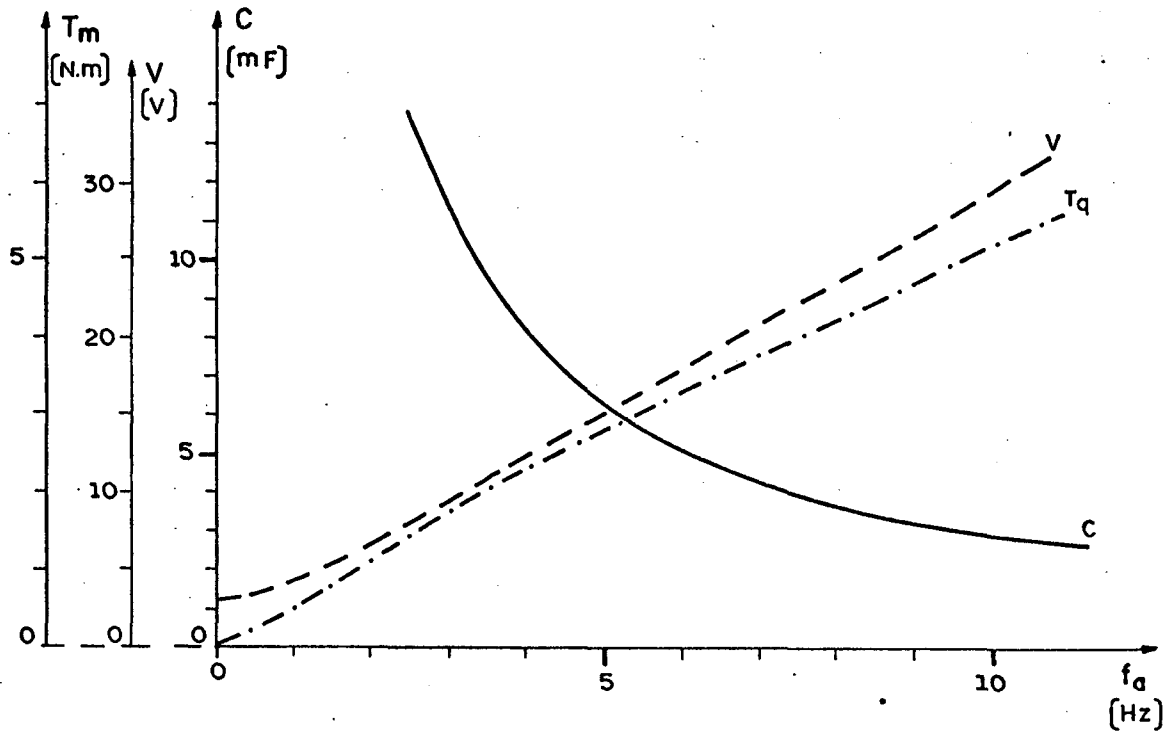


Figura 9.10 - Características de capacitor ótimo, torque ótimo e tensão em função da frequência de alimentação (senoidal). Fluxo constante (0,42 Wb) e velocidade nula.

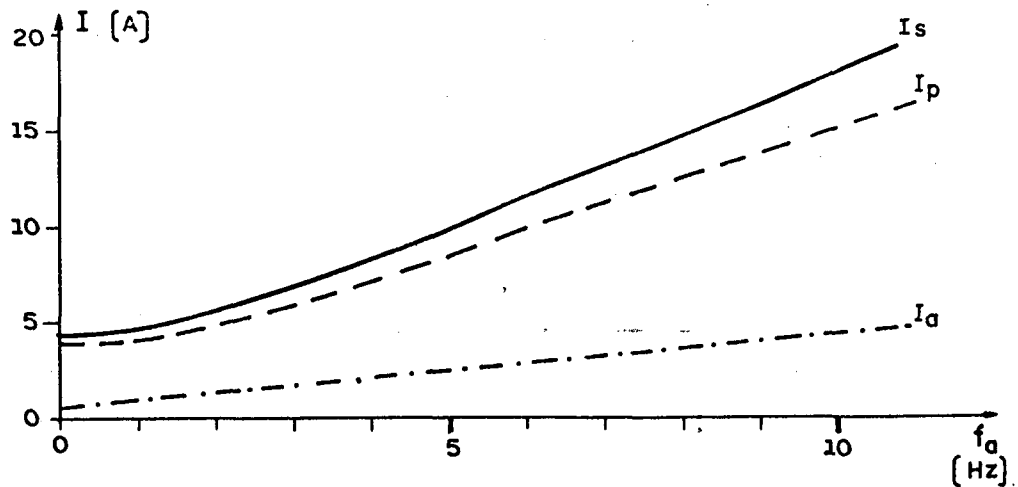


Figura 9.11 - Características das correntes estatóricas em função da frequência de alimentação (senoidal). Fluxo constante (0,42 Wb) e velocidade nula.

Verifica-se no gráfico da figura 9.10 que, para a frequência de 5 Hz, o capacitor ótimo é de aproximadamente  $6.000\mu\text{F}$ . Este valor é muito elevado, comparado com o capacitor proveniente de fábrica ( $175\mu\text{F}$ ).

A 5 Hz, o torque proporcionado pelo capacitor ótimo, aproximadamente 3 Nm, é bem maior do que o torque nominal (2 Nm). Assim, pode-se pensar em diminuir o valor do capacitor, caso se deseje partir a 5 Hz. Isto poderá ser feito com emprego dos gráficos apresentados nas figuras 9.12 e 9.13.

As curvas das figuras 9.12 e 9.13 estabelecem os valores de torque e corrente total do motor, para vários capacitores, em função da frequência de alimentação, quando o rotor está bloqueado e o fluxo máximo é mantido constante ( $0,42\text{ Wb}$ ).

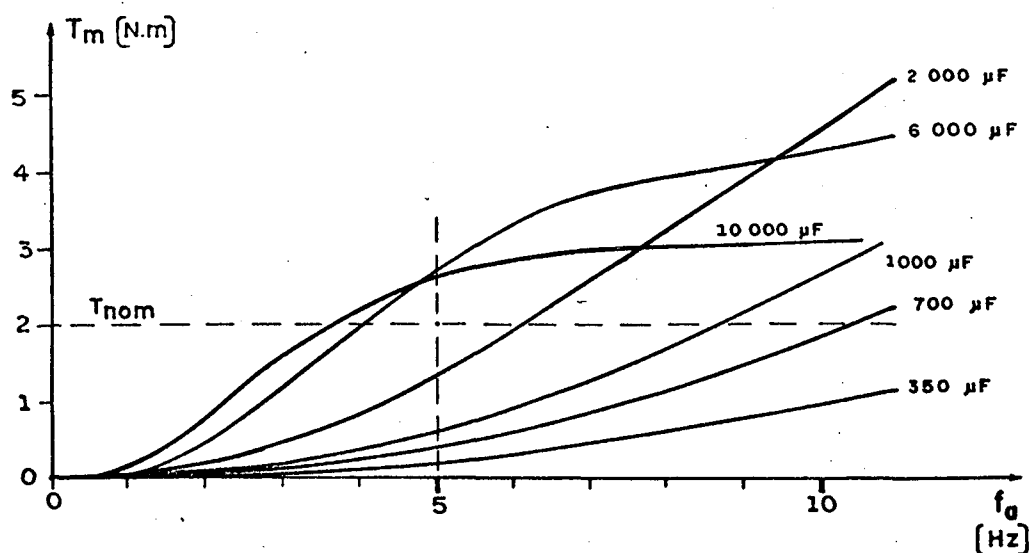


Figura 9.12 - Características torque de partida-frequência de alimentação, para vários capacitores. Fluxo constante ( $0,42\text{ Wb}$ ).

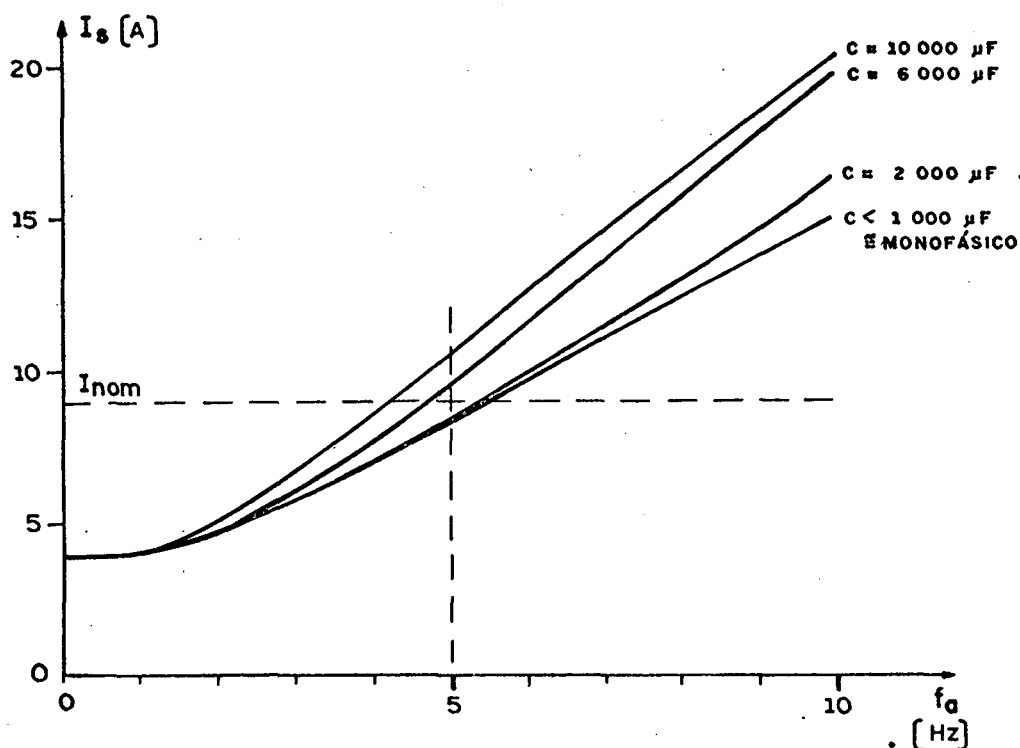


Figura 9.13 - Características corrente total-frequência de alimentação, para vários capacitores. Fluxo constante (0,42 Wb). Velocidade nula.

Analisando o gráfico da figura 9.12, verifica-se que, para partir o motor a 5Hz:

- com um torque de partida em torno de um quarto do torque nominal (0,5 Nm), necessita-se de um capacitor de aproximadamente 900  $\mu\text{F}$ .
- com um torque de partida igual ao torque nominal, o capacitor deverá ser maior do que 2000  $\mu\text{F}$ .
- com dois capacitores de 175  $\mu\text{F}$  em paralelo (350  $\mu\text{F}$ ), o torque de partida proporcionado pelo motor é de aproximadamente 0,2 Nm.

Assim, para baixas frequências, fica concluído que:

- a) o capacitor adequado para a partida com carga é bem maior que o proveniente de fábrica.
- b) utilizando-se capacitores provenientes de fábrica, apenas um ou dois em paralelo, o motor apresenta baixo torque de partida e portanto, deverá partir sem carga.

Analisando as correntes, estabelecidas na figura 9.13, nota-se que, para baixas frequências e capacitores menores que  $1000\mu\text{F}$ , a corrente total do motor ( $I_s$ ) é bem próxima da corrente do enrolamento principal ( $I_p$ ). Isto indica que, para estas condições, a corrente do enrolamento auxiliar ( $I_a$ ) é mínima.

Os gráficos anteriores podem ter seus valores estendidos para outros valores de tensão. Para isto, basta lembrar-se das relações do item 2.8 onde foi concluído que, para o mesmo valor de frequência, capacitor e velocidade do rotor, são válidas as expressões (9.1), (9.2) e (9.3).

$$T_m = K_t V^2 \quad (9.1)$$

$$\phi = K_\phi V \quad (9.2)$$

$$I = K_I V \quad (9.3)$$

sendo  $K_t$ ,  $K_\phi$  e  $K_I$  constantes que dependem da frequência, capacitor, velocidade do eixo e nível de saturação.

Na prática, o aumento demasiado da relação tensão-frequência provoca uma saturação da máquina e o torque nem sempre aumenta com a tensão.

Em se tratando de partida, a relação tensão-freqüência que mantem o fluxo constante independe do capacitor. Esta conclusão foi vista no item 7.5 do capítulo 7. Assim, a lei tensão-freqüência dada na figura 9.10 é válida para qualquer valor de capacitor.

Apesar da relação tensão-freqüência se apresentar quase linear para o rotor travado, isto se modifica quando o rotor começa a girar. Foi concluído no capítulo 5, item 5.3.d, que o fluxo aumenta quando a freqüência do rotor diminui, assim, é conveniente que a relação tensão-freqüência na partida, seja pouco menor do que a dada pela figura (9.10). O ideal seria que a relação tensão-freqüência se modificasse quando o rotor começa a girar. Esta opção não é muito prática, pois nem sempre o motor encontra-se perto do circuito de comando, e também, o valor adequado da relação tensão-freqüência, quando o motor está girando, depende da carga no eixo.

## C O N C L U S Õ E S

A partir dos estudos realizados no desenvolvimento do trabalho apresentado, pode-se concluir que, na partida com variação da frequência:

- 1 - O capacitor adequado para a partida é bem maior do que os convencionais.
- 2 - Utilizando-se capacitores provenientes de fábrica, apenas um ou dois em paralelo, o motor apresenta baixo torque de partida e, portanto, deverá partir sem carga.
- 3 - Tendo em vista a diminuição do torque do motor com a frequência de alimentação, deve-se partir o motor com uma frequência mínima aceitável. Neste caso são consideradas as correntes, o custo do capacitor e o torque de partida.
- 4 - A lei tensão-frequência, que mantém o fluxo constante, é aproximadamente linear enquanto o rotor estiver parado. Quando o rotor começa a girar a relação  $V/f$  tem que ser menor, para se evitar uma saturação da máquina.

## A P Ê N D I C E    A

MÉTODO DE OBTENÇÃO DOS PARÂMETROS DO MOTOR DE INDUÇÃO,  
COM DOIS ENROLAMENTOS NO ESTATORA.1 - Generalidades

A seguir é apresentado um método para obtenção dos parâmetros do motor de indução bifásico ou monofásico.

O presente método se baseia na aplicação do modelo de Park, capítulo 1, quando o motor é energizado nas condições "a vazio" e "a curto-circuito". No motor bifásico ou no monofásico a capacitor, cada enrolamento é energizado unicamente, estando o outro em aberto.

A.2 - Vantagens do método

Os parâmetros obtidos não precisam sofrer qualquer conversão para serem aplicados ao modelo de Park, ou seja, são cíclicos e referidos aos enrolamentos estatôricos.

São considerados os efeitos magnetizantes (reatâncias mútuas entre estator e rotor) nos ensaios a "curto-circuito" e também, as resistências estatôricas e rotôricas nos ensaios "a vazio". Isto aumenta a confiabilidade dos resultados obtidos.

A.3 - Modelo de Park para regime permanente senoidal

O modelo de Park para o motor bifásico de indução é dado no capítulo 1, item (1.12) e aplicado neste apêndice, sendo:

$$\begin{bmatrix} \vec{V}_a \\ \vec{V}_p \\ 0 \\ 0 \end{bmatrix} = \begin{bmatrix} R_a + jX_a & 0 & jX_{ma} & 0 \\ 0 & R_p + jX_p & 0 & jX_{mp} \\ jX_{ma} & (1-s)X_{mp} & R_r + jX_r & (1-s)X_r \\ -(1-s)X_{ma} & jX_{mp} & -(1-s)X_r & R_r + jX_r \end{bmatrix} \begin{bmatrix} \vec{I}_a \\ \vec{I}_p \\ \vec{I}_d \\ \vec{I}_q \end{bmatrix} \quad (\text{A.2})$$

As variáveis e parâmetros são redefinidos:

$\vec{V}_a$  = tensão fasorial aplicada ao enrolamento auxiliar.

$\vec{V}_p$  = tensão fasorial aplicada ao enrolamento principal.

$\vec{I}_a$  = corrente fasorial do enrolamento auxiliar.

$\vec{I}_p$  = corrente fasorial do enrolamento principal.

$\vec{I}_d$  = corrente fasorial do enrolamento em eixo direto do rotor.

$\vec{I}_q$  = corrente fasorial do enrolamento em eixo quadratura do rotor.

$R_a$  = resistência do enrolamento auxiliar.

$R_p$  = resistência do enrolamento principal.

$R_r$  = resistência do rotor.

$X_a$  = reatância de dispersão do enrolamento auxiliar.

$X_p$  = reatância de dispersão do enrolamento principal.

$X_r$  = reatância de dispersão do rotor.

$X_{ma}$  = reatância mútua cíclica entre enrolamento auxiliar e rotor.

$X_{mp}$  = reatância mútua cíclica entre enrolamento principal e rotor.

$s$  = escorregamento.

#### A.4 - Procedimentos e esquemas de ligação

São descritos os procedimentos e esquemas de ligação para a energização do enrolamento principal. Para a energização do enrolamento auxiliar, tudo se repete de maneira análoga.

##### A.4.1 - Ensaio a curto-circuito

O enrolamento principal é energizado de acordo com a figura A.1.

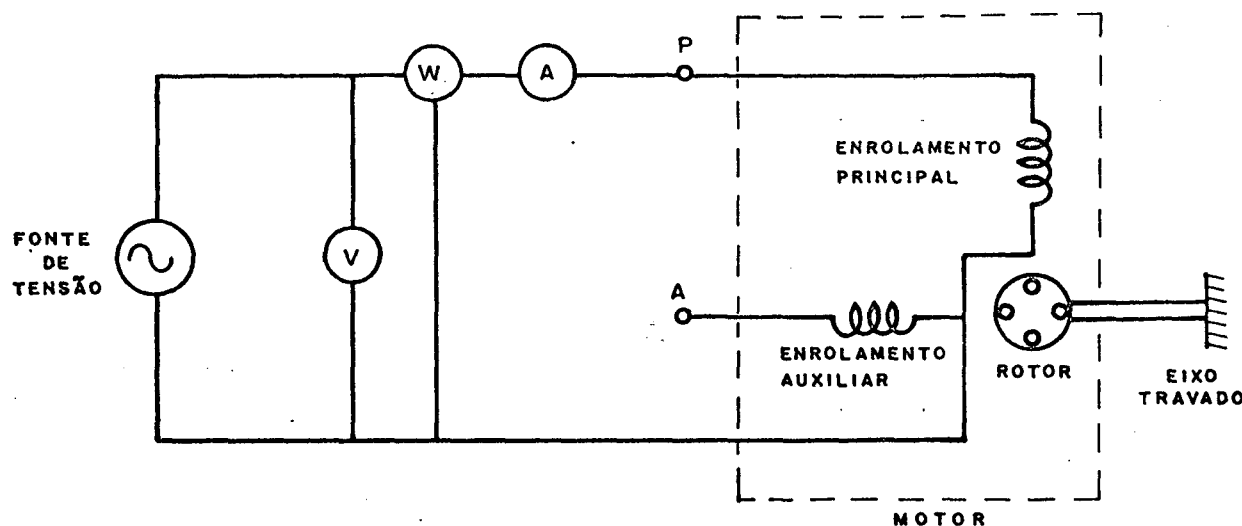


Figura A.1 - Esquema de ligação para o ensaio a curto-circuito do enrolamento principal.

A tensão e a frequência aplicadas devem ser tais que a corrente e a frequência do ensaio sejam as mais próximas possíveis do ponto de simulação.

O rotor é bloqueado.

As leituras dos aparelhos de medidas preenchem a tabela apresentada na figura A.2.

$V_{pcc}$	$I_{pcc}$	$P_{cc}$	$F_a$

Figura A.2 - Tabela para leituras do ensaio a curto-circuito.

São definidos:

$V_{pcc}$  = tensão do enrolamento principal, no ensaio a curto-circuito do enrolamento principal.

$I_{pcc}$  = corrente do enrolamento principal, no ensaio a curto-circuito do enrolamento principal.

$P_{cc}$  = potência ativa do motor, no ensaio a curto-circuito do enrolamento principal.

$V_{acc}$  = tensão do enrolamento auxiliar, no ensaio a curto-circuito do enrolamento principal.

$I_{dcc}$  = corrente do eixo direto do rotor, no ensaio a curto-circuito do enrolamento principal.

$I_{qcc}$  = corrente do eixo em quadratura do rotor, no ensaio a curto-circuito do enrolamento principal.

$F_a$  = frequência de alimentação.

Para a energização do enrolamento auxiliar, o ponto "P", da figura A.1 fica em aberto e a energização se dá no ponto "A". Neste caso, as variáveis são redefinidas, recebendo as mesmas simbologias, porém acrescidas do símbolo "'". Exemplo:

$V'_{pcc}$  = tensão do enrolamento principal, no ensaio a curto-circuito do enrolamento auxiliar.

#### A.4.2 - Ensaio a vazio

O enrolamento principal é energizado de acordo com a figura A.3.

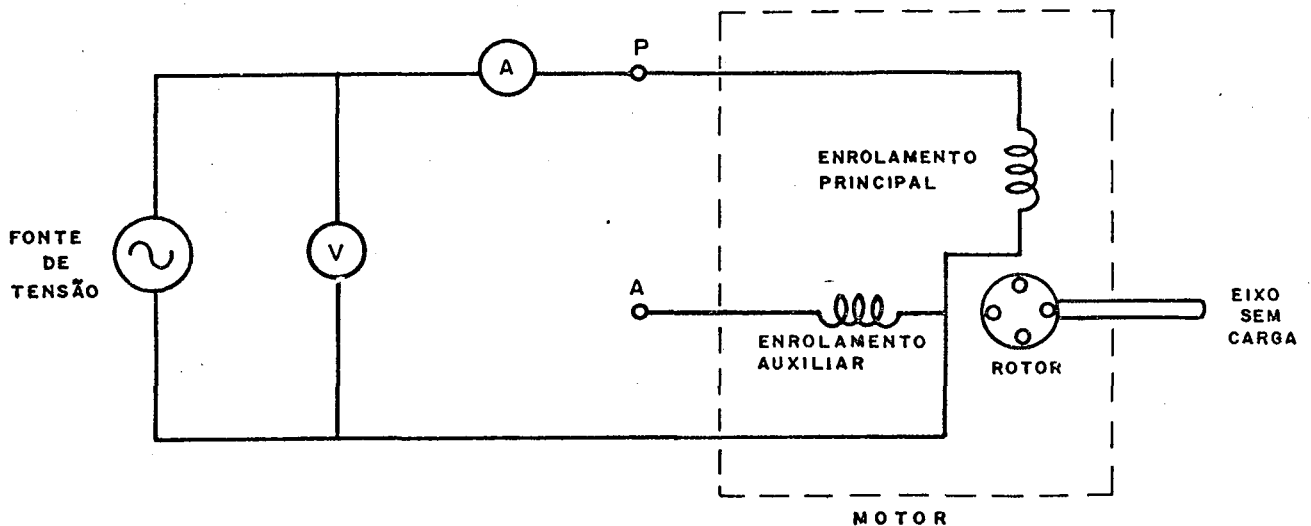


Figura A.3 - Esquema de ligação para o ensaio a vazio do enrolamento principal.

A tensão e frequência aplicadas devem ser as mais próximas possíveis do ponto de simulação.

O rotor é colocado em movimento, sem carga.

As leituras dos aparelhos de medidas preenchem a ta  
bela apresentada na Figura A.4.

$V_{p0}$	$I_{p0}$	$F_a$

Figura A.4 - Tabela para leituras do ensaio a vazio.

São definidos:

$V_{p0}$  = tensão do enrolamento principal, no ensaio a vazio do enrolamento principal.

$I_{p0}$  = corrente do enrolamento principal, no ensaio a vazio do enrolamento principal.

$V_{a0}$  = tensão do enrolamento auxiliar, no ensaio a vazio do enrolamento principal.

$I_{a0}$  = corrente do enrolamento auxiliar, no ensaio a vazio do enrolamento principal.

$I_{d0}$  = corrente do eixo direto do rotor, no ensaio a vazio do enrolamento principal.

$I_{q0}$  = corrente do eixo em quadratura do rotor, no ensaio a vazio do enrolamento principal.

#### A.4.3 - Medida das resistências estatóricas ( $R_a$ e $R_p$ )

As resistências dos enrolamentos principal e auxiliiar são medidas antecipadamente, através de um ohmímetro ou através de um ensaio com tensão contínua.

#### A.4.4 - Procedimento de cálculo

Nos itens anteriores foram mostrados os procedimentos para se obter as medidas de:  $R_p$ ,  $V_{pcc}$ ,  $I_{pcc}$ ,  $P_{cc}$ ,  $V_{p0}$  e  $I_{p0}$ .

Inicialmente, são calculados as resistências e reatâncias equivalentes dos ensaios a vazio e a curto-circuito.

$$R_{cc} = \frac{P_{cc}}{I_{pcc}^2}$$

$$X_{cc} = \sqrt{\left(\frac{V_{pcc}}{I_{pcc}}\right)^2 - R_{cc}^2}$$

$$R_0 = \frac{R_{cc}}{4} + \frac{3}{4} R_p$$

$$X_0 = \sqrt{\left(\frac{V_{p0}}{I_{p0}}\right)^2 - R_0^2}$$

Em seguida, são calculados os parâmetros auxiliares

$$K_1 = R_{cc} - R_0$$

$$K_2 = X_0 - X_{cc}$$

$$Q_r = \frac{3K_2/K_1 + \sqrt{9(K_2/K_1)^2 + 8}}{4}$$

Finalmente, são calculados:

$$X_p = Q_r (R_{cc} - R_p) + X_{cc}$$

$$X_r = X_p$$

$$R_r = X_r / Q_r$$

$$X_{mp} = \sqrt{R_r (Q_r^2 + 1) (R_{cc} - R_p)}$$

Para se obter os parâmetros do enrolamento auxiliar, procede-se como descrito abaixo:

- São medidos os valores de  $R_a$ ,  $V'_{acc}$ ,  $I'_{acc}$ ,  $P'_{cc}$ ,  $V'_{a0}$  e  $I'_{a0}$ .
- São conservados os valores de  $X_r$ ,  $R_r$  e  $Q_r$ , calculados através da energização do enrolamento principal.
- Inicialmente, são calculadas as resistências e reatância equivalentes do ensaio a curto-circuito.

$$R'_{cc} = \frac{P'_{cc}}{I'^2_{acc}}$$

$$X'_{cc} = \sqrt{\left(\frac{V'_{acc}}{I'_{acc}}\right)^2 - R'^2_{cc}}$$

- Finalmente, são calculados:

$$X_a = Q_r (R'_{cc} - R_a) + X'_{cc}$$

$$X_{ma} = \sqrt{R_r (R'_{cc} - R_a) (Q_r^2 + 1)}$$

São importantes as seguintes observações:

- a) Este processo de cálculo não necessita das leituras do ensaio a vazio do enrolamento auxiliar. Estas leituras são úteis para recalculer o valor de  $Q_r$  ( $Q_r'$ ) na energização do enrolamento auxiliar e comparar com o valor de  $Q_r$  calculado, anteriormente, na energização do enrolamento principal. Para isto, procedem-se os cálculos:

$$R_{0'} = \frac{R_{cc}}{4} + \frac{3}{4} R_a$$

$$X_{0'} = \sqrt{\left(\frac{V'_{a0}}{I'_{a0}}\right)^2 - R_{0'}^2}$$

$$K_{1'} = R'_{cc} - R_{0'}$$

$$K_{2'} = X_{0'} - X_{cc'}$$

$$Q_{r'} = \frac{3(K_{2'}/K_{1'}) + \sqrt{9(K_{2'}/K_{1'})^2 + 8}}{4}$$

- b) Os valores de  $Q_{r'}$  e  $Q_r$  devem ser próximos, indicando a confiabilidade dos resultados.

- c) Como foi visto no item (A.2), também deve se verificar uma aproximação entre:

$$\frac{X_a}{X_p} \text{ e } \left(\frac{X_{ma}}{X_{mp}}\right)^2$$

## A.5 - Desenvolvimento teórico

### A.5.1 - Energização do enrolamento principal

#### a) Relações para o ensaio a curto-circuito

No ensaio a curto-circuito a velocidade é nula e o enrolamento auxiliar está em aberto, assim tem-se:

$$s = 1$$

$$\vec{I}_{acc} = 0$$

Aplicando-se o modelo de Park, equação (A.2), para esta situação, tem-se:

$$\vec{V}_{acc} = jX_{ma} \vec{I}_{dcc} \quad (A.3)$$

$$\vec{V}_{pcc} = (R_p + jX_p) \vec{I}_{pcc} + jX_{mp} \vec{I}_{qcc} \quad (A.4)$$

$$0 = (R_r + jX_r) \vec{I}_{dcc} \quad (A.5)$$

$$0 = jX_{mp} \vec{I}_{pcc} + (R_r + jX_r) \vec{I}_{qcc} \quad (A.6)$$

Das equações (A.5) e (A.3), tem-se:

$$\vec{I}_{dcc} = 0$$

$$\vec{V}_{acc} = 0$$

Isolando-se  $\vec{I}_{qcc}$  na equação (A.6) e substituindo na

equação (A.4), tem-se:

$$\vec{V}_{pcc} = \left[ (R_p + jX_p) + jX_{mp} \frac{-jX_{mp}}{R_r + jX_r} \right] \vec{I}_{pcc} \quad (A.7)$$

Isolando-se  $(R_r + jX_r)$  na expressão (A.7), tem-se:

$$R_p + jX_p = \frac{\vec{V}_{pcc}}{\vec{I}_{pcc}} - \frac{X_{mp}^2}{R_r + jX_r}$$

Definindo-se  $R_{cc}$ ,  $X_{cc}$  e  $Q_r$ , tal que:

$$R_{cc} + jX_{cc} = \frac{\vec{V}_{pcc}}{\vec{I}_{pcc}} \quad (A.8)$$

$$Q_r = X_r / R_r \quad (A.9)$$

tem-se:

$$R_p + jX_p = R_{cc} + jX_{cc} - \frac{X_{mp}^2}{R_r + jX_r} \quad (A.10)$$

assim:

$$\frac{X_{mp}^2}{R_r} = (R_{cc} - R_p) (1 + Q_r^2) \quad (A.11)$$

$$X_p = (R_{cc} - R_p) Q_r + X_{cc} \quad (A.12)$$

$Q_r$  será calculado com auxílio das relações do en saio a vazio.

$R_{cc}$  e  $X_{cc}$  podem ser calculados através das leituras do ensaio a curto-circuito, como é mostrado no item (A.4.4).

b) Relações para o ensaio a vazio

No ensaio a vazio, pode-se considerar que a velocidade do rotor é igual a velocidade síncrona. O enrolamento auxiliar continua em aberto, assim:

$$s = 0$$

$$\vec{I}_{a0} = 0$$

Aplicando-se o modelo de Park, equação (A.2), para esta situação, tem-se:

$$\vec{V}_{a0} = jX_{ma} \vec{I}_{d0} \quad (A.13)$$

$$\vec{V}_{p0} = (R_p + jX_p) \vec{I}_{p0} + jX_{mp} \vec{I}_{q0} \quad (A.14)$$

$$0 = X_{mp} \vec{I}_{p0} + (R_r + jX_r) \vec{I}_{d0} + X_r \vec{I}_{q0} \quad (A.15)$$

$$0 = jX_{mp} \vec{I}_{p0} - X_r \vec{I}_{d0} + (R_r + jX_r) \vec{I}_{q0} \quad (A.16)$$

Isolando-se  $\vec{I}_{q0}$  na equação (A.13), tem-se:

$$\vec{I}_{d0} = - \frac{j}{X_{ma}} \vec{V}_{a0} \quad (A.17)$$

Substituindo-se  $\vec{I}_{d0}$ , expressão (A.17), e isolando-se  $\vec{I}_{q0}$  na equação (A.15), tem-se:

$$\vec{I}_{q_0} = -\frac{X_{mp}}{X_r} \vec{I}_{p_0} + \frac{-X_r}{X_r X_{ma}} + j \frac{R_r}{X_r X_{ma}} \vec{V}_{a_0} \quad (\text{A.18})$$

Substituindo-se  $\vec{I}_{d_0}$ , expressão (A.17), e  $\vec{I}_{q_0}$ , expressão (A.18), na equação (A.16) e isolando-se  $(\vec{V}_{a_0}/\vec{I}_{p_0})$ , tem-se:

$$\frac{\vec{V}_{a_0}}{\vec{I}_{p_0}} = \frac{X_{mp} X_{ma}}{-2X_r + jR_r} \quad (\text{A.19})$$

Substituindo-se  $\vec{I}_{q_0}$ , expressão (A.18), na equação (A.14) e isolando-se  $(\vec{V}_{p_0}/\vec{I}_{p_0})$ , tem-se:

$$\frac{\vec{V}_{p_0}}{\vec{I}_{p_0}} = R_p + jX_p - j \frac{X_{mp}^2}{X_p} - \frac{(R_r + jX_r) X_{mp}}{X_r X_{ma}} \frac{\vec{V}_{a_0}}{\vec{I}_{p_0}} \quad (\text{A.20})$$

Substituindo-se  $(R_p + jX_p)$ , expressão (A.10), e a relação  $(\vec{V}_{a_0}/\vec{I}_{p_0})$ , expressão (A.19), na expressão (A.20), tem-se:

$$\frac{\vec{V}_{q_0}}{\vec{I}_{p_0}} = R_{cc} + jX_{cc} - \frac{3R_r X_r^2 X_{mp}^2}{R_r^4 + 4X_r^4 + 5R_r^2 X_r^2} + j \frac{(2X_r^3 - R_r^2 X_r) X_{mp}^2}{R_r^4 + 4X_r^4 + 5R_r^2 X_r^2} \quad (\text{A.21})$$

Definindo-se  $R_0$ ,  $X_0$ ,  $K_1$  e  $K_2$ , tal que

$$R_0 + jX_0 = \frac{\vec{V}_{p_0}}{\vec{I}_{p_0}} \quad (\text{A.22})$$

$$K_1 = R_{cc} - R_0 \quad (\text{A.23})$$

$$K_2 = X_0 - X_{cc} \quad (\text{A.24})$$

e substituindo-os na expressão (A.21) tem-se:

$$K_1 + jK_2 = \frac{3R_r X_r^2 X_{mp}^2}{R_r^4 + 4X_r^4 + 5R_r^2 X_r^2} + j \frac{(2X_r^3 - R_r^2 X_r) X_{mp}^2}{R_r^4 + 4X_r^4 + 5R_r^2 X_r^2}$$

assim:

$$\frac{K_2}{K_1} = \frac{2(X_r/R_r)^2 - 1}{3(X_r/R_r)}$$

Substituindo-se  $X_r/R_r$  por  $Q_r$ , expressão (A.9), na expressão anterior, tem-se:

$$2Q_r^2 - 3(K_2/K_1)Q_r - 1 = 0$$

então:

$$Q_r = \frac{3(K_2/K_1) + \sqrt{9(K_2/K_1)^2 + 8}}{4} \quad (\text{A.25})$$

Devido a grande percentagem de perdas no ferro para o ensaio a vazio, o cálculo de  $R_0$ , através de  $P_0$  e  $I_{p0}$ , não é confiável. O modelo em estudo não considera as perdas no ferro, no entanto, as relações anteriores permitem demonstrar outro processo para o cálculo de  $R_0$ . Este processo é apresentado a seguir.

Substituindo  $(\vec{V}_{a0}/\vec{I}_{p0})$ , expressão (A.19) e  $(\vec{V}_{p0}/\vec{I}_{p0})$ , expressão (A.22) na expressão (A.20), tem-se:

$$R_0 - R_p + j(X_0 - X_p) = \frac{jR_r}{-2X_r + jR_r} \frac{X_{mp}^2}{R_r} \quad (\text{A.26})$$

assim:

$$R_0 - R_p = \frac{1}{4(X_r/R_r) + 1} \frac{X_{mp}^2}{R_r} \quad (\text{A.27})$$

Substituindo-se  $(X_{mp}^2/R_r)$ , expressão (A.11)  $(X_r/R_r)$ , expressão (A.9), na expressão (A.28.a), tem-se:

$$R_0 = \frac{Q_r^2 + 1}{4Q_r^2 + 1} R_{cc} + \frac{3Q_r^2 + 1}{4Q_r^2 + 4} R_p \quad (\text{A.28.a})$$

Na maioria dos motores de indução com rotor em gaiola,  $Q_r^2$  é bem maior do que 1, assim  $R_0$  pode ser calculado, inicialmente, pela expressão (A.28.b)

$$R_0 = \frac{R_{cc}}{4} + \frac{3}{4} R_p \quad (\text{A.28.b})$$

Se necessário,  $R_0$  pode ser recalculado através da expressão (A.28.a), e assim, sucessivamente, até que se verifique uma convergência dos resultados. Na prática, esta interação converge rapidamente, sendo até desnecessária.

$X_0$  é calculado através dos valores de  $R_0$ ,  $V_{p0}$  e  $I_{p0}$ , sendo:

$$X_0 = \sqrt{\left(\frac{V_{p0}}{I_{p0}}\right)^2 - R_0^2} \quad (\text{A.29})$$

#### A.5.2 - Energização do enrolamento auxiliar

##### a) Relações para o ensaio a curto-circuito

No ensaio a curto-circuito, a velocidade é nula e o enrolamento principal está em aberto, assim tem-se:

$$s = 1$$

$$\vec{I}'_{pcc} = 0$$

Aplicando-se o modelo de Park, equação (A.2), para esta situação, tem-se:

$$\vec{V}'_{acc} = (R_a + jX_a) \vec{I}'_{acc} + jX_{ma} \vec{I}'_{dcc} \quad (\text{A.30})$$

$$\vec{V}'_{pcc} = jX_{mp} \vec{I}'_{qcc} \quad (\text{A.31})$$

$$0 = jX_{ma} \vec{I}'_{acc} + (R_r + jX_r) \vec{I}'_{dcc} \quad (\text{A.32})$$

$$0 = (R_r + jX_r) \vec{I}'_{qcc} \quad (\text{A.33})$$

Das equações (A.33) e (A.31), tem-se:

$$\vec{I}'_{qcc} = 0$$

$$\vec{V}'_{pcc} = 0$$

Isolando-se  $\vec{I}'_{dcc}$  na equação (A.32) e substituindo na equação (A.30), tem-se:

$$\vec{V}'_{acc} = \left[ (R_a + jX_a) + jX_{ma} \frac{-jX_{ma}}{R_r + jX_r} \right] \vec{I}'_{acc} \quad (\text{A.34})$$

Isolando-se  $(R_a + jX_a)$  na expressão (A.34)

$$R_a + jX_a = \frac{\vec{V}'_{acc}}{\vec{I}'_{acc}} - \frac{X_{ma}^2}{R_r + jX_r}$$

Definindo-se  $R'_{cc}$  e  $X'_{cc}$ , tal que:

$$R'_{cc} + jX'_{cc} = \frac{\vec{V}'_{acc}}{\vec{I}'_{acc}} \quad (\text{A.35})$$

tem-se:

$$R_a + jX_a = R'_{cc} + jX'_{cc} - \frac{X_{ma}^2}{R_r + jX_r} \quad (\text{A.36})$$

assim,

$$\frac{X_{ma}^2}{R_r} = (R'_{cc} - R_r)(1 + Q_r^2) \quad (\text{A.37})$$

$$X_a = (R'_{cc} - R_a) Q_r + X'_{cc} \quad (\text{A.38})$$

b) Relações para o ensaio a vazio

No ensaio a vazio a velocidade do eixo pode ser considerada igual a velocidade síncrona. O enrolamento principal continua em aberto, assim:

$$s = 0$$

$$\vec{I}'_{p0} = 0$$

Aplicando-se o modelo de Park, equação (A.2), para esta situação, tem-se:

$$\vec{V}'_{a0} = (R_a + jX_a) \vec{I}'_{a0} + jX_{ma} \vec{I}'_{d0} \quad (\text{A.39})$$

$$\vec{V}'_{p0} = jX_{mp} \vec{I}'_{q0} \quad (\text{A.40})$$

$$0 = jX_{ma} \vec{I}'_{a0} + (R_r + jX_r) \vec{I}'_{d0} + X_r \vec{I}'_{q0} \quad (\text{A.41})$$

$$0 = -X_{ma} \vec{I}'_{a0} - X_r \vec{I}'_{d0} + (R_r + jX_r) \vec{I}'_{q0} \quad (\text{A.42})$$

Isolando-se  $\vec{I}'_{q0}$  na equação (A.40), tem-se:

$$\vec{I}'_{q0} = -\frac{j}{X_{mp}} \vec{V}'_{p0} \quad (\text{A.43})$$

Substituindo-se  $\vec{I}'_{q0}$ , expressão (A.43), e isolando-se  $\vec{I}'_{d0}$ , na equação (A.42), tem-se:

$$\vec{I}'_{d0} = -\frac{X_{ma}}{X_r} \vec{I}'_{a0} + \frac{X_r}{X_r X_{mp}} + j \frac{R_r}{X_r X_{mp}} \vec{V}'_{p0} \quad (\text{A.44})$$

Substituindo-se  $\vec{I}'_{q0}$ , expressão (A.43), e  $\vec{I}'_{d0}$ , expressão (A.44), na equação (A.41) e isolando-se  $(\vec{V}'_{p0}/\vec{I}'_{a0})$ , tem-se:

$$\frac{\vec{V}'_{q0}}{\vec{I}'_{a0}} = -\frac{X_{ma} X_{mp}}{-2X_r + jR_r} \quad (\text{A.45})$$

Substituindo-se  $\vec{I}'_d$  expressão (A.44), na equação (A.39) e isolando-se  $(\vec{V}'_{a0}/\vec{I}'_{a0})$ , tem-se:

$$\frac{\vec{V}'_{a0}}{\vec{I}'_{a0}} = R_a + jX_a - j \frac{X_{ma}}{X_r} + \frac{(R_r + jX_r) X_{ma}}{X_r X_{mp}} \frac{\vec{V}'_{p0}}{\vec{I}'_{a0}} \quad (\text{A.46})$$

Substituindo-se  $(R_a + jX_a)$ , expressão (A.36), e a relação  $(\vec{V}'_{p0}/\vec{I}'_{a0})$ , expressão (A.45), na expressão (A.46), tem-se:

$$\frac{\vec{V}'_a}{\vec{I}'_a} = R'_{cc} + jX'_{cc} - \frac{3R_r X_r^2 X_{ma}^2}{R_r^4 + 4X_r^4 + 5R_r^2 X_r^2} + j \frac{(2X_r^3 - R_r^2 X_r) X_{ma}^2}{R_r^4 + 4X_r^4 + 5R_r^2 X_r^2} \quad (\text{A.47})$$

Define-se  $R'_0$ ,  $X'_0$ ,  $K'_1$  e  $K'_2$  como:

$$R'_0 + jX'_0 = \frac{\vec{V}'_{a0}}{\vec{I}'_{a0}} \quad (\text{A.48})$$

$$K'_1 = R'_{cc} - R'_0 \quad (\text{A.49})$$

$$K'_2 = X'_0 - X'_{cc} \quad (\text{A.50})$$

Verificando-se a analogia apresentada entre as relações da energização do enrolamento auxiliar e as relações da energização do enrolamento principal, pode-se concluir que:

$$Q'_r = \frac{3(K'_2/K'_1) + \sqrt{9(K'_2/K'_1)^2 + 8}}{4} \quad (\text{A.51})$$

$$R'_0 = \frac{R'_{cc}}{4} + \frac{3}{4} R'_a \quad (\text{A.52})$$

$$X'_0 = \sqrt{\left(\frac{V'_{a0}}{I'_{a0}}\right)^2 - R'^2_0} \quad (\text{A.53})$$

Assim, o desenvolvimento teórico, apresentado, demonstra todas as relações propostas no procedimento de cálculo para a obtenção dos parâmetros, item A.4.4.

### A.6 - Exemplo de cálculo

Os resultados obtidos nos ensaios a vazio e a curto-circuito, do motor descrito no item 9.2, estão apresentados nas tabelas da figura A.5.

As resistências estatóricas foram medidas antecipadamente, apresentando os valores:

$$R_p = 0,8 \Omega$$

$$R_a = 3,2 \Omega$$

$V_{pcc}$	$I_{pcc}$	$P_{cc}$	$F_a$
15,3 V	5,0 A	48 w	60 Hz

$V_{p0}$	$I_{p0}$	$F_a$
80,0 V	5,0 A	60 Hz

$V'_{acc}$	$I'_{acc}$	$P'_{cc}$	$F_a$
26,2 V	4,0 A	85 w	60 Hz

$V'_{a0}$	$I'_{a0}$	$F_a$
80 V	2,6 A	60 Hz

Figura A.5 - Tabelas das medidas dos ensaios.

De acordo com o item (A.4.4) calcula-se:

$$R_{cc} = \frac{48}{5,0^2}$$

$$R_{cc} = 1,92 \Omega$$

$$X_{cc} = \sqrt{\left(\frac{15,3}{5,0}\right)^2 - 1,92^2}$$

$$X_{cc} = 2,38$$

$$R_0 = \frac{1,92}{4} + \frac{3}{4} \cdot 0,8$$

$$R_0 = 1,08 \Omega$$

$$X_0 = \sqrt{\left(\frac{80,0}{5,0}\right)^2 - 1,08^2}$$

$$X_0 = 15,96 \Omega$$

$$K_1 = 1,92 - 1,08$$

$$K_1 = 0,84 \Omega$$

$$K_2 = 15,96 - 2,38$$

$$K_2 = 13,58 \Omega$$

$$Q_r = \frac{3(13,58/0,84) + \sqrt{9(13,58/0,84)^2 + 8}}{4}$$

$$Q_r = 24,27$$

$$X_p = 24,27(1,92 - 0,8) + 2,38$$

$$X_p = 29,56 \Omega$$

$$R_r = 29,56/24,27$$

$$R_r = 1,22 \Omega$$

$$X_{mp} = \sqrt{1,22(24,27 + 1)(1,92 - 0,8)}$$

$$X_{mp} = 28,39 \Omega$$

Calculando-se as indutâncias correspondentes, tem-se:

$$L_p = L_r = 78,4 \text{ mH}$$

$$M_p = 75,3 \text{ mH}$$

Para o enrolamento auxiliar:

$$R'_{cc} = \frac{85}{4,0^2}$$

$$R'_{cc} = 5,31$$

$$X'_{cc} = \sqrt{\left(\frac{26,2}{4}\right)^2 - 5,31^2}$$

$$X'_{cc} = 3,83$$

$$X_a = 24,27(5,31 - 3,2) + 3,83$$

$$X_a = 55,04 \Omega$$

$$X_{ma} = \sqrt{1,22(24,27 + 1)(5,31 - 3,2)}$$

$$X_{ma} = 38,97$$

Calculando-se as indutâncias correspondentes, tem-se:

$$L_a = 146,0 \text{ mH}$$

$$M_a = 103,4 \text{ mH}$$

Conferindo-se a confiabilidade dos resultados obtidos, calcula-se:

$$R'_0 = \frac{5,31}{4} + \frac{3}{4} \quad 3,2$$

$$R'_0 = 3,73 \Omega$$

$$X'_0 = \sqrt{\left(\frac{80}{2,6}\right)^2 - 3,73^2}$$

$$X'_0 = 30,54 \Omega$$

$$K'_1 = 5,31 - 3,73$$

$$K'_1 = 1,58 \Omega$$

$$K'_2 = 30,54 - 3,83$$

$$K'_2 = 26,71 \Omega$$

$$Q'_r = \frac{3(26,71/1,58) + \sqrt{9(26,71/1,58)^2 + 8}}{4}$$

$$Q'_r = 25,38$$

$$\left(\frac{X_{ma}}{X_{mp}}\right)^2 = \left(\frac{38,97}{28,39}\right)^2$$

$$\left(\frac{X_{ma}}{X_{mp}}\right)^2 = 1,88$$

$$\frac{X_a}{X_p} = \frac{55,04}{29,56}$$

$$\frac{X_a}{X_p} = 1,86$$

Através destes valores, verifica-se que os resultados obtidos são confiáveis, pois:

$$Q'_r \cong Q_r$$

$$\left(\frac{X_{ma}}{X_{mp}}\right)^2 \cong \frac{X_a}{X_p}$$

Adotando-se uma relação de espiras, entre os enrolamentos auxiliar e principal ( $N_a/N_p$ ), igual a 1,37,  $L_a$  e  $M_a$  são

recalculados:

$$\frac{L_a}{L_p} = 1,37^2$$

$$\frac{M_a}{M_p} = 1,37^2$$

assim,

$$L_a = 78,4 \cdot 1,37$$

$$L_a = 147,1 \text{ mH}$$

$$M_a = 75,3 \cdot 1,37$$

$$M_a = 103,2 \text{ mH}$$

Finalmente, são apresentados os parâmetros:

$$R_p = 0,8 \ \Omega$$

$$R_a = 3,2 \ \Omega$$

$$R_r = 1,22 \ \Omega$$

$$L_p = 78,4 \text{ mH}$$

$$L_a = 147,1 \text{ mH}$$

$$L_r = 78,4 \text{ mH}$$

$$M_p = 75,3 \text{ mH}$$

$$M_a = 103,2 \text{ mH}$$

## A P Ê N D I C E B

## INVERSOR TRIFÁSICO/MONOFÁSICO

B.1 - Introdução

Neste apêndice é apresentado o princípio de funcionamento e construção do inversor monofásico.

Com o objetivo de descrever toda a construção da montagem utilizada, é apresentado também o inversor trifásico, o qual, através de uma simples mudança no circuito de comando, é transformado no inversor monofásico.

B.2 - Estrutura básica do inversor trifásico

A seguir é apresentada a estrutura básica do inversor trifásico, dada pela figura B.1

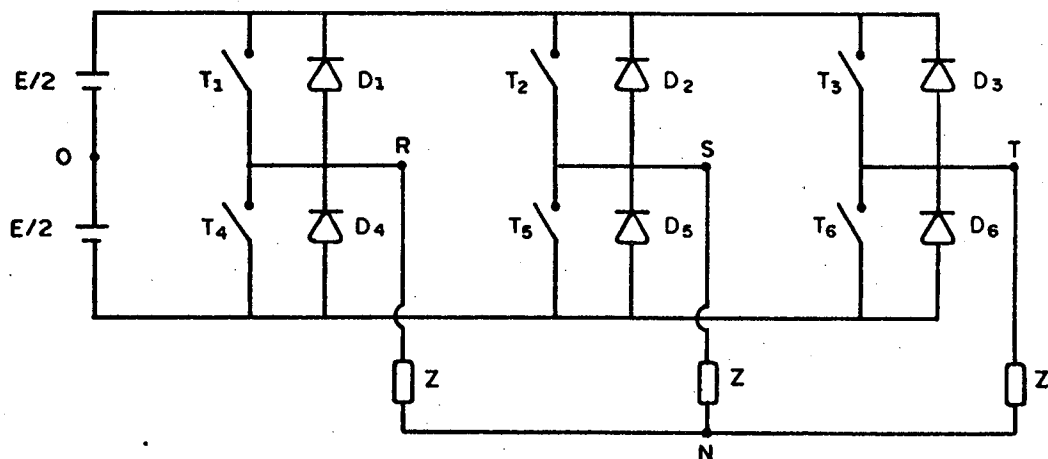


Figura B.1 - Estrutura básica do inversor trifásico tipo 180°.

$T_1, T_2, T_3, T_4, T_5$  e  $T_6$  são tiristores.

$D_1, D_2, D_3, D_4, D_5$  e  $D_6$  são diodos de roda-livre, necessários para permitir o emprego de carga reativa.

"Z" representa a carga.

"E" representa a fonte de alimentação.

### B.3 - Estrutura básica do inversor monofásico

Com apenas uma modificação nos comandos dos tiristores figura B.4, pode-se obter o monofásico, através da mesma estrutura básica do trifásico.

A estrutura básica do inversor monofásico é apresentada na figura B.2

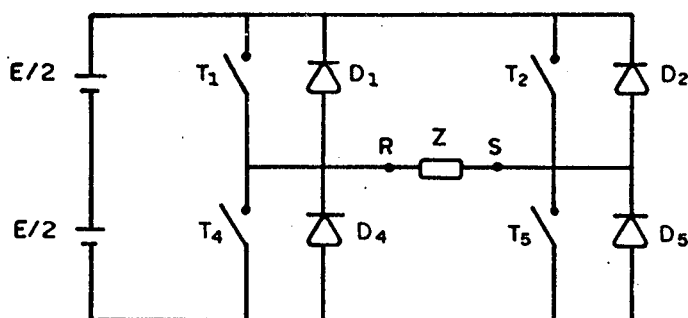


Figura B.2 - Estrutura básica do inversor monofásico em ponte.

### B.4 - Seqüência de acionamento e formas de onda do inversor trifásico

A seqüência de acionamento dos tiristores é apresentada na tabela da figura B.3.

SEQÜENCIA	TIRISTORES FECHADOS
I	T <sub>1</sub> , T <sub>5</sub> , T <sub>3</sub>
II	T <sub>1</sub> , T <sub>5</sub> , T <sub>6</sub>
III	T <sub>1</sub> , T <sub>2</sub> , T <sub>6</sub>
IV	T <sub>4</sub> , T <sub>2</sub> , T <sub>6</sub>
V	T <sub>4</sub> , T <sub>2</sub> , T <sub>3</sub>
VI	T <sub>4</sub> , T <sub>5</sub> , T <sub>3</sub>

Figura B.3 - Seqüência de acionamento do inversor trifásito.

Cada seqüência corresponde a 60°. Assim, nota-se que o comando de T<sub>1</sub> está defasado 120° de T<sub>2</sub> e 240° de T<sub>3</sub>. T<sub>4</sub> é o complementar de T<sub>1</sub>, T<sub>5</sub> o complementar de T<sub>2</sub> e T<sub>6</sub> o complementar de T<sub>3</sub>.

As formas de ondas de tensão resultantes nos diversos pontos do circuito são apresentadas na figura B.4.

Com relação a figura B.4, pode-se demonstrar que:

$$V_{RN3} = \frac{\sqrt{2}}{3} E$$

sendo:

$V_{RN3}$  - valor eficaz da fundamental da série de Fourier equivalente a tensão fase-neutro.

$E$  - tensão da fonte CC.

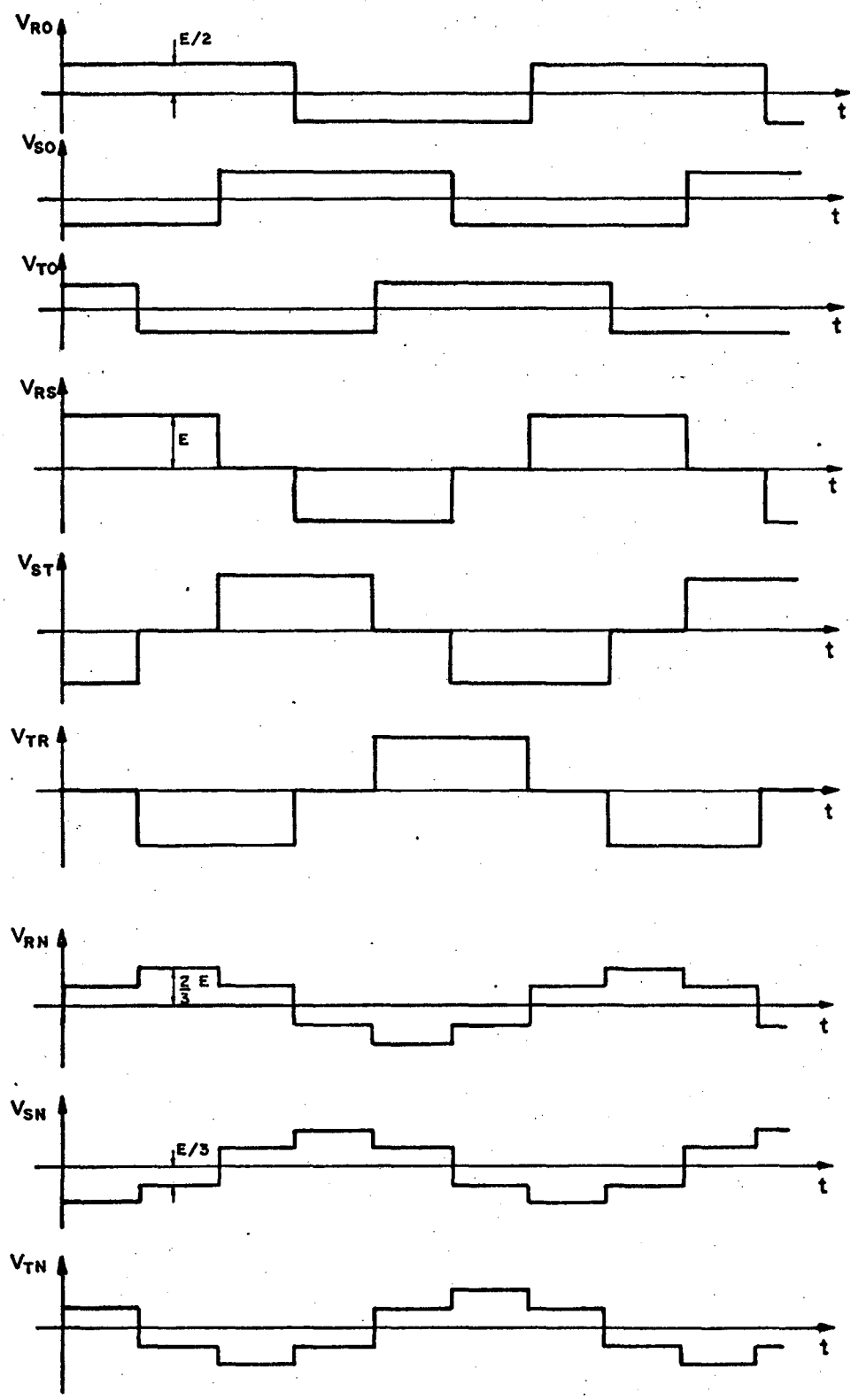


Figura B.4 - Formas de onda do inversor trifásico.

B.5 - Seqüência de acionamento e formas de onda do inversor monofásico em ponte

A seqüência de acionamento dos tiristores é apresentada pela figura B.5.

SEQÜÊNCIA	TIRISTORES FECHADOS
I	$T_1, T_5$
II	$T_2, T_4$

Figura B.5 - Seqüência de acionamento do inversor monofásico.

Os tiristores  $T_1$  e  $T_4$ , assim como  $T_2$  e  $T_5$  são complementares.

A transformação trifásico monofásico, se faz com o simples chaveamento do circuito de comando, apresentado na figura B.6.

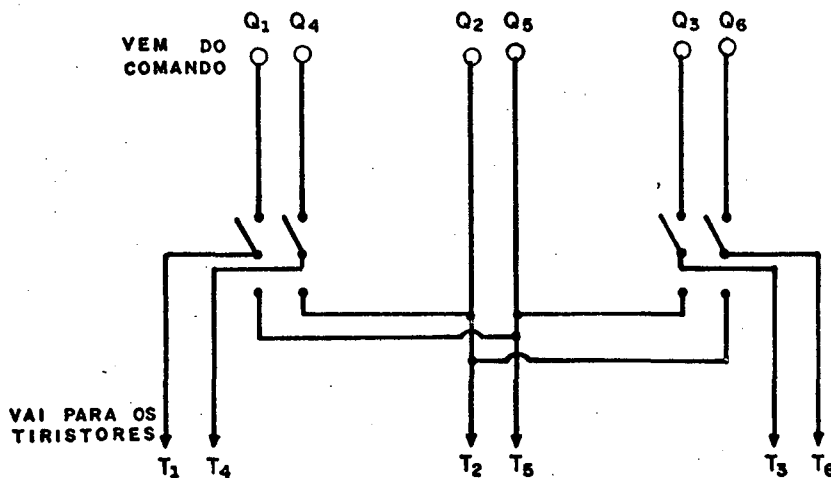


Figura B.6 - Chaveamento trifásico-monofásico.

A forma de onda da tensão resultante nos terminais "R" e "S" é apresentada na figura B.7.

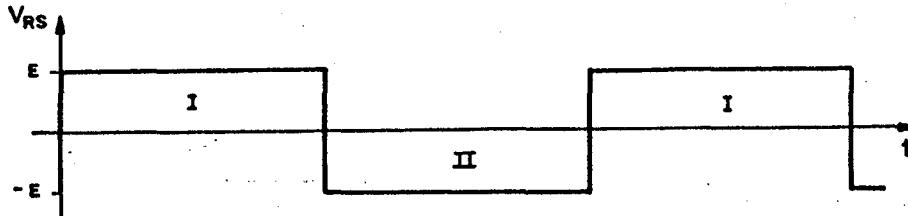


Figura B.7 - Forma de onda do inversor monofásico.

Pode-se demonstrar que:

$$V_{RS1} = \frac{4}{\pi} \sqrt{2} E$$

sendo:

$V_{RS1}$  - valor eficaz da fundamental da série de Fourier equivalente a tensão retangular monofásica.

#### B.6 - Comutação dos tiristores

Para que se realize uma "comutação forçada", a estrutura básica é complementada, de acordo com o esquema dado pela figura B.8.

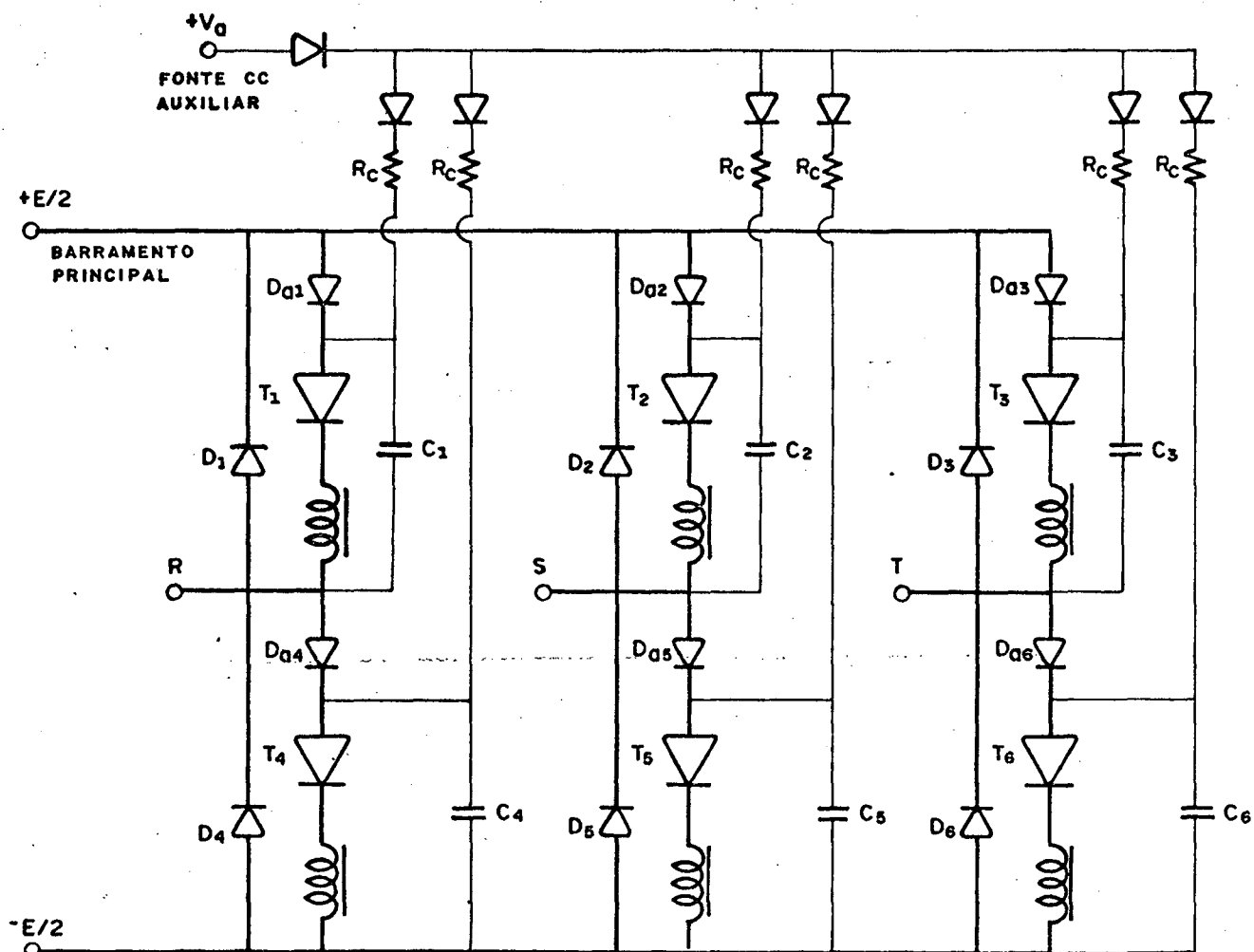


Figura B.8 - Circuito de Potência e Comutação do Inversor

$C_1$ ,  $C_2$ ,  $C_3$ ,  $C_4$ ,  $C_5$  e  $C_6$  são capacitores auxiliares para a comutação. Desviam as correntes de carga para si, quando o respectivo tiristor deixa de conduzir.

$L_1$ ,  $L_2$ ,  $L_3$ ,  $L_4$ ,  $L_5$  e  $L_6$  são indutâncias acopladas magneticamente duas a duas ( $L_1$  e  $L_4$ ,  $L_2$  e  $L_5$ ,  $L_3$  e  $L_6$ ). Transferem simultaneamente a corrente (energia) armazenada de um tiristor para o seu complementar, quando o primeiro é bloqueado e o segundo é disparado. Assim, o capacitor complementar é descarregado rapidamente, através de uma corrente inicial. Estes indutores

proporcionam a tensão inversa para o bloqueio dos tiristores.

$V_a$  representa a fonte de tensão contínua auxiliar que carrega os capacitores auxiliares de comutação. A tensão  $V_a$  é maior do que a tensão da fonte (CC) principal ( $V_a > E$ ).

$D_{a1}, D_{a2}, D_{a3}, D_{a4}, D_{a5}$  e  $D_{a6}$  são diodos auxiliares que permitem os capacitores se carregarem com uma tensão maior ( $V_a$ ) do que a tensão do barramento principal ( $E$ ).

As resistências  $R_c$  são de valor elevado (da ordem de 1K), pois limitam a potência do circuito auxiliar.

$D_1, D_2, D_3, D_4, D_5$  e  $D_6$  são diodos de roda-livre. Permitem o emprego de cargas indutivas.

### B.7 - Comando dos tiristores

No acionamento a frequência variável, o circuito de comando deve apresentar uma relação, tensão do barramento principal-frequência de disparo dos tiristores, adequada.

Na maioria dos motores de indução, o fluxo magnético pode ser mantido aproximadamente constante, se a relação  $V/f$  for mantida constante. Assim, tem-se um bom aproveitamento do material ferro magnético sem, no entanto, saturar a máquina.

As considerações anteriores são obtidas através da combinação dos circuitos de comando, apresentados a seguir.

Na figura B.9 é apresentado um diagrama geral do comando dos tiristores.

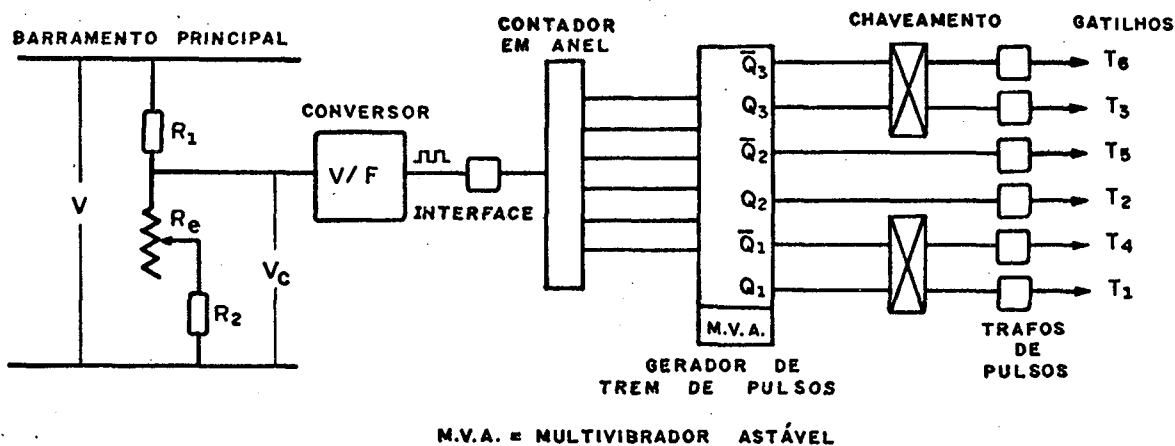


Figura B.9 - Diagrama geral do comando dos tiristores.

### B.7.1 - Conversor tensão/freqüência

A partir de uma tensão contínua na entrada, de 0 a 15 volts, o conversor gera uma onda retangular de amplitude  $+V_{SAT}$  e  $-V_{SAT}$ , com freqüência proporcional à tensão de entrada.

A relação tensão-freqüência do conversor é estabelecida no dimensionamento de seus componentes. No computo geral, a relação entre a tensão do barramento principal e a freqüência de saída do conversor pode ser modificada através do divisor de tensão (reostato) que alimenta o conversor. Analisando a figura B.9 nota-se que:

$$V_C = \frac{R_2}{R_1 + R_e} E$$

Assim, variando-se o reostato, pode-se obter diferentes tensões na entrada (freqüências na saída) do inversor para a mesma tensão do barramento.

Na figura B.10 são apresentadas as formas de onda da entrada e saída do conversor.

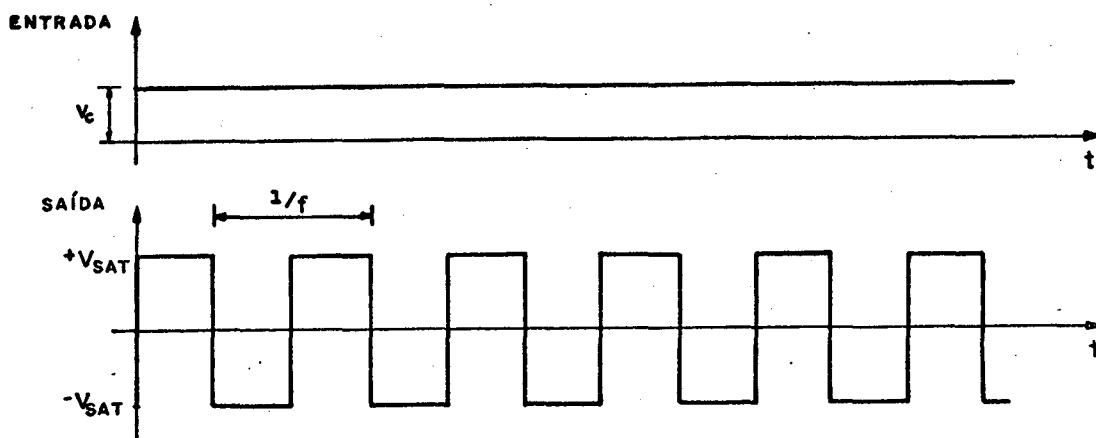


Figura B.10 - Formas de onda da entrada e saída do conversor V/F.

### B.7.2 - Interface de ligação conversor-anel

Tem a função de eliminar os níveis negativos da saída do conversor, transformando-a num perfeito "sinal relógio".

Na figura B.11 são apresentadas as formas de onda da entrada e saída da interface.

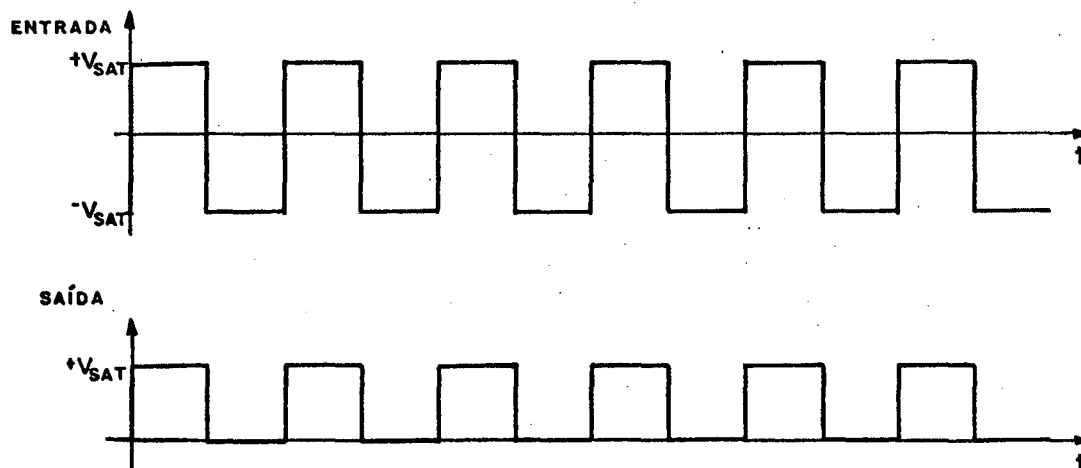


Figura B.11 - Formas de ondas da entrada e saída da interface conversor-anel.

### B.7.3 - Contador em anel

Três "flip-flops", interligados por portas "NAND", proporcionam seis sinais com onda retangulares, defasadas de  $60^\circ$  entre si. A frequência das saídas está diretamente ligada a frequência do sinal de entrada.

Na figura B.12 são apresentadas as formas de onda de entrada e saída do contador em anel.

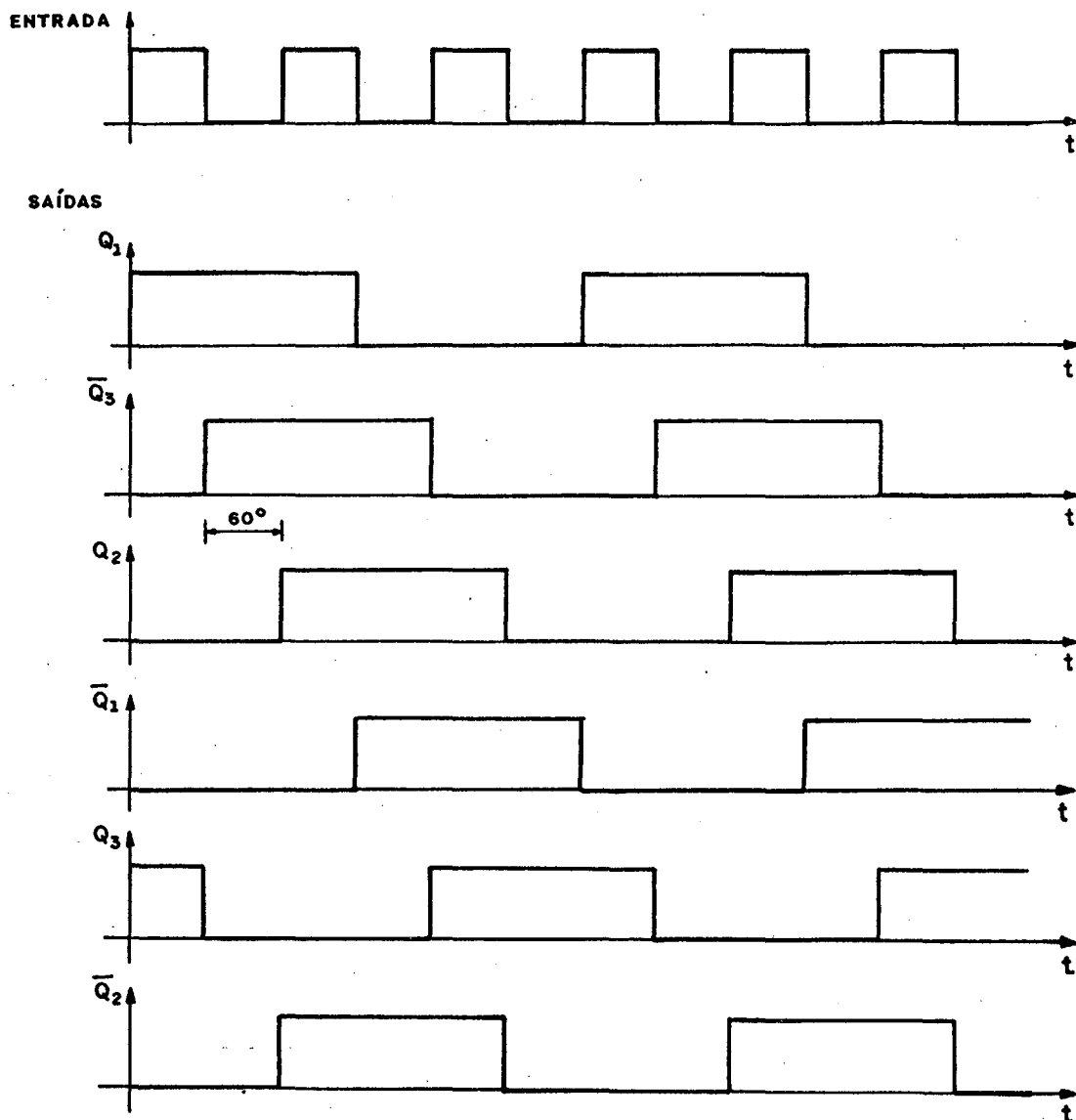


Figura B.12 - Formas de ondas da entrada e saídas do contador em anel.

#### B.7.4 - Gerador de "trem de pulsos"

Neste circuito, três etapas ocorrem sequencialmente. Os sinais de entrada têm seus estados "zero" transformados em  $-V_{SAT}$ , através de um comparador. Em seguida, estes sinais são comparados com a saída de um "multivibrador astável" e então, os estados positivos das ondas de entrada são transformados em um "trem de pulsos". Finalmente, estes "trem de pulsos" são amplificados.

Na figura B.13 são apresentadas as formas de onda da entrada e saída de um dos seis sinais. O mesmo ocorre com os demais, sendo diferentes apenas no defasamento.

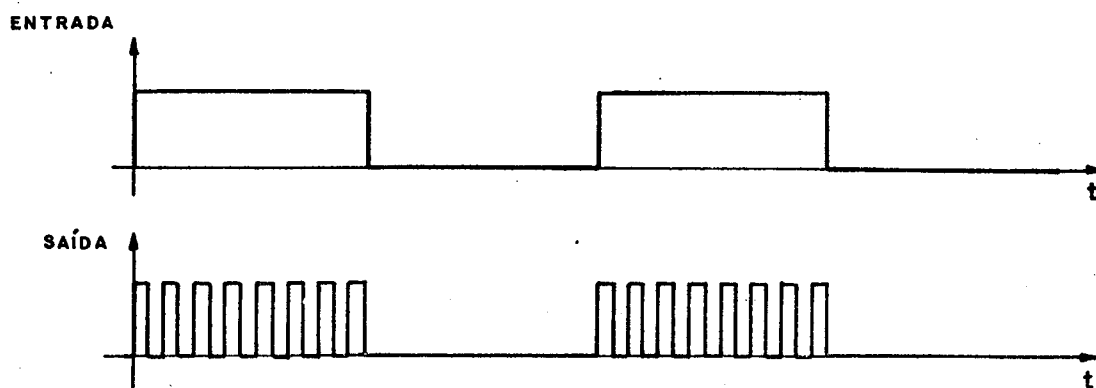


Figura B.13 - Formas de onda da entrada e saída do gerador de trem de pulsos.

#### B.7.5 - Transformadores de pulsos

Têm a finalidade de isolar os circuitos de comando ligados diretamente aos gatilhos e cátodos dos tiristores, evitando a propagação de falhas na parte de potência da montagem.

### B.7.6 - Apresentação dos circuitos de comando (diagramas)

A seguir, são apresentados os diagramas completos dos circuitos de comando.

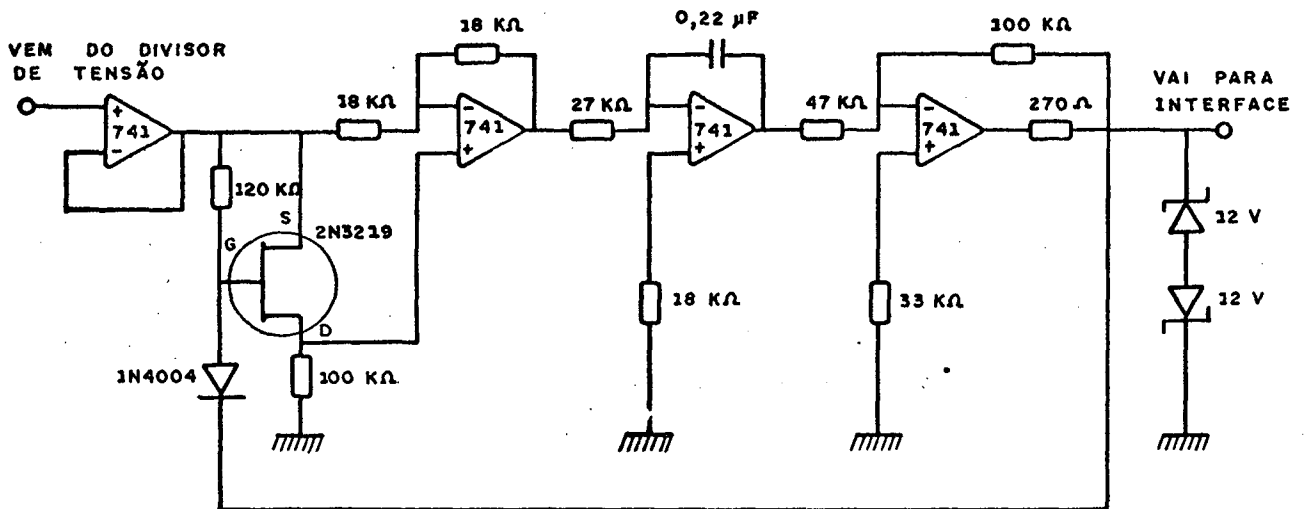


Figura B.14 - Conversor Tensão-Frequência.

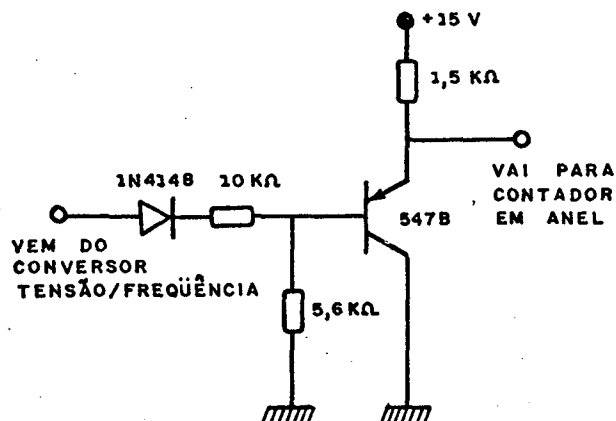


Figura B.15 - Interface.

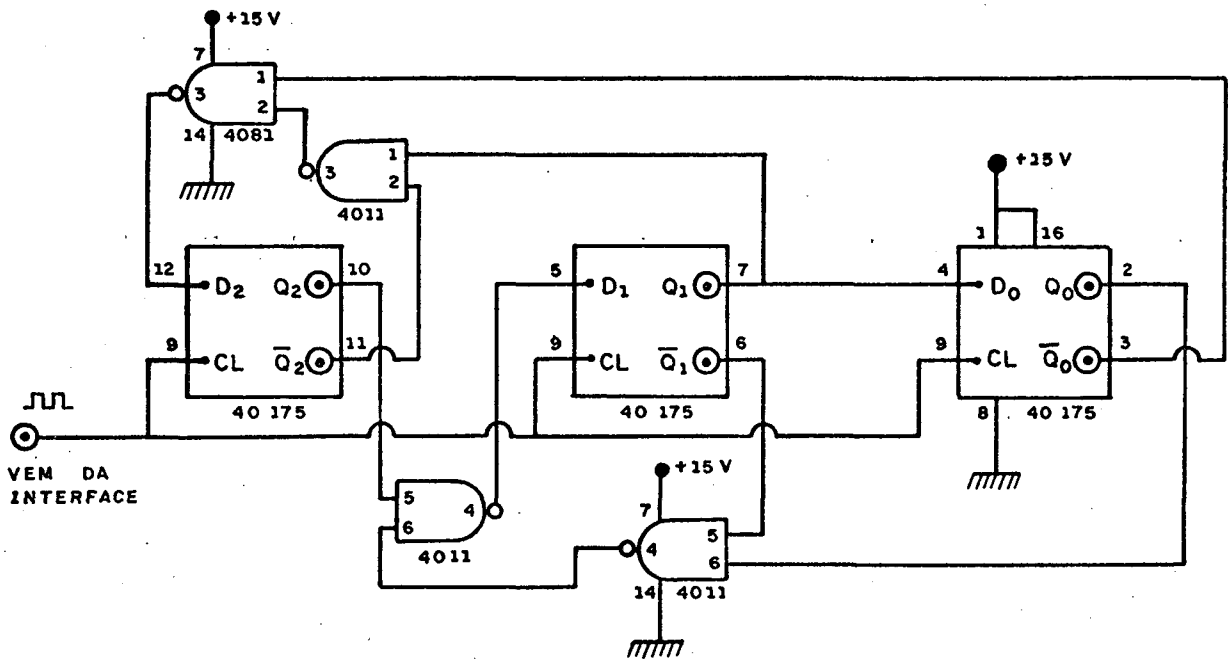


Figura B.16 - Contador em Anel.

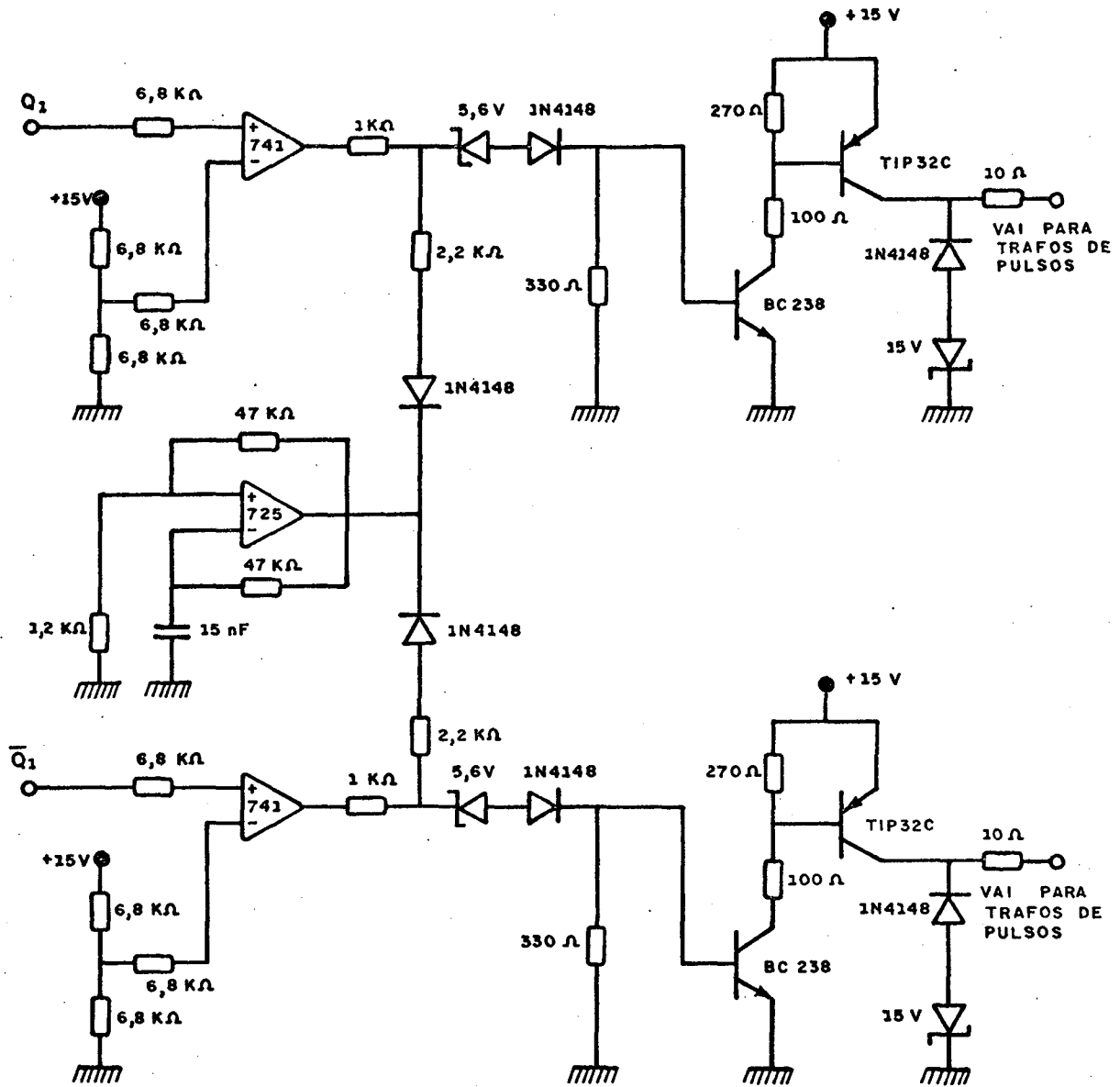


Figura B.17 - Gerador de "Trem de Pulsos".

## A P Ê N D I C E    C

### PROGRAMAS UTILIZADOS

- 1 - MICSENO FORTRAN (motor de indução a capacitor, variáveis senoidais).

Este programa calcula o torque médio, as correntes e os fluxos concatenados dos enrolamentos auxiliar e principal. Também calcula o valor do capacitor ótimo e o capacitor que proporciona um determinado torque na partida.

É válido para o regime permanente senoidal.

Apresenta as seguintes modalidades:

- a) relação V/f nominal ( $DFLM \approx 0$ ).
- b) fluxo principal ( $\phi_p$ ) constante ( $DFLM \gg 1$ ).

MODE = 1 - São dados o incremento e a faixa de variação da frequência de alimentação ( $f_a$ ). São calculados o capacitor ótimo e as demais grandezas para a partida ( $\omega_m = 0$ ). Se  $DTCM \approx 0$ , o capacitor é corrigido até que o torque do motor seja igual a um valor pré-estabelecido (torque de partida).

MODE = 2 - São dados o incremento e a faixa de variação da frequência de alimentação ( $f_a$ ) e o valor do capacitor (C). São calculadas as demais grandezas para a

partida ( $\omega_m = 0$ ).

MODE = 3 - São dados o incremento e a faixa de variação da frequência de alimentação ( $f_a$ ), o valor do capacitor e uma lei (polinômio) de variação do torque de carga ( $T_c$ ) em função da velocidade ( $\omega_m$ ). A frequência de alimentação ( $f_a$ ) é incrementada até que o torque do motor seja igual ao torque de partida ( $\omega_m = 0$ ). A partir daí, a cada frequência ( $f_a$ ), a velocidade ( $\omega_m$ ) é ajustada até que o torque do motor ( $T_m$ ) seja igual ao torque de carga ( $T_c$ ). São calculadas as demais grandezas para cada frequência ( $f_a$ ).

MODE = 4 - São dados o incremento e a faixa de variação da frequência de alimentação ( $f_a$ ), o valor do capacitor e a frequência do rotor ( $f_r$ ). São calculadas as demais grandezas para cada frequência ( $f_a$ ).

MODE = 5 - São dados o incremento e a faixa de variação da velocidade do rotor ( $\omega_m$ ), o valor do capacitor e a frequência de alimentação ( $f_a$ ). São calculadas as demais grandezas para cada velocidade ( $\omega_m$ ).

2 - MICINST OSVS1 (motor de indução a capacitor, va  
riáveis instantâneas).

Este programa calcula os valores instantâneos, mê  
dios e eficazes do torque, das correntes, da tensão do capacitor  
e dos fluxos concatenados.

São dados o valor do capacitor (C), a velocidade do  
rotor ( $\omega_m$ ), a amplitude (AMP) e a frequência de alimentação ( $f_a$ ).

Apresenta as seguintes modalidades.

IAL = 0 - tensão retangular.

IAL = 1 - tensão senoidal.

Pode ser utilizado para qualquer outra forma de on  
da de tensão, desde que a mesma seja implementada.

## REFERÊNCIAS BIBLIOGRÁFICAS

- | 1 | - BARBI, I. - Conversão Eletromecânica de Energia. Publicações internas, UFSC, 1981.
- | 2 | - RODRIGUES, Kleiber D. - Controle de Velocidade do Motor Monofásico de Indução Alimentado sob Frequência Variável, UFSC, 1982.
- | 3 | - JONES, Charles V. - The Unified Theory of Electrical Machines, London Butterworths, 1967.